

Časopis České vědeckotechnické společnosti — komitétu pro životní prostředí



ZDRAVOTNÍ TECHNIKA A VZDUCHOTECHNIKA

nositel Čestného uznání České vědeckotechnické společnosti

Ročník 23

Číslo 4

Redakční rada:

Doc. Ing. Dr. L. Oppl, CSc. (vedoucí redaktor) — Ing. V. Bašus (výkonný redaktor) — Doc. Ing. Dr. J. Cihelka — V. Fridrich, dipl. tech. — Prof. Ing. L. Hrdina — Doc. Ing. V. Chalupová, CSc. — Ing. arch. L. Chalupský — Doc. Ing. J. Chyský, CSc. — Ing. B. Ježlen — Ing. L. Kubíček — Ing. Dr. M. Lázňovský — F. Máca — Doc. Ing. Dr. J. Mikula, CSc. — Ing. Dr. J. Němec, CSc. — Ing. L. Strach, CSc. — Doc. Ing. J. Valchář, CSc.

Adresa redakce: Dvorecká 3, 147 00 Praha 4

OBSAH

Ing. Kazimír Kmet, prom. mat. E. Kopecká:	Vplyv základních termokinetických faktorů na teplotné pole v kvapce s tuhou fázou na povrchu	193
Ing. L. Hes, CSc., J. Boštíký:	Jednoduchý přístroj pro měření tepelných vodivostí vláknitých izolací	203
Doc. Ing. J. K. Pekarovič, CSc.:	Hospodárne opodstatnená stavebná tepelná ochrana využívajúca kurovaného bytového interiéru	209
Ing. Dr. J. Vlach, DrSc.:	Využití sluneční energie v podmínkách ČSSR	229
Ing. K. Brož, CSc.:	Trojcestná směšovací armatura zjednodušené konstrukce	233
Ing. J. Borovec, J. Sedláček, Ing. J. Šišma, Ing. B. Šiler:	Palác kultury ČSSR v Praze	237

CONTENTS

Ing. Kazimír Kmet, prom. mat. E. Kopecká:	Influence of the basic thermokinetic factors on a temperature field in a drop with solid phase on a surface	193
Ing. L. Hes, CSc., J. Boštíký:	A simple fibrous insulating materials heat conductivity meter	203
Doc. Ing. J. K. Pekarovič, CSc.:	Economically well-founded building thermal protection of heated dwelling interior	209
Ing. Dr. J. Vlach, DrSc.:	Utilization of solar energy in Czechoslovakia	229
Ing. K. Brož, CSc.:	Three-way mixing fittings of simplified construction	233
Ing. J. Borovec, J. Sedláček, Ing. J. Šišma, Ing. B. Šiler:	The House of Culture, Czechoslovakia, Prague	237

СОДЕРЖАНИЕ

Инж. Казимир Кметь, пром. мат. Ева Копецка:	Влияние основных термокинетических факторов на температурное поле в капле с твердой фазой на поверхности	193
Инж. Л. Гес, к.т.н. Я. Боштицки:	Простой аппарат для определения теплопроводностей волокнистых изоляций	203
Доц. инж. И. К. Пекарович, к.т.н.:	Экономно обоснованная строительная теплозащита отапливаемого жилищного интерьера	209
Инж. д-р Й. Влах, д-р наук:	Использование солнечной энергии в Чехословакии	229
Инж. К. Брож, к.т.н.:	Трехходовая смесительная арматура упрощенной конструкции	233
Инж. Й. Боровец, Й. Седлачек, инж. Й. Шишма, инж. Б. Шилер:	Дом культуры, Чехословакия, Прага	237

SOMMAIRE

Ing. Kazimír Kmet, prom. mat. E. Kopecká:	Influence des facteurs fondamentaux thermocinétiques sur le champ de chaleur dans une goutte avec la phase solide à la surface	193
Ing. L. Hes, CSc. J. Boštický:	Appareil simple pour la mesure des conductivités thermiques des isolations fibreuses	203
Doc. Ing. J. K. Pekarovič, CSc.:	Protection de construction thermique fondée économiquement pour un intérieur de logement chauffé	209
Ing. Dr. J. Vlach, DrSc.:	Utilisation de l'énergie solaire dans les conditions de la République Tchécoslovaque Socialiste	229
Ing. K. Brož, CSc.:	Armature de mélange à trois voies d'une construction simplifiée	233
Ing. J. Borovec, J. Sedláček, Ing. J. Šišma, Ing. B. Šiler:	Palais de la culture de la République Tchécoslovaque Socialiste à Prague	237

INHALT:

Ing. Kazimír Kmet, prom. mat. E. Kopecká:	Einfluss der thermokinetischen Grundfaktoren auf das Wärmefeld in einem Tropfen mit fester Phase auf der Oberfläche	193
Ing. L. Hes, CSc. J. Boštický:	Einfaches Gerät zur Messung der Wärmeleitfähigkeiten von Faserisolierungen	203
Doc. Ing. J. K. Pekarovič, CSc.:	Ekonomisch begründeter Bauwärmeschutz eines beheizten Wohnungsinterieurs	209
Ing. Dr. J. Vlach, DrSc.:	Ausnutzung der Sonnenenergie in den Verhältnissen der Tschechoslowakischen Sozialistischen Republik	229
Ing. K. Brož, CSc.:	Vereinfachte Konstruktion der Dreiwegemischarmatur	233
Ing. J. Borovec, J. Sedláček, Ing. J. Šišma, Ing. B. Šiler:	Kulturpalast der Tschechoslowakischen Sozialistischen Republik in Prag	237

VPLYV ZÁKLADNÝCH TERMOKINETICKÝCH FAKTOROV NA TEPLITNÉ POLE V KVAPKE S TUHOU FÁZOU NA POVRCHU

ING. KAZIMÍR KMET, PROM. MAT. EVA KOPECKÁ

Vzduchotechnika n. p. Nové mesto n/Váhom

Příspěvek vychází z přehledu současných teoretických poznatků a dosaženého stadia v řešení průběhu sušení kapek v rozprašovacích sušárnách. Autoři sestavili matematický model, respektující rozhraní mezi kapalnou a tuhou fází na povrchu kapky a pro řešení vypracovali program pro výpočet na počítači Tesla 200. Uvádějí výsledky výpočtu při různých kritériích Bi , Fo a Ph (fázové přeměny) a formulují na jejich základě řadu poznatků o vlivu termokinetickej faktorov na teplotní pole a tvorbu tuhé fáze (kúry) pri sušení kapek.

Recenzoval: Ing. Ladislav Strach, CSc.

1. ÚVOD

Vnútorné podmienky sušenia, t. j. prenos hmotnosti a energie vo vnútri sušeného materiálu sú obecné komplikovanejšie ako prenos vonkajší.

Pri popise deja sa preto nutne vychádza zo zjednodušujúcich predpokladov schématisujúcich skutočnosť. V prípade tuhého porézneho materiálu za najobecnejší, logicky prepracovaný, je považovaný model Lykovov [1], [2], rozvíjaný ďalej rôznymi pracovníkmi [3], [4] na báze nevratnej termodynamiky, aplikovaný na konkrétné prípady v [5].

V prípade sušenia kvapky boli viacerými autormi sledované hlavne vplyvy vnútornej cirkulácie [6], ako aj prítomnosti ďalších zložiek v kvapalnej fáze [7], [8], na prenosové procesy.

Vznik pevnej fázy v priebehu sušenia kvapky je jedným z rozhodujúcich činitielov ovplyvňujúcich vnútorné podmienky jej sušenia a tým i celý proces. V priebehu sušenia kvapky, v dôsledku odparovania vody, ktorá nastáva temer výlučne na jej povrchu, dochádza totiž k poklesu obsahu vlhkosti, a tým i k možnosti vylúčenia tuhej fázy vo forme kôrky. Presné stanovenie počiatku vzniku kôrky na povrchu častice je veľmi obtiažne a je podmienené viacerými faktormi. Písecký [9] pri sušení mlieka zistil, že vytváranie kôrky nastáva pri podiele vlhkosti 10–30 % hlavne v oblasti rovníka. Lykov [10] i Kremnev [11] sa zaoberali problematicou vzniku kôrky na povrchu častice, pričom posledný z nich experimentálne sledoval priebeh sušenia kvapky koloidného roztoku streptomycinu s rozmermi 0,5–2 mm pri teplote sušiaceho vzduchu 110–215 °C. Zistil, že pri vysoko zahustených roztokoch vzniká kôrka prakticky hned po styku kvapky so sušiacim prostredím.

Teoretické zvládnutie sušenia častice s pevnou fázou na jej povrchu je spojené s riešením systému nelineárnych diferenciálnych rovníc prenosu dvojfázovej kvapalino-plynnej zmesi pri existencii fázovej zmeny a súčasného prestupu tepla v trojfázovom systéme. Takáto úloha, skomplikovaná ešte závislosťou koeficientov vo vzťahoch pre prestup tepla a hmotnosti od teploty, koncentrácie vlhkosti a ďalších faktorov, v súčasnosti spĺňa viac funkciu polofenomenologického popisu

procesu sušenia a menej sa používa k výpočtu, kde jej aplikácia v praxi naráža i pre jednoduchšie prípady na značné ťažkosti.

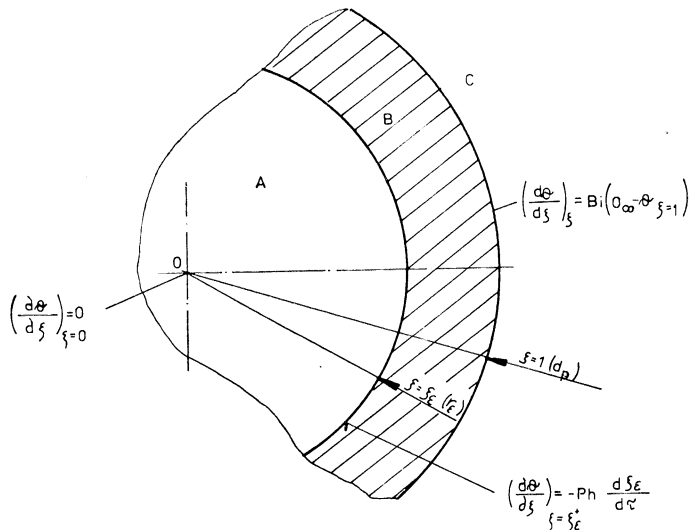
Z uvedeného dôvodu je snahou väčšiny autorov určitým zjednodušením matematicko-fyzikálneho modelu dospieť k riešiteľným vzťahom popisujúcim vnútorné podmienky sušenia (pole teplôt a vlhkosti) v časticí [12].

2. ROZBOR, RIEŠENIE

Pre sférickú časticu pri existencii pohyblivej hranice pevnej a kvapalnej fázy (obr. 1) je možné napísat pre obe fázy základnú bilančnú rovnicu zachovania energie za predpokladu konštantnej hustoty v tvare:

pre tuhú fázu:

$$c_{ps} \rho_s \frac{\partial T_s}{\partial t} = \lambda_s \left(\frac{\partial^2 T_s}{\partial r^2} + \frac{2}{r} \frac{\partial T_s}{\partial r} \right) \text{ pre } r_e \leq r \leq \frac{d_p}{2}; t > 0 \quad (1)$$



Obr. 1. Schematické znázornenie častice s pevnou fázou na povrchu
(A — kvapalná fáza, B — pevná fáza, C — plynná fáza)

pre kvapalnú fázu:

$$c_{pv} \rho_v \frac{\partial T_v}{\partial t} = \lambda_v \left(\frac{\partial^2 T_v}{\partial r^2} + \frac{2}{r} \frac{\partial T_v}{\partial r} \right) \text{ pre } 0 < r < r_e; t > 0 \quad (2)$$

pri počiatočnej podmienke:

$$T_v(r; 0) = T_0 \quad (3)$$

pri okrajových podmienkach:

$$\lambda_s \frac{\partial T_s}{\partial r} \Big|_{r=\frac{d_p}{2}} = \alpha \left[T_{L\infty} - T \left(\frac{u_p}{2}; t \right) \right]; t > 0 \quad (4)$$

$$r = 0; \frac{\partial T_s}{\partial r} = 0 \quad \frac{\partial T_v}{\partial r} = 0 \quad (5)$$

$$r = r_\epsilon; T_s(r_\epsilon; t) = T_v(r_\epsilon; t) \quad (6)$$

$$-\lambda_s \frac{\partial T_s}{\partial r} \Big|_{r=r_\epsilon^+} + \lambda_v \frac{\partial T_v}{\partial r} \Big|_{r=r_\epsilon^-} = \Delta H_{výp} \varrho_s u(t) \frac{dr_\epsilon}{dt} \quad (7)$$

Okrajová podmienka (7) zohľadňuje skutočnosť, že tepelný tok, postupujúci cez povrch hranice fáz ($r = r_\epsilon$) sa čiastočne spotrebováva na odparenie vlhkosti na pohybujúcej hranici a čiastočne sa odvádza do vnútra častice, podmieňujúc tým zmenu vlhkosti častice. V tejto okrajovej podmienke je zahrnutá i zmena koncentrácie roztorku v kvapalnej fáze pomocou funkcie $u(t)$, určujúcej strednú hodnotu obsahu vlhkosti tekutej častice kvapky v určitom časovom okamihu.

Riešenie rovníc pri pohyblivej hranici tekutej a pevnej fázy uvádzajú [13] za predpokladu konštantného teplotného poľa vo vlhkej časti a pri malých Bi číslach. Vzhľadom na praktickú aplikáciu uvedeného modelu je účelné stanoviť vplyv zmeny jednotlivých hlavných parametrov na prenosové procesy vo vnútri častice, za predpokladu konštantného teplotného poľa vo vlhkej časti. Za týmto účelom zavedením bezrozmerných premenných:

$$\Theta = \frac{T_L(0, \infty) - T}{T_L(0, \infty) - T_s(0, r)}; \quad \xi = \frac{2r}{d_p}; \quad \tau = F_0 = \frac{4a_s t}{d_p^2}; \quad Bi = \frac{\alpha d_p}{2\lambda_s};$$

$$Ph = \frac{\Delta H_{výp} u(t)}{c_{ps}(T_s(0, r) - T_L)}$$

je možné vzťahy 1 – 7 upraviť do tvaru:

$$\frac{\partial \theta_s}{\partial \tau} = \frac{\partial^2 \theta_s}{\partial \xi^2} + \frac{2}{\xi} \frac{\partial \theta_s}{\partial \xi} \quad (8)$$

$$\text{pre } \tau = 0; \quad \theta_s = 1 \quad (9)$$

$$\text{pre } \xi = 1 \left(\frac{\partial \theta_s}{\partial \xi} \right)_{\xi=1^-} = Bi(\theta_{L^\infty} - \theta_{\xi=1}) \quad (10)$$

$$\text{pre } \xi = 0; \quad \frac{\partial \theta_s}{\partial \xi^-} = 0 \quad (11)$$

$$\text{pre } \xi = \xi_\epsilon = \frac{2r_\epsilon}{d_p}; \quad \left(\frac{\partial \theta_s}{\partial \xi} \right)_{\xi=\xi_\epsilon^+} = -Ph \frac{d\xi_\epsilon}{d\tau} \quad (12)$$

Systém 8 – 12 sa rieši modifikovanou metódou sietí (bloková schéma je uvedená na obr. 2) na počítači Tesla 200. Program je zapísaný v jazyku FORTRAN IV. Algoritmus umožňuje pracovať iba s dvomi jednorozmernými poľami, čo značne zvyšuje prehľadnosť a čitateľnosť programu, pozitívne vplýva na rýchlosť výpočtu a efektívne využívanie pamäti počítača.

Pri aplikácii metódy vystupuje do popredia správna voľba časového a dĺžkového kroku, ktorá má vplyv nielen na stabilitu a presnosť, ale aj na jednoduchosť riešenia.

ZOZNAM A OZNAČENIE
VYKONNÝCH SYMBOLOV

1 VÝPOČET POSUNU HRANICE FÁZ

2 STANOVENIE POLOHY HRANICE FÁZ M
VZHĽADOM K POLOHE UZLOVÝCH BODOV

3 STANOVENIE TEPLOTY VLHKEJ ČASTI
ČASTICE

4 VÝPOČET TEPLOTY POVRCHU ČASTICE θ_{PN}
A TEPLOTY V PRVOM UZLOVOM BODE θ_{1N}

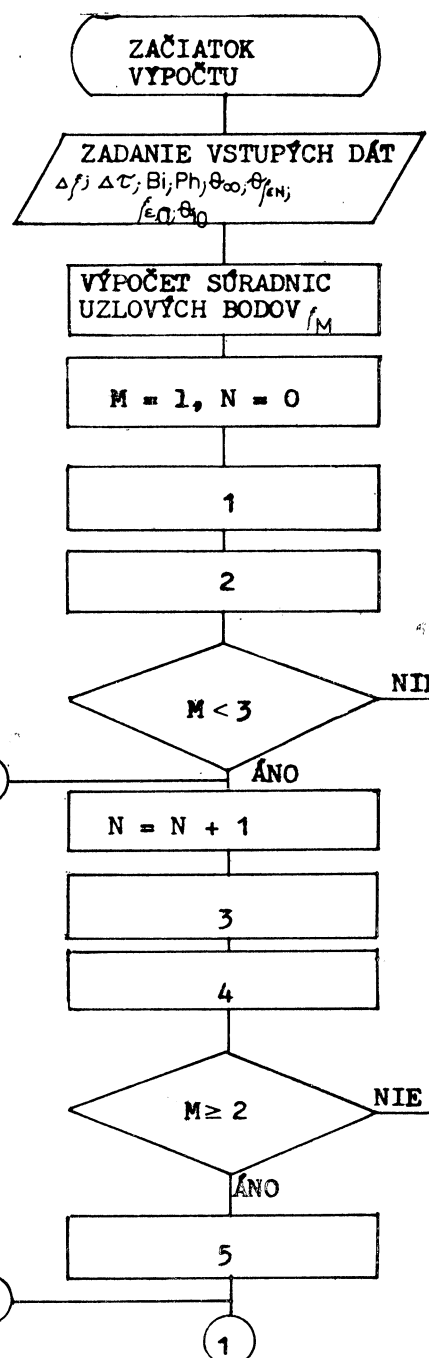
5 CYKLUS LINEARNEJ APROXIMÁCIE
TEPLOTY

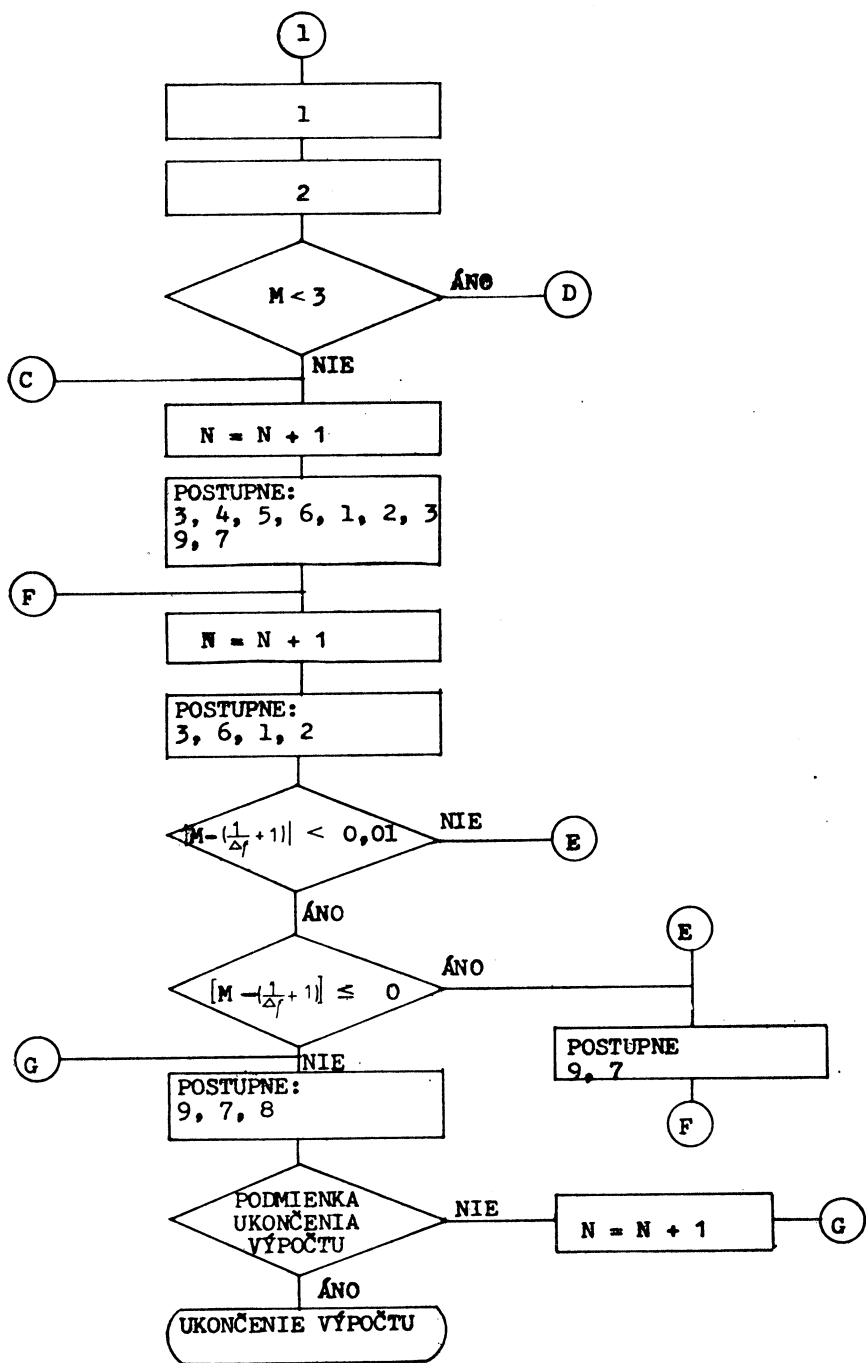
6 CYKLUS LIN. APROXIMÁCIE TEPLOTY
V BODE VZDIALENOSTI Δ_f OD HRANICE FÁZ

7 VÝPOČET TEPLOTY V PRVOM UZLOVOM
BODE θ_{1N}

8 STANOVENIE TEPLOTY V UZLE /PODMIEN-
 $M = \frac{1}{\Delta_f} + 2$ KA SYMETRIE V
STREDE ČASTICE/

9 CYKLUS PRE M=2,3 ... CELÁ ČASŤ M
TEPLOTY V PEVNEJ FÁZY





Obr. 2. Vývojový diagram

Rovnica (8) je špeciálnym prípadom obecného tvaru parabolickej parciálnej diferenciálnej rovnice tvaru:

$$\frac{d\emptyset}{d\tau} - a(\xi; \tau) \frac{d^2\emptyset}{d\xi^2} - b(\xi; \tau) \frac{d\emptyset}{d\xi} + g(\xi; \tau) \emptyset = f(\xi; \tau) \quad (13)$$

pri ktorom:

$$a(\xi; \tau) = 1; \quad b(\xi; \tau) = \frac{2}{\xi}; \quad g(\xi; \tau) = f(\xi; \tau) = 0 \quad (13')$$

podľa [14] ak koeficienty (13') spĺňajú v čase $0 < \tau < \tau_k$ podmienky:

$$\begin{aligned} 0 &< a(\xi; \tau) < A \\ Ib(\xi; \tau)I &< Ma(\xi; \tau) \\ 0 &\leq g(\xi; \tau) \leq G \end{aligned}$$

kde A, M, G sú čísla, o ktorých platí:

$$A > 0; M \geq 0; G \geq 0 \quad (14)$$

Ak sú ďalej splnené nerovnosti:

$$\Delta\xi < \frac{2}{M}; \quad \Delta\tau \leq \frac{\Delta\xi^2}{2A + G \Delta\xi^2}$$

ktoré pre náš prípad nadobúdajú tvar

$$\Delta\xi < \xi; \quad \Delta\tau \leq \frac{\Delta\xi^2}{2} \quad (15)$$

vtedy je splnená podmienka konvergencie sieťového riešenia k riešeniu presnému.

Praktické skúsenosti ukázali, že pri splnení podmienok (15) je zaručená i stabilita riešenia v celom vyšetrovanom intervale. Pre posúdenie vplyvu Biotovho kritéria a kritéria fázovej premeny realizovali sa výpočty pre rôzne hodnoty týchto kritérií, pričom sa skúmal ich vplyv na rýchlosť nárastu kôrky na povrchu častice a tiež tvar a zmena teplotného pola v jej pevnej fázy, pri rôznom Biotovom kritériu.

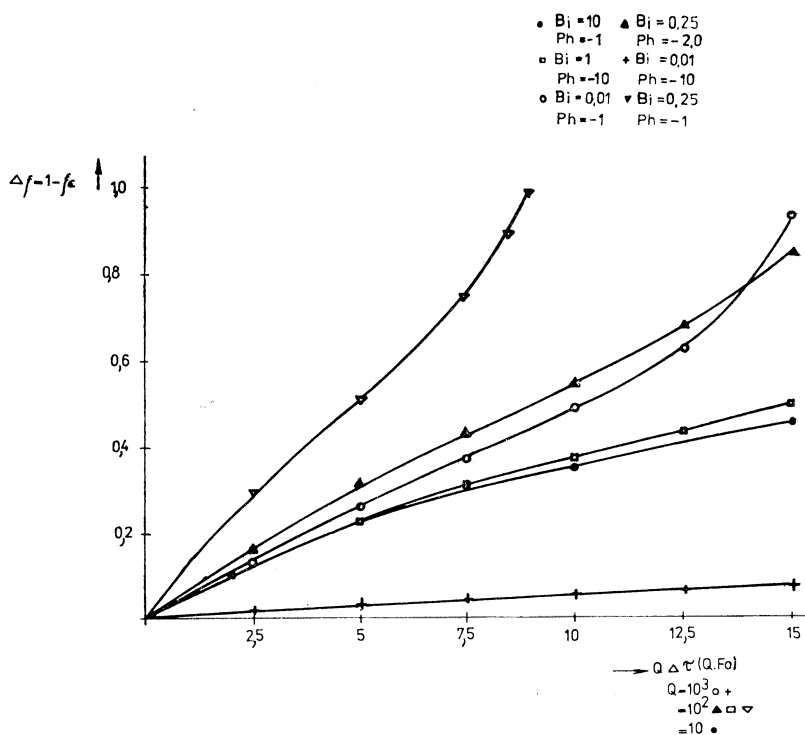
Z výsledkov, ktoré sú zhrnuté v obr. 3, je možné usúdiť na nasledovné skutočnosti:

1. Funkčná závislosť hrúbky kôrky na Fo kritériu vykazuje analogický priebeh pri rôznom Biotovom kritériu a kritériu fázovej premeny (temer priamkový nárast hrúbky kôrky v počiatočnom štádiu, v záverečnej fázy zvýšenia rýchlosť nárastu jednak v dôsledku zvýšenia gradientu na fázovom rozhraní, jednak v postupnom zmenšovaní hmotnosti tekutej fázy).

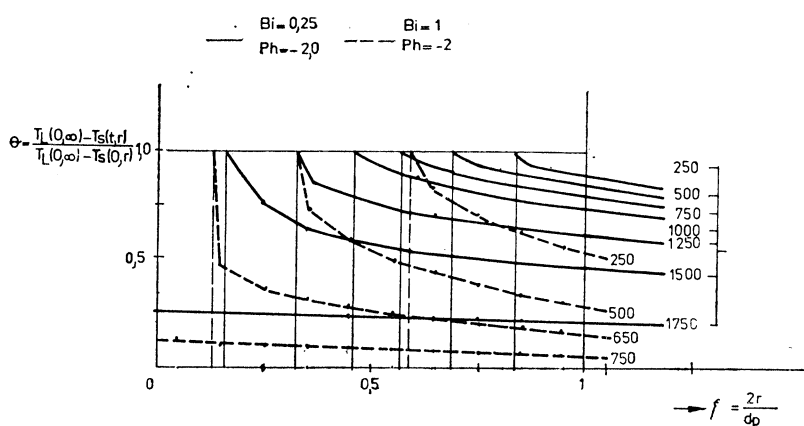
2. Rýchlosť rastu hrúbky kôrky je priamo úmerná veľkosti Biotovho kritéria pri konštantnej hodnote kritéria fázovej premeny.

3. Pri konštantnej hodnote Biotovho kritéria pokles hodnoty kritéria fázovej premeny spôsobuje spomalenie rastu hrúbky kôrky, pričom je možné povedať, že pomer hrúbok pri konštantnej hodnote Fo kritéria sa zhruba rovná pomeru hodnôt kritérií fázovej premeny.

4. V dôsledku konštantnej teploty v tekutej fázy častice nastáva postupné



Obr. 3. Závislosť hrúbky kôrky na čase



Obr. 4. Príbeh teplotného poľa v pevnej fáze častice

narastanie gradientu teplôt na fázovom rozhraní tekutej a tuhej fázy, pričom v dôsledku tohto predpokladu vykazuje teplotné pole v tuhej fázy odlišný priebeh voči klasickému priebehu teplotného pola v guli [15].

5. Pri väčších hodnotách Biotovho kritéria vykazuje riešenie pri posuve hranice fáz k stredu častice určité oscilácie v dôsledku vysokého gradientu na fázovom rozhraní. V dôsledku stability výpočtovej schémy dochádza však pomerne rýchle k ich utlmeniu.

3. ZÁVER

Vplyv základných termokinetickej faktorov rešpektovaných Biotovým i Fourierovým kritériom a kritériom fázovej premeny na teplotné pole sušiacej sa častice je dominantný. Pre posúdenie priebehu sušiaceho procesu bude však potrebné zohľadniť aj difúziu vlhkosti cez tuhú fázu častice, a teda vplyv difúzie na teplotný profil. Uvedený spôsob výpočtu môže však poslužiť v inžiniersko technickej praxi pre bližšie stanovenie teplotného pola v časticu pri zohľadnení posuvu hranice tekutej a tuhej fázy.

ZOZNAM POUŽITEJ LITERATÚRY

- [1] Lykov A. V.: Teoriya suški, Energia 1968
- [2] Lykov A. V.: Teoriya teplo i massoperenos, GEI 1963
- [3] Valchář J.: Teoretický rozbor výpočtu nestacionárnych polí teploty a merné vlhkosti v disperzných systémach tuhý skelet kapilárne vázaná vlhkost. Správa SVÚSS 71-09009
- [4] Valchář J., Čermák B., Jinoch J.: Rozbor možnosti výpočtu nestacionárnych polí teploty, vlhkosti metodou konečného prvku. Správa SVÚSS 73-09013
- [5] Houška K.: Metody výpočtu sušáren s konvektívním přívodem tepla. Správa SVÚSS 77-09006
- [6] Chao: Transient Heat and Mass Transfer to Translating Droplet. Journal of Heat Transf. 1969
- [7] Newbold F. R., Amundson: A Model for Evaporation of a Multicomponent Droplet A. I. Ch. E Journal Vol. 19, Nol, 1973
- [8] Masters K.: Spray Drying, New York 1976
- [9] Pisecký J.: Milk Droplet — Their Creation and Drying. The World Galaxy for The World Dairy Industry 5 1974
- [10] Lykov M. V.: RaspliteInye sušilki. Mašinostrojenie, Moskva 1966
- [11] Kremnev A. O.: Skorostnaja suška. Kijev 1963
- [12] Babenko V. E., Buevič J. A., Sepšuk N. M.: Kvazistacionarnyj režim suški sferičeskoj častici. Teoretičeskie osnovy chimičeskoj tech. No. 2, 1975
- [13] Kuc P. S., Smirnov M. S., Efremova, I. S.: Prodolžitelnost ispareniaja kapli rastvora bakt. preparata entobakterina pri suške. IFZ No. 5, 1975
- [14] Michlin S. G.: Približné metody riešenia diferenciálnych integrálnych rovníc. SNTL Praha, 1974
- [15] Šorin: Sdílení tepla. SNTL Praha, 1968

ZOZNAM OZNAČENÍ

A, G, M — čísla definované rov. (14)

$\Delta \hat{H}_{výp}$ — výparné teplo [$J kg^{-1}$]

T — teplota [K]

d	priemer [m]
a, b, g, f	súčinitele v rov. (13)
a	súčinieľ teplotnej vodivosti [$\text{m}^2 \text{s}^{-1}$]
c	merné teplo [$\text{Jkg}^{-1} \text{K}^{-1}$]
T	súradnica vo sférickom súr. systéme (radiálna) [m]
t	čas [s]
u	merná vlhkost [kgkg^{-1}]
α	súčinieľ prestopu tepla [$\text{Wm}^{-2} \text{K}^{-1}$]
Δ	priestok
λ	súčinieľ tepelnej vodivosti [$\text{Wm}^{-1} \text{K}^{-1}$]
ξ	bezrozmerná radiálna súradnica
ϱ	hustota [kgm^{-3}]
τ	bezrozmerný čas
θ	bezrozmerná teplota

Zoznam indexov

ϵ	hranica fáz (kvapalnej a pevnej)
L	pre vzduch
p	pre časticu, pri stálom tlaku
s	pre pevnú fázu
v	pre kvapalnú fázu
0	na počiatku procesu resp. v počiatku súr. systému
∞	vo veľkej vzdialnosti od častice
k	na konci výpočtu

Zoznam bezrozmerných kritérií

$$Fo = \frac{4ast}{d_p^2} \quad \text{Fourierovo kritérium}$$

$$Bi = \frac{\alpha d_p}{2\lambda s} \quad \text{Biotovo kritérium}$$

$$Ph = \frac{\Delta H_{výp} u(t)}{c_{ps}(T_s(0, r) - T_L)} \quad \text{Kritérium fázovej premeny}$$

ВЛИЯНИЕ ОСНОВНЫХ ТЕРМОКИНЕТИЧЕСКИХ ФАКТОРОВ НА ТЕМПЕРАТУРНОЕ ПОЛЕ В КАПЛЕ С ТВЕРДОЙ ФАЗОЙ НА ПОВЕРХНОСТИ

Инж. Казимир Кметь,
пром. мат. Ева Коцецка

Статья исходит из обзора современных теоретических знаний и достигнутого стадия в решении хода сушки капель в распылительных сушках. Авторы составили математическую модель, которая уважает границу раздела жидкой и твердой фазы на поверхности капли и для решения разработали они программу для ЭВМ Тесла 200. Авторы приводят результаты расчета при разных критериях Bi, Fo и Ph (фазовые переходы) и на их основе формулируют ряд знаний о влиянии термокинетических факторов на температурное поле и также на образование твердой фазы (коры) во время сушки капель.

INFLUENCE OF THE BASIC THERMOKINETIC FACTORS ON A TEMPERATURE FIELD IN A DROP WITH SOLID PHASE ON A SURFACE

Ing. Kazimír Kmet, prom. mat. Eva Kopecká

The article is based on the survey of contemporary theoretical knowledge and on a stage achieved in solution of the course of drying of drops in spray driers. A mathematical model respecting a boundary between the liquid and solid phase on the surface of the drop was elaborated by the authors and a calculation programm for computer Tesla 200 was elaborated by them

too. Results of calculation with different criteria Bi, Fo and Ph (phase transformations) are described and on their basis knowledge of influence of thermokinetic factors on a temperature field and on formation of a solid phase (crust) during drying of drops is formulated there.

INFLUENCE DES FACTEURS FONDAMENTALS THERMOCINÉTIQUES SUR LE CHAMP DE CHALEUR DANS UNE GOUTTE AVEC LA PHASE SOLIDE À LA SURFACE

*Ing. Kazimír Kmet,
prom. mat. Eva Kopecká*

L'article présenté s'appuie sur un aperçu des connaissances contemporaines théoriques et du stade obtenue en solution d'un cours du séchage des gouttes dans les sécheurs-atomeurs. Les auteurs ont établi un modèle mathématique par égard à une limite entre la phase liquide et solide à la surface d'une goutte et pour la solution, ils ont élaboré un programme de calcul pour l'ordinateur Tesla 200. Ils présentent les résultats du calcul aux différents critères Bi, Fo et Ph (transformations de phases) et sur leur base, ils formulent une série des connaissances de l'influence des facteurs thermocinétiques sur le champ de chaleur et la formation de la phase solide (croûte) au séchage des gouttes.

EINFLUSS DER THERMOKINETISCHEN GRUNDFAKTOREN AUF DAS WÄRMEFELD IN EINEM TROPFEN MIT FESTER PHASE AUF DER OBERFLÄCHE

*Ing. Kazimír Kmet,
prom. mat. Eva Kopecká*

Der Artikel basiert auf einem Überblick der gleichzeitigen theoretischen Erkenntnisse und des erreichten Stadiums in der Lösung eines Trocknungsverlaufes der Tropfen in den Zerstäubungstrocknern. Die Autoren haben ein mathematisches Modell mit Rücksicht auf den Grenzpunkt zwischen flüssiger und fester Phase auf der Tropfenoberfläche zusammengesetzt und für die Lösung haben sie ein Berechnungsprogramm für die Rechenmaschine Tesla 200 gearbeitet. Sie führen die Berechnungsergebnisse bei verschiedenen Kriterien Bi, Fo und Ph (Phasenübergänge) ein und auf ihrem Grund formulieren sie eine Reihe der Erkenntnisse über den Einfluss der thermokinetischen Faktoren auf das Wärmefeld und die Bildung fester Phase (Kruste) bei der Tropfentrocknung.

● Akrolein jako biocid

Meziproduktem při organických syntézách je akrolein, používaný v poslední době čím dál tím více jako biocid k odstraňování mikroorganismů a řas v otevřených i uzavřených okruzích chladicí vody. Zvláštní předností akroleinu je to, že působí rychle a intenzívne již při dávce 5 až 10 ppm, vztaženo na obíhající množství vody. Přitom ani při vyšších koncentracích nevyvolává korozii.

Vzhledem k tomu, že akrolein pro své vlastnosti je označován za nebezpečný, vyžaduje manipulace s ním příslušnou kvalifikaci.

Při dodržování předpisů je však zcela bezpečný. Je nutno jej rádně smísit s vodou a proto se doporučuje jeho dávkování vodo-proudovým čerpadlem. Při prvním použití akroleinu dochází během dvou až čtyř dnů ke zničení mikroorganismů a řas a doporučuje se jejich produkty rozkladu spláchnout. Účinek akroleinu trvá podle venkovní teploty 10 až 15 dnů, pak musí být znova dávkován. Protože se při svém působení akrolein trvale odbořává, nemá negativní vlivy ani na odpadní vody.

kkt 9/78

(Ku)

JEDNODUCHÝ PŘÍSTROJ K MĚŘENÍ TEPELNÝCH VODIVOSTÍ VLÁKNITÝCH IZOLACÍ

ING. LUBOŠ HES, CSc.
JAROSLAV BOŠTICKÝ

Elitex — KVÚ Liberec

Příspěvek pojednává o přístroji k měření tepelných vodivostí vláknitých izolací, pracujícím s vysokým tepelným spádem ve vrstvě. Jako čidla teplotního toku se využívá čs. multitermočlánku, měřicího teplotní spád v tenké vrstvě a pracujícího jako tzv. alfametr.

Recenzoval: Ing. Ladislav Strach, CSc.

1. ÚVOD

Konstruktér sušáren a pecí pro nižší teploty, kde lze ještě použít klasických vláknitých izolací (sterilizátory, textilní úpravárenské a fixační stroje, potravní řízství apod.), při základním návrhu zařízení vychází při výpočtu jeho tepelných ztrát obvykle ze střední hodnoty tepelné vodivosti izolace, v níž nastává teplotní spád min. 100 °C.

Je možno samozřejmě při výpočtu používat i vztahy, kde tepelná vodivost izolace je funkcí teploty, avšak jednoduché analytické vztahy se tím komplikují.

Udávané hodnoty tepelných vodivostí vláknitých izolací, pokud je příkládá sám výrobce, jsou mnohdy uvedeny bez údaje o měrné hmotnosti a velmi často tyto hodnoty bývají vztaženy pro střední teplotu vrstvy 20 až 25 °C, tj. pro stavařské účely.

Přestože dnes již existují publikace, udávající závislosti tepelných vodivostí izolací na teplotě, lze vždy doporučit ověření udávaných hodnot měřením, neboť tepelná vodivost stejného druhu izolace se u různých výrobních sérií může lišit a navíc tepelná vodivost izolace závisí značně na způsobu vrstvení [1].

Komerční přístroje pro měření tepelné vodivosti jsou velmi nákladné a rozměrné [2]. Proto mnohá pracoviště řeší potřebu téhoto měření konstrukcí vlastního přístroje. Některá tato řešení však vyžadují přípravu nerovinných vzorků, jiná zase vyžadují dlouhou dobu na ustálení teplotních poměrů ve vzorku.

Všechny výše uvedené okolnosti vedly k návrhu jednoduchého, operativního přístroje k měření tepelné vodivosti vláknitých izolací, zkráceně Lambdametru.

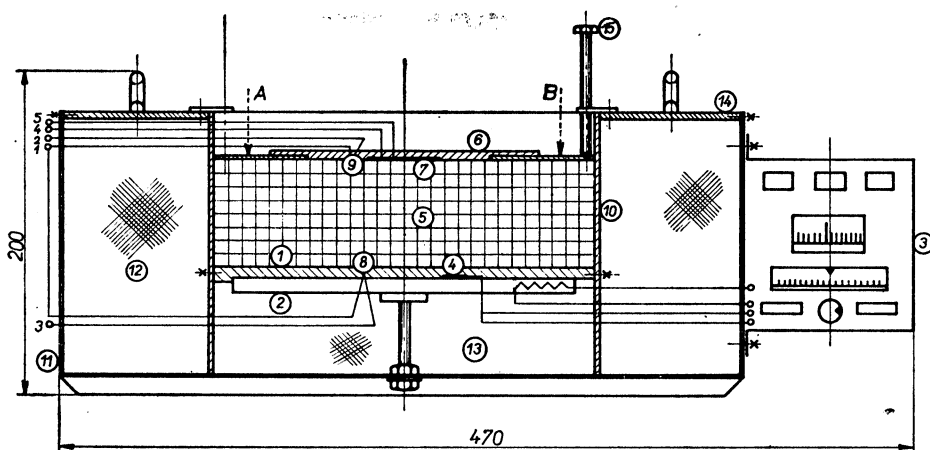
2. PRINCIP FUNKCE PŘÍSTROJE

Základem přístroje obr. 1 je čtvercová duralová deska 1, vytápěná elektrickým topným tělesem 2. Těleso má být ve styku s co největší částí spodní plochy desky. Teplota desky 1 je udržována na požadované volitelné teplotě elektronickým regulátorem TRS 1 (3), který volí příkon tělesa 2 v závislosti na údaji odporového teploměru 4, uloženého v desce.

Zkoumaný izolační materiál je uložen v prostoru 5 mezi uvedenou vytápěnou deskou a další kovovou, tentokrát měděnou deskou 6, která je z vnější strany ochlazována vnějším prostředím. V prostoru mezi zkoušenou izolační vrstvou 5

a vnitřním povrchem desky 6 je umístěna čtverice do série zapojených alfa-metrů 7 (typ B, výrobce Drutěva Brno). Alfametry jsou umístěny souměrně těsně vedle sebe, a to okolo středu desky 6.

Teplota desky 6 je snímána termočlánkem 9, stejným druhem termočlánku 8 je snímána teplota duralové desky 1. Termočlánky jsou zapojeny proti sobě,



Obr. 1. Schéma přístroje.

takže na výstupních svorkách měříme rozdíl teplot základové a vrchní desky Δt prostřednictvím napětí ΔU_t . Toto napětí měří vhodný milivoltmetr.

Ze základního vztahu pro stacionární vedení tepla v rovinové stěně plyne výraz pro tepelnou vodivost zkoušené vrstvy ve tvaru

$$\lambda = \frac{q \cdot s}{\Delta t} \quad (1)$$

kde q je tepelný tok procházející měděnou vrchní deskou, měřený pomocí alfametrů prostřednictvím napětí ΔU_q (snímaného opět milivoltmetrem); s je tloušťka vrstvy měřené izolace.

Konstrukční podrobnosti

Deska 1 o tloušťce 20 mm a rozměrech 210×210 mm je zavěšena na čtyřech perforovaných tepelně izolačních stěnách 10 z tzv. ezalitu (druh tepelně izolačního kvalitního eternitu).

Uvedené stěny jsou souměrně umístěny kolem desky 1 a nad deskou vytvářejí uzavřený prostor 5 pro zkoušený materiál. Stěny jsou obklopeny čtvercovým plechovým pláštěm 11. V mezi prostoru 12 je napěchována izolační vata, právě tak jako v prostoru 13 pod duralovou deskou. Měděná deska 6 (tloušťka 4 mm, rozměr 150×150 mm) nesáhá až k okraji zkoušebního prostoru, aby její teplota nebyla ovlivněna teplotou izolačních stěn 10. Prostor mezi deskou 6 a izolačními stěnami 10 je uzavřen stěnou z perforovaného sklotextitu, který je připevněn

k desce 6 tak, aby celá horní deska uzavírající zkušební prostor byla na dolní ploše rovinná (proto jsou zapuštěny i alfametry).

Sklotextitovým víkem 14 je nahoře uzavřen i plášť celého přístroje. Na boku přístroje je upevněn elektronický regulátor TRS-1 (3).

3. POSTUP MĚŘENÍ

Zkoušenou hmotu o změrené hmotnosti vložíme do prostoru 5 a zakryjeme deskou 6. Pomocí šroubů 15 nastavíme požadovanou tloušťku vrstvy s na hodnotu, kterou odečítáme na čtyřech měřítkách vnesených na každé z izolačních stěn 10. Pokud základová deska byla již vyhřátá na požadovanou teplotu, pak stacionární stav izolační vrstvy nastane již asi za 2 hodiny, kdy je již možno odečítat napětí příslušné velikosti tepelného toku U_q a napětí příslušné velikosti teplotního spádu $U_{\Delta t}$. K měření napětí je vhodný např. čs. digitální voltmetr MT 100. Pokud je přístroj MT 100 doplněn převodníkem, pak lze současně tímto systémem přesně měřit i teplotu základové desky (viz kap. „Další možnosti přístroje“). Tepelnou vodivost pak stanovíme úpravou vztahu (1) do tvaru

$$\lambda [\text{Wm}^{-1} \text{K}^{-1}] = K \frac{U_q \cdot s}{U_{\Delta t}} \quad \left[\frac{\text{W}}{100 \text{m}^2 \text{K}} ; \text{mV; cm} \right] \quad (2)$$

Konstantu K stanovíme nejlépe proměřením známého etalonu. V našem případě byl jako etalon použit vzorek minerální plsti, proměřený *Viktorinem* na přístroji podle *Rinsuma*, který byl vyvinut v laboratoři tepelných izolací ve Výzkumném ústavu stavebních hmot v Brně. Pro střední teplotu vrstvy 130 °C činila tepelná vodivost vzorku $\lambda = 0,063 [\text{W/mK}]$. Konstanta K ve vztahu (2) měla pro uvedené jednotky velikost K = 0,14 [W/100 m² K].

4. KONTROLA TEPLITNÍHO POLE V IZOLAČNÍ VRSTVĚ

Podmínkou správné funkce přístroje je lineární teplotní spád v prostoru mezi základovou deskou 1 a měděnou deskou 6 nesoucí alfametry. Teplotní pole mezi těmito deskami nesmí být ovlivněno odvodem či přívodem tepla z povrchu izolačních stěn 10.

Teploty obou kovových desek mají být v každém bodě konstantní, aby ani po šířce nebylo teplotní pole deformováno. Proto je užito poměrně masivních desek z tepelně dobře vodivých materiálů.

K proměření teplotního pole v izolačním prostoru ve vzdálenosti 18 mm od izolační stěny v osové rovině prostoru bylo použito plášťového termočlánku Ni—CrNi o vnějším průměru 0,2 mm ve spojení s digitálním teploměrem Digitec. Izolační prostor byl vyplněn vláknitou izolací MITAVER o hustotě $\rho = 50 \text{ kg/m}^3$ a tloušťce vrstvy 55 mm. Termočlánková sonda procházela izolací z bodů A, B v horním víku (obr. 1) směrem kolmo k základové desce. Naměřené hodnoty jsou v tab. I.

Naměřenými body byly metodou nejmenších čtverců proloženy přímky a byl stanoven koeficient korelace těchto bodů k vypočteným přímkám. Pro body měřené v bodě A činil koeficient korelace $r = 0,99966$, v bodě B měl tento koeficient hodnotu $r = 0,99878$. Linearitu teplotního spádu lze tedy považovat

Tab. I.

Vzdálenost shora [mm]	Teplota v bodě A [°C]	Teplota v bodě B [°C]
0	32	32,5
10	57	56
15	71	71
20	85	85
25	100	103
30	115	116
35	127	131
40	138,5	142,5
43	147	150
55	180	180

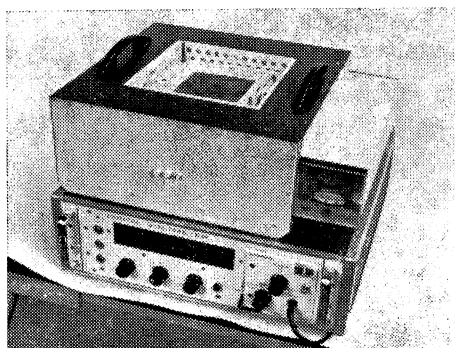
za dostačující, také proto, že tento teplotní profil existuje již v těsné blízkosti izolačních stěn 10, i když teplota těchto stěn ve výši 55 mm nad základovou deskou je vyšší než teplota měděné desky 6 a činí 51—55 °C.

Při použití tenčích vrstev zkoušené izolace bude linearita teplotního spádu ještě lepší.

Teplotní rozdíly po šíři měděné desky činily podle měření nejvýše 0,3 °C, v základové duralové desce byl nejvyšší měřený spád při teplotě 250 °C nižší než 0,5 °C.

5. DALŠÍ MOŽNOSTI PŘÍSTROJE

Do bočních stěn základové desky lze vyvrtat několik otvorů o průměru 2 až 4 mm rovnoběžně s povrchem desky sahajících až ke středu desky a osazené ústí těchto otvorů lze teflonovými trubicemi spojit se souosými otvory ve vnějším plášti. Pak díky rovnoramennému teplotnímu poli desky 1 lze přístroje s výhodou použít k cejchování odporových a termočlánkových čidel až do teplot 300 °C. Při použití masivního hliníkového víka se širokými dosedacími plochami lze



Obr. 2. Fotografie přístroje.

v prostoru mezi deskou 1 a víkem termostatovat drobné předměty. Stabilita teploty při použití regulátoru TRS je lepší než 0,1 °C. Celkový vzhled přístroje je patrný z fotografie na obr. 2.

6. ZÁVĚR

Pro potřeby konstruktérů byl vyvinut jednoduchý přístroj pro měření tepelné vodivosti vláknitých izolačních materiálů. Vkládaný vzorek je jednoduchý a rovinný, měřící prostor má podle potřeby proměnlivou výšku. Ustálení teplotních poměrů je rychlé. Podle požadavku na přizpůsobení provozním poměrům pracuje přístroj s vysokým teplotním spádem, jehož velikost je volitelná. Přístroje lze rovněž použít jako cejchovacího přípravku pro termočlánková či odporová čidla, a jako termostatu. Hodnoty tepelné vodivosti naměřené popsaným přístrojem se nevýznamně (do 7 %) liší od hodnot uvedených v publikaci [1], avšak vykazují podobnou závislost velikosti tepelné vodivosti na měrné hmotnosti izolace a na střední teplotě vrstvy.

LITERATURA

- [1] Prokop, J.: Tepelné izolace. Skriptum energ. institutu, Praha 1972.
- [2] ČSN 72 7015.
- [3] Katalogový list alfametru B 138, Drutěva Brno 1979.

ПРОСТОЙ АППАРАТ ДЛЯ ОПРЕДЕЛЕНИЯ ТЕПЛОПРОВОДНОСТЕЙ ВОЛОКНИСТЫХ ИЗОЛЯЦИЙ

Инж. Luboš Гес, к. т. н., Я. Боштицки

Статья занимается аппаратом для измерения теплопроводностей волокнистых изоляций, который работает с высоким температурным градиентом в слое. Как чувствительного элемента теплового тока используется чехословацкого мульттермоэлемента, с помощью которого измеряется температурный градиент в тонком слое, и который работает как т. наз. алфаметр.

A SIMPLE FIBROUS INSULATING MATERIALS HEAT CONDUCTIVITY METER

Ing. Luboš Hes, CSc., J. Boštícký

The article deals with a fibrous insulating materials heat conductivity meter, operating with high temperature drop in a layer. As a sensing element of a heat flow a Czechoslovak multithermocouple is used, measuring temperature drop in a thin layer and operating as a so called alpha-meter.

APPAREIL SIMPLE POUR LA MESURE DES CONDUCTIVITÉS THERMIQUES DES ISOLATIONS FIBREUSES

Ing. Luboš Hes, CSc., J. Boštícký

L'article présenté décrit un appareil pour la mesure des conductivités thermiques des isolations fibreuses qui travaille avec le gradient thermique haut dans une couche. On utilise le multi-thermoélément tchécoslovaque comme un organe de mesure du flux thermique qui mesure le gradient thermique dans une couche fine et travaille comme un alfamètre.

EINFACHES GERÄT ZUR MESSUNG DER WÄRMELEITFÄHIGKEITEN VON FASERISOLATIONEN

Ing. Luboš Hes, CSc., J. Boštík

Der Artikel beschreibt ein mit hohem Temperaturgradient in einer Schicht arbeitendes Gerät zur Messung der Wärmefähigkeiten von Faserisolationen. Man verwendet das den Temperaturgradient in feiner Schicht messende und als ein Alfameter arbeitende tschechoslowakische Multithermoelement als einen Wärmeleßflussfühler.

● Úspory elektrické energie

I když váha, přikládaná problémům spotřeby elektrické energie na světlo na našich bytech je značně nadnesená a neskutečně vysoko odhadovaná, zůstává pravdou, že plýtvání neznamená vysokou a spoření nízkou životní úroveň (zobrazovanou v detailech).

Není bez zajímavosti, že např. v NSR zřetelně poklesl podíl ve spotřebě elektrické energie v domácnostech na osvětlování vůči spotřebě celkové (Licht 1979/9): zatímco v roce 1955 činila spotřeba el. energie na osvětlování 27 % spotřeby celkové, dnes činí pouze 8 %. A jen 2 % se podílí osvětlení na celkové celostátní spotřebě el. energie (je to jev, vyvolaný patrně změnami v množství spotřebičů). Jako poznámka: podle přepočtu odpovídá prý spotřeba el. energie na osvětlení čtyřem nebo pěti naplněným nádržím všech automobilů, které v NSR jezdí!

Jedním z logických důsledků potřeby individuálních úspor je řešení větší a volnější ovladatelnosti osvětlovacích soustav (jiné než jen „světlo - tma“, popřípadě známé snížení výkonu u lustrů zapínáním různého počtu zdrojů pomocí přepínačů). Do popředí tady vstupuje stmívání.

Zprávu o netypickém řešení IF zářením dálkové ovládaném spínači-stmívači DELTA-LUX fy. Siemens AG. přináší Licht 1979/9: je-li tento přístroj zařazen do napájecího obvodu, lze jím ovládati veškeré osvětlení v domě, byť na dálku (od stolu, z lůžka aj. místa). Takové zařízení ocení zvláště lidé nemocní nebo pohybové poškození — ovšem poslouží dobré i všem ostatním, protože skokové ovládání z jednoho místa narušuje navázání kontakty i plynulost životního běhu v daném prostoru.

Dálkové ovládání popisovaného přístroje sestává ze 4-kanálového ručního spínače s vysílačem, pracujícím s infračerveným zářením. Zařízení vypíná do 600 W a stmívá do 400 W.

(LCh)

● V NSR nástup využívání sluneční energie pro státní budovy

V říjnu 1978 bylo dáno do provozu první zařízení na využívání sluneční energie pro objekt ve správě státu, a to pro kasárny v Achern v rámci výhledového investičního programu NSR.

Toto zařízení slouží k ohřívání užitkové vody a má snížit provozní výdaje objektu. Po něm budou následovat další obdobná zařízení pro státní budovy, a to kromě pro několik dalších kasáren, pro vysílač na Zugspitze, pro řadu sportovních hal a plováren, pro skleníky státních šlechtitelských stanic, pro německou školu v Teheránu aj. Na podporu výstavby těchto zařízení uvolnila spolková vláda na rok 1979 až 1980 dodatečné prostředky ve výši 31 milionů DM.

Na výstavbu těchto zařízení navazuje rozsáhlý program měření, který povede Ústav jaderného výzkumu v Jülichu, a očekává se, že po shrnutí a vyhodnocení výsledků měření získané poznatky budou k dispozici pro široký okruh zájemců.

CCI 2/79

(Ku)

● Centrální vysavač pro rodinné domky

Fa. Centralisug Hamburk, která je sesterskou společností švédského koncernu Calor-Celsius, dodává již léta na západoněmecký trh centrální zařízení pro pneumatickou dopravu odpadků a centrální vysavače pro správní budovy, školy, nemocnice a průmyslové podniky. V r. 1977 rozšířila svou nabídku i pro občany tím, že uvedla na trh centrální vysavače pro rodinné domky. Očekává se, že ročně asi 50 % rodinných domků v NSR bude vybaveno centrálním vysavačem, což odpovídá roční potřebě asi 10 000 těchto zařízení.

HLH 2/78

(Ku)

HOSPODÁRNE OPODSTATNENÁ STAVEBNÁ TEPELNÁ OCHRANA VYKUROVANÉHO BYTOVÉHO INTERIÉRU

DOC. ING. JOZEF K. PEKAROVÍČ, CSc.

Stavebná fakulta SVŠT, Bratislava

Pre vykurovaný bytový interiér sú definované rôzne druhy stavebných tepelných ochrán z hľadiska interiérového antropocentrizmu a celospolečenskej hospodárnosti.

Všeobecné vzťahy pre hospodárne opodstatnenú tepelnú ochranu bytového interiéru napojeného na systém centralizovaného zásobovania teplom sú aplikované na praktickom príklade interiéru vytvoreného zo súčasne používaných viacvrstvových obvodových panelov.

Recenzoval: Doc. Ing. Dr. J. Čihelka

1. VŠEOBECNE

Riešenie všeobecnej diferenciálnej rovnice ŽP [7], [12] z hľadiska pre človeka prioritných tepelných agensov v prechodovom a v zimnom období v nestacionárnom stave, t. j. pri prerušovanom vykurovaní, vedie k riešeniu diferenciálnej rovnice

$$\frac{\partial t}{\partial \tau} = a \frac{\partial^2 t}{\partial x^2}. \quad (1.1)$$

Pre stacionárny stav, t. j. pri uvažovanom neprerušovanom vykurovaní (ako je v SCZT najbežnejšie), teda za podmienky

$$\frac{\partial t}{\partial \tau} = 0 \quad (1.2)$$

k riešeniu diferenciálnej rovnice

$$\frac{\partial^2 t}{\partial x^2} = 0. \quad (1.3)$$

Rovnice (1.1) a (1.3) vedú teda **prvorade** — pri použití patričných okrajových podmienok — k fyzikálno-technickému určeniu samotnej obvodovej (teplovýmennej) stavebnej konštrukcie VŽP a až **druhorade** — pri adekvátnych okrajových podmienkach — k fyzikálno-technickému dimenzovaniu požadovaného inštalovania vykurovacej techniky do VŽP, interiéru.

Je tak navrhovaná stavebná tepelná ochrana interiéru **rozhodujúcim** činiteľom pri jeho tvorbe a návrhu, pretože určuje jednak **jednorázové** velkosť nákladov samotných stavebných konštrukcií a v návaznosti aj inštalovanej vykurovacej techniky — v ČSSR jednotným výpočtom podľa [3] — a jednak **dlhodobe** aj potrebu prevádzkovej tepelnej energie na udržanie primeraného tepelného stavu pre človeka-užívateľa interiéru v čase.

Ak preberieme päť hodnotiacich hľadísk všeobecnej klasifikáčnej metódy ŽP [6] aj pre VŽP (interiér), vyznievajú tieto pretvorením podľa autora [12] takto:

1. hladisko biofyziologické, 2. hygienické, 3. technické, 4. celospoločenské, 5. estetické. Z pohľadu stupňa dôležitosti charakterizujú prvé dve hladiská nevyhnutnú požiadavku **interiérového antropocentrizmu (IA)** (rešpektujúce človeka-užívateľa interiéru v jeho biofyziologickej podstate pri nutnej hygiéne), pričom tretie a piaté hladisko musia byť s prvým a druhým spojené práve štvrtým hladiskom, teda **celospoločensky hospodárny (CH)** vytvorením interiéru. Na základe tohto dá sa postulovať, že interiér je výrazne dobrý, ak spĺňa dve požiadavky: IA a CH v daných, resp. perspektívnych podmienkach rozvíjajúcej sa socialistickej spoločnosti, pričom požiadavka CH pre navrhovaný interiér musí byť vždy podrobenná IA a nie opačne.

V ďalších úvahách o hospodárne opodstatnené navrhovanej prvoradej stavebnej tepelnej ochrany interiéru sa dôsledne pridržiavame posledné postulovaného poznatku, t. j. podriadenosti CH voči požiadavke IA pre vytváraný interiér, čo je tiež v súlade s dávno poznanou a v súčasnosti preferovanou tézou: hospodárne v oblasti ŽP — ale i v oblasti tvorby VŽP — je len to, čo je ekologicky únosné.

2. DIFERENCIÁCIA POJMOM PRE STAVEBNÚ TEPELNÚ OCHRANU

Pojem stavebná tepelná ochrana sa používa v rôznych odstupňovaniach.

Minimálna stavebná tepelná ochrana (MSTO) je charakterizovaná iba jedným čiastkovým hladiskom hygienickým, že v interiéroch s bežnou vnútornou klímom aj pri výpočtovej vonkajšej teplote vzduchu nedochádza na vnútornej strane vonkajšej (teplovýmennej) stavebnej konštrukcii ku kondenzácii.

V krajinách s veľkou stavebnou činnosťou je táto teplota t_{ip} predpisovaná, resp. udané R , či k pre stavebnú konštrukciu. V ČSSR je MSTO udaná v [1]. Teplotu na vnútornom povrchu zvislej teplovýmennej stavebnej konštrukcii počítame pri stacionárnom stave zo vzťahu

$$t_{ip} = t_i - \frac{k}{\alpha_i} (t_i - t_e), \quad [K] \quad (2.1)$$

alebo ju odčítame z diagramu na obr. 1.

Vonkajšie teplovýmenné stavebné konštrukcie bytového interiéru dimenzované podla [1] sú sice z 2. hladiska hodnotenia VŽP (odsek 1) hygienicky únosné pre človeka-užívateľa, avšak z 1. hladiska biofyziologického, konkrétnie tepelno-pohodového nedostačujúce. Človek sa cíti totiž po stránke tepelných pocitov vtedy dobre v interiéri, keď aj pri panujúcej výpočtovej t_e majú vonkajšie stavebné konštrukcie $t_{ip} \sim 18^\circ C$. A to nastane vtedy, ak $k = 0,4$ až $0,5 \text{ W m}^{-2} \text{ K}^{-1}$ a nie pri $k = 0,93 \text{ W m}^{-2} \text{ K}^{-1}$ ako predpisuje [1] — pozri obr. 1, resp. [2.1].

Ak navyše sa k takto tepelno nepohodové dimenzovaným stavebným vonkajším konštrukciám pridá enormná veľkosť prichádznych stavebných konštrukcií (50 % i viacej okennnej plochy, napr. zdvojenej s $k_0 = 2,9 \text{ W m}^{-2} \text{ K}^{-1}$) má toto dôsledok: jednak zvýšenú negatívnu radiáciu oknami na užívateľa interiéru a jednak vyššie náklady na interiér dotvárajúcu vykurovaciu techniku počas expluatácie. Alebo, sice lacno postavený interiér, avšak pri drahom a nepohodovom bývaní pre užívateľa.

Norma [1] predpisuje sice nepriamo dodržanie percenta zasklenia obvodového

plášťa ukazovateľom dovolenej potreby tepelnej energie na vykurovanie merného bytu 200 m^3 za vykurovacie obdobie v hodnote $35,5 \text{ GJ rok}^{-1}$, podľa mechanicky prebratej vládnej vyhlášky 1104/63 [17], avšak tento podľa experimentálnych meraní autora [11], [13] sa prekračuje o 40 až 50 % pre súčasne stavané byty NKS.

MSTO teda nespĺňa celkom požiadavku IA pre vytváraný bytový interiér (rešpektuje iba čiastkové hľadisko hygienické, ale nie biofyziologické, teda tepelnopohodové) a vôbec nespĺňa požiadavku CH.

Hospodárna stavebná tepelná ochrana (HSTO) je charakterizovaná jediným, čiste hospodárskym (finančným) hľadiskom, vôbec nie plnením požiadavky IA.

Je možné vypočítať, pri ktorých hodnotách R , d , alebo k sú najmenšie pre-vádzkové náklady na vytvárajúce stavebné konštrukcie a dotvárajúcu vykurovaciu techniku bytového interiéru. Kedže sa týmto teoreticky dostáva optimálny stav z hľadiska hospodárnosti, hovorí sa v literatúre tiež o **hospodárne optimálnej stavebnej tepelnej ochrane**. Vo väčšine prípadov je takto navrhnutý interiér hygienicky i tepelnopohodovo výhodnejší ako ten, ktorý je dimenzovaný podľa požiadavky MSTO.

V literatúre je spomínaný ďalej aj pojem **plná stavebná tepelná ochrana**, pod ktorým sa uvádzá, že zlepšenou stavebnou tepelnou ochranou sa rok čo rok dosahujú úspory, ktoré amortizujú jednorázové viacejnáklady na stavebné konštrukcie za niekoľko málo rokov. Tým sú užívateľovi interiéru k dobru náklady za tepelnú energiu pre ústredné vykurovanie. Platí tu teda: drahšie stavať, ale lacnejšie bývať.

Z uvedeného tiež vidno, že plná stavebná tepelná ochrana a hospodárne optimálna stavebná tepelná ochrana sú iba synonymá HSTO.

Výpočet HSTO býva doporučovaný normami, napr. v NDR TGL 28 706/10 [14]. Naša ČSN [1] pre vonkajšie stavebné konštrukcie zavádzia iba „doplňujúce“ kritérium tepelnno-ekonomické, ktoré môže byť rozhodujúce pre návrh len vtedy, ak je tepelný odpor takejto konštrukcie väčší ako prisľúcha MSTO.

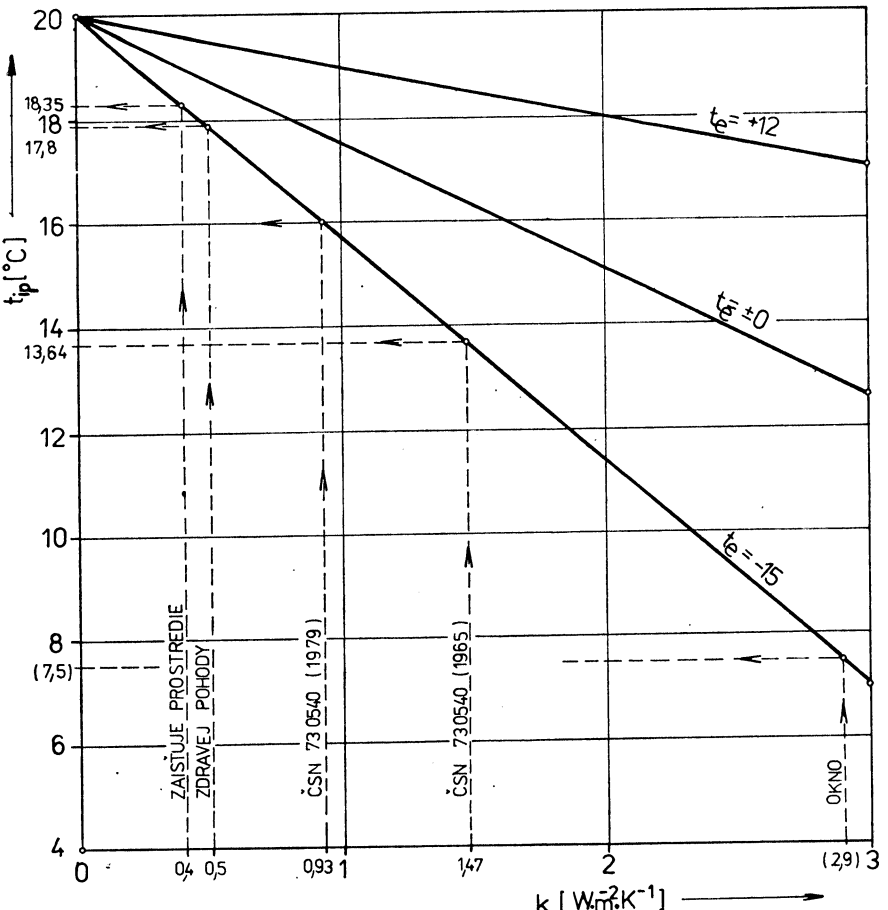
Z pohľadu odseku 1 tohto príspevku je pri HSTO pre bytový interiér nadradená požiadavka CH nad IA — pri eventuálnom splnení hľadiska hygienického a tepelnopohodového — čiže zase nespĺňa dôsledne obe požiadavky na výrazne dobrý interiér.

Hospodárne opostatnená stavebná tepelná ochrana (HOSTO) je podľa autora charakterizovaná dôsledným splnením požiadavky IA (pre užívateľa bytového interiéru) ako aj požiadavky CH, pričom CH je podriadená IA.

Požiadavka IA je splnená tak, že stavebné konštrukcie bytový interiér vytvárajúce vyhovujú nielen hľadisku hygienickému, ale obzvlášť tepelnopohodovému, tj. pri výpočtovej teplote t_a je na vnútornom povrchu vonkajšej stavebnej nepriehľadnej konštrukcie $t_{ip} \sim 18 \text{ }^\circ\text{C}$, čo zodpovedá $k = 0,4$ až $0,5 \text{ W} \cdot \text{m}^{-2} \cdot \text{K}^{-1}$, obr. 1. A ďalej geometria tvaru i súčasne použitých zdvojených okien (aj pri vysokom $k_0 = 2,9 \text{ W} \cdot \text{m}^{-2} \cdot \text{K}^{-1}$) je volená pri najčastejšom bočnom osvetlení bytových interiérov z hľadiska nutného denného osvetlenia v rozmedzí $o = 30$ až 40% .

Požiadavka CH a zároveň podriadenosť CH požiadavke IA je splnená tak, že s hrúbkou teplovýmennej stavebnej konštrukcie, resp. s hrúbkou jej tepelnooizolačnej vrstvy sa nejde až na teoretickú HSTO, ale o niečo menej. Kritérium je, aby merné ročné náklady pri HOSTO neprekročili o viacaj 5 % merné ročné náklady pri HSTO.

Na základe horeuvedených hodnôt k a k_0 pri $o = 30$ až 40% autor [12] dopo-



Obr. 1. Vnútorná povrchová teplota zvislej stavebnej konštrukcie t_{ip} v závislosti na jej súčiniteľi prechodu tepla k s t_e ako parametrom pri $t_i = 20^\circ\text{C}$, $\alpha_i = 8,1 \text{ W} \cdot \text{m}^{-2} \cdot \text{K}^{-1}$

ručuje novelizovať v [1] potrebu tepla na merný byt 200 m^3 pre vykurovanie hodnotou 22 až 23 GJ · rok⁻¹.

Je tu teda zavedený kompromis medzi MSTO: lacno stavať a drahó bývať a HSTO: drahó stavať a lacno bývať vo formulácii: opodstatnenie hospodárne stavať i bývať, čo sa dosiahne pri HSTO teplovýmenných stavebných konštrukcií bytový interiér vytvárajúcich.

Uvedené tvrdenia autora o HSTO sú v súlade s postulátmi Eichlera [4], [5], Pohnerta [14] ako i Seifferta (NSR). Posledný na základe štatistického vyhodnotenia bytových objektov uvádzá ako účelné zostať s tepelným odporom teplovýmenných stavebných konštrukcií nižšie ako zodpovedá teoretickej HSTO, pretože optimalizáciou vypočítané hodnoty odporov sa pre stavbu objektov nepresadia. Doporučuje pre bytové objekty zavedenie tzv. praktickej hospodárnej stavebnej tepelnej ochrany ako protiklad ku HSTO.

3. ALGORITMUS PRE HOSTO

Ide o postavenie univerzálneho výpočtového postupu pre bytový interiér — zostávajúci zo stavebných konštrukcií priečladných i nepričladných, reprezentujúcich na jednej strane prvoradú hmotnosť interiéru a jednak vykurovacej techniky, reprezentujúcej na druhej strane ňou požadovanú druhoradú tepelnú energiu — a to takým podielom hmotnosti a energie, aby sa zachovalo optimum tepelného komfortu pre človeka-užívateľa interiéru (požiadavka IA) celospoločensky únosným spôsobom (požiadavka CH), keď požiadavka hospodárnosti nebude v rozpore s prioritným IA pre navrhovaný alebo existujúci bytový interiér. Pritom nezohľadnia sa len jednorázové investičné náklady na vytváraný bytový interiér (stavebnými konštrukciami a vykurovacou technikou, vrátane jej miestnej regulácie), ale i v priebehu času nabiehajúce prevádzkové, opravárske a udržovacie náklady týchto dvoch hlavných konstituantov interiéru. Pod priebehom času rozumieme tuhá opakujúce sa ročné obdobia po dobu životnosti konstituantov interiéru, pričom kritickým obdobím je zimné, presnejšie opakujúce sa vykurovacie obdobie.

3.1 Definovanie ročných nákladov

Vo všeobecnosti sú ročné náklady [8], [12] definované

$$N = \frac{I - Z}{n} + U + V \quad [\text{Kčs. rok}^{-1}]. \quad (3.1)$$

Naznačený vzťah vyjadruje, že ide o výpočet odpisov a úrokov z vložených investícii a ostatných prevádzkových nákladov. Vo vzťahu (3.1) predpokladáme, že

- ide o lineárne odpisy, čo je u nás najbežnejšie,
- nezapočítavame úrok pri výpočtoch s investíciami, teda $U = 0$,
- pre jednoduchosť je likvidačná cena základných fondov $Z = 0$.

Pre životnosť n a odpisovú sadzbu p_1 platí zasa závislosť

$$\frac{1}{n} = \frac{p_1}{100} \quad [\text{rok}^{-1}], \quad (3.2)$$

z toho

$$n = \frac{100}{p_1} \quad [\text{rok}],$$

alebo

$$p_1 = \frac{100}{n} \quad [\%].$$

Podľa vyhlášky č. 76/1966 [18] je predpísaná ročná odpisová sadzba p_1 , resp. životnosť n pre konstituenty vytvárajúce bytový interiér takto:

- pre stavebné konštrukcie obytných budov $p_1 = 1,3\%$, $n = 77$ rokov,
- pre vykurovaciu techniku v budovách $p_1 = 3,3\%$, $n = 30$ rokov,
- pre automatickú reguláciu vykurovacej techniky $p_1 = 8\%$, $n = 12$ rokov.

Dosadením (3.2) a horeuvedených predpokladov do (3.1) bude

$$N = \frac{p_1}{100} \cdot I + V \quad [\text{Kčs . rok}^{-1}]. \quad (3.3)$$

Do prevádzkových nákladov V zahrňujeme náklady na opravu a údržbu, ktoré prirodzene úzko súvisia so životnosťou navrhovanej techniky. Preto v porovnávacích výpočtoch sa vyhodnocujú náklady na priemernú opravu a údržbu ako príslušný podiel odpisov podľa [12] vzťahom

$$p_2 = x \cdot p_1 = (0,6 \text{ až } 0,8) \cdot p_1 \quad [\%]. \quad (3.4)$$

Konečne základ algoritmu HOSTO pre bytový interiér je postavený na porovnaní ročných nákladov vzťiahnutých na 1 m^2 teplovýmennej stavebnej konštrukcie, daných účelovou rovnicou vo tvare

$$E = N_{\text{sk}} + N_{\text{vy}} + N_{\text{re}} + N_{\text{e}} \quad [\text{Kčs . m}^{2-} \cdot \text{rok}^{-1}]. \quad (3.5)$$

3.2 Vyjadrenie čiastkových merných ročných nákladov

Merné investičné náklady I_{sk} stavebnej časti vyjadrujeme mernými nákladami, udanými na hrúbku 1 m hodnotou A :

$$I_{\text{sk}} = A \cdot d_{\text{sk}} \quad [\text{Kčs . m}^{-2}]. \quad (3.6)$$

Merné investičné náklady v ročných odpisoch podľa (3.3) budú: Pre jednovrstvovú stavebnú teplovýmennú konštrukciu interiéru bez okien

$$N_{\text{sk}} = \frac{z_{\text{sk}}}{100} \cdot I_{\text{sk}} = \frac{z_{\text{sk}}}{100} \cdot A \cdot d_{\text{sk}} \quad [\text{Kčs . m}^{-2} \cdot \text{rok}^{-1}]. \quad (3.7)$$

Pre viacvrstvovú stavebnú konštrukciu bez okien

$$N_{\text{sk}} = \frac{z_i}{100} \cdot A_i \cdot d_i + \frac{z'_{\text{sk}}}{100} \cdot I'_{\text{sk}} \quad [\text{Kčs . m}^{-2} \cdot \text{rok}^{-1}], \quad (3.8)$$

keď označenie s' platí pre ostatné vrstvy stavebnej konštrukcie mimo tepelnozolačnej.

Pre jednovrstvovú stavebnú konštrukciu s oknami bude

$$N_{\text{sk}} = \frac{m}{100} \cdot \frac{z_{\text{sk}}}{100} \cdot A \cdot d_{\text{sk}} + \frac{o}{100} \cdot \frac{z_0}{100} \cdot I_0 \quad [\text{Kčs . m}^{-2} \cdot \text{rok}^{-1}]. \quad (3.9)$$

Pre viacvrstvovú stavebnú konštrukciu s oknami bude analogicky

$$N_{\text{sk}} = \frac{m}{100} \cdot \left(\frac{z_i}{100} \cdot A_i \cdot d_i + \frac{z'_{\text{sk}}}{100} \cdot I'_{\text{sk}} \right) + \frac{o}{100} \cdot \frac{z_0}{100} \cdot I_0 \quad [\text{Kčs . m}^{-2} \cdot \text{rok}^{-1}]. \quad (3.10)$$

A pre percentuálnu sadzbu odpisov, opráv a údržby je

$$z_{\text{sk}} = p_{1,\text{sk}} + p_{2,\text{sk}} \quad [\%] \quad (3.11)$$

pričom pre $p_{1,\text{sk}}$ platí (3.2) a pre $p_{2,\text{sk}}$ zasa (3.4). Obdobne platí (3.11) pre z'_{sk} , z_i a z_0 .

Merné investičné náklady na stavebné konštrukcie obvodového plášta A , vonkajšie povrchové úpravy I'_{sk} a okenné konštrukcie I_0 sú v tab. 1.

Tab. I

Merné investičné náklady na stavebné konštrukcie obvodového plášta A , vonkajšie povrchové úpravy I_{sk} a okenné konštrukcie I_0

Poradové číslo	Druh stavebnej obvodovej konštrukcie	A [Kčs . m ⁻² . m ⁻¹]	I_{sk} [Kčs . m ⁻²]	I_0 [Kčs . m ⁻²]
1	2	3	4	5
1	Tehelné murivo z tehál CDM (bez omietky)	630 až 650	—	—
2	Tehelné murivo z tehál plných (bez omietky)	600 až 620	—	—
3	Murivo z plynosilikátových tvárníc (bez omietky)	430	—	—
4	Sendvičové panely:			
4.1	Železobetón	1690	—	—
4.2	Polyesterén $\varrho = 22 \text{ kg} \cdot \text{m}^{-3}$	420	—	—
	$\varrho = 35 \text{ kg} \cdot \text{m}^{-3}$	610	—	—
4.3	Vonkajšia povrchová úprava panelu	—	20 až 40	—
4.4	Okno drevené zdvojené	—	—	340 až 360

Poznámky (k poradovým číslam):

4. Všetky cenové údaje boli získané zo súčasne stavaných reprezentatívnych bytových objektov NKS: štvor až päťpodlažné radové objekty ako aj dvanásťpodlažné vežové objekty. Údaje poskytol technický odbor Stavoprojektu v Bratislave v októbri 1978, staviteľ J. Krejza.

4.1 Rozumie sa A pre zabudovaný panel vrátane dopravy a montáže panelu ako i úpravy škvára.

4.2 Rozumie sa A s dopravou do panelárne a jeho zabudovanie do panelu. Čím je polyesterén hmotnejší, tým je drahší.

4.4 Rozumie sa I_0 s dopravou hotového okna z výrobne do panelárne, ďalej jeho zabudovanie do obvodového panelu s príslušným oplechovaním ako aj dopravou z panelárne na stavenisko.

Pre merné ročné náklady na vykurovaciu techniku:

$$N_{vy} = \frac{z_{vy}}{100} \cdot B_1 \cdot k \cdot \Delta t \left[\text{Kčs} \cdot \text{m}^{-2} \cdot \text{rok}^{-1} \right] \quad (3.12)$$

ked

$$z_{vy} = p_{1,vy} + p_{2,vy} \quad [\%] \quad (3.13)$$

a pre $p_{1,vy}$ platí (3.2) a pre $p_{2,vy}$ (3.4).

Pre najčastejšie používané teplovodné konvekčné vykurovanie s nútenským obehom vykurovacej vody s panelovými (doskovými) vykurovacími telesami v bytovkách ako súčasti SCZT možno pre hodnotu B_1 brať 0,7 až 0,8 Kčs . W⁻¹.

Pre merné ročné náklady na **miestnu reguláciu** vykurovacej techniky:

$$N_{re} = \frac{z_{re}}{100} \cdot B_2 \cdot k \cdot \Delta t \quad [\text{Kčs} \cdot \text{m}^{-2} \cdot \text{rok}^{-1}], \quad (3.14)$$

ked $z_{re} = p_{1,re} + p_{2,re} \quad [\%]$ (3.15)

a pre $p_{1,re}$ platí (3.2) a pre $p_{2,re}$ (3.4).

Pre miestnu reguláciu konvekčných vykurovacích telies termostatickými ventilmami našej výroby v interiéroch zásobovaných zo SCZT možno podľa autora [12] brať $B_2 = 0,13$ až $0,15 \text{ Kčs} \cdot \text{W}^{-1}$.

Pre merné ročné náklady na **tepelnú energiu**:

$$N_e = \frac{24 \cdot \varepsilon \cdot k \cdot D \cdot 3,6 \cdot C_e \cdot 10^{-6}}{\eta_r \cdot \eta_0} \quad [\text{Kčs} \cdot \text{m}^{-2} \cdot \text{rok}^{-1}], \quad (3.16)$$

kde $D = d \cdot (t_i - t_{es}) \quad [\text{K} \cdot \text{deň} \cdot \text{rok}^{-1}]$ (3.17)

$\varepsilon = 0,8$ až $0,9$ opravný súčinatel uvažovaný len pri inštalovaní miestnej regulácie na vykurovacom telese,
 $\eta_r \cdot \eta_0 = (0,95$ až $0,98), (0,95$ až $1,0) = 0,94$ ako stredná hodnota účinnosti v rozvodnom potrubí a účinnosti regulačného zásahu užívateľom-obsluhovateľom na vykurovacom telese.

Pre SCZT dodávaná tepelná energia sa podľa cenníka FMPaE z roku 1977 predáva v ČSSR pri jednoduchej sadzbe za jednotkovú cenu $C_e = 37,50 \text{ Kčs} \cdot \text{GJ}^{-1}$. Presnejšie: uvedená jednotková cena plus alikvotné náklady nutné a ostatné podľa pomeru odobratého tepla v $\text{GJ} \cdot \text{rok}^{-1}$ z odovzdávajúcej stanice.

Konečné znenie účelovej rovnice dostaneme vložením (3.7), (3.12), (3.14) a (3.16) do (3.5) vo tvare

$$E = \frac{z_{sk}}{100} \cdot A \cdot d_{sk} + \frac{z_{vy}}{100} \cdot B_1 \cdot k \cdot \Delta t + \frac{z_{re}}{100} \cdot B_2 \cdot k \cdot \Delta t + \\ + \frac{24 \cdot \varepsilon \cdot k \cdot D \cdot C_e \cdot 3,6 \cdot 10^{-6}}{\eta_r \cdot \eta_0} \quad [\text{Kčs} \cdot \text{m}^{-2} \cdot \text{rok}^{-1}] \quad (3.18)$$

3.3 Stanovenie HSTO a jej prislúchajúce minimálne merné ročné náklady

Vykonáme tak, že pre (3.5), resp. (3.18) položíme

$$\frac{dE}{dd} = 0, \text{ alebo lepšie } \frac{dE}{dk} = 0, \quad (3.19)$$

s použitím

$$d = \lambda_{sk} \cdot \left(\frac{1}{k} - 0,166 \right) \quad [\text{m}], \quad (3.20)$$

ked za α_e a α_i boli dosadené normatívne hodnoty pre zvislú stenu.

Potom je

$$E = \frac{z_{sk}}{100} \cdot A \cdot \lambda_{sk} \cdot \left(\frac{1}{k} - 0,166 \right) + k \left(\frac{z_{vy}}{100} \cdot B_1 \cdot \Delta t + \frac{z_{re}}{100} \cdot B_2 \cdot \Delta t + \right. \\ \left. + \frac{24 \cdot \varepsilon \cdot D \cdot C_e \cdot 3,6 \cdot 10^{-6}}{\eta_r \cdot \eta_0} \right) \quad [\text{Kčs} \cdot \text{m}^{-2} \cdot \text{rok}^{-1}] \quad (3.21)$$

a premenná sa stáva k .

Namiesto konštant v rovnici (3.21) substitujme

$$x = \frac{z_{sk}}{100} \cdot A \cdot \lambda_{sk} \quad (3.22)$$

$$y = \frac{z_{vy}}{100} \cdot B_1 \cdot \Delta t + \frac{z_{re}}{100} \cdot B_2 \cdot \Delta t + \frac{24 \cdot \varepsilon \cdot D \cdot C_e \cdot 3,6 \cdot 10^{-6}}{\eta_r \cdot \eta_0} \quad (3.23)$$

dostávame

$$E = x \cdot \left(\frac{1}{k} - 0,166 \right) + k \cdot y, \quad (3.24)$$

Podľa (3.19), tj. derivovaním (3.24) podľa zavedenej premennej k a položením nule, bude lokálne minimum

$$k_{ek} = \sqrt{\frac{x}{y}} \quad [W \cdot m^{-2} \cdot K^{-1}] \quad (3.25)$$

Rovnicou (3.25) je určený hospodárne optimálny súčiniteľ prechodu tepla teplovýmennej nepriehľadnej stavebnej konštrukcie interiéru ako HSTO interiéru, prípadne hospodárne hrúbka

$$d_{ek} = R_{ek} \cdot \lambda_{sk} \quad [m]. \quad (3.26)$$

Vložením (3.25) do (3.24) dostávame **absolútne minimálne celkové merné ročné náklady**

$$E_{min} = x \cdot \left(\frac{1}{k_{ek}} - 0,166 \right) + k_{ek} \cdot y \quad [K\cdot s \cdot m^{-2} \cdot rok^{-1}] \quad (3.27)$$

a to pre **jednovrstvovú** stavebnú konštrukciu **bez okna**.

Ďalej môžeme odvodiť pre **jednovrstvovú** stavebnú konštrukciu **s oknom**

$$E_{min} = \frac{m}{100} \cdot x \cdot R_{ek} + \frac{o}{100} \cdot \frac{z_0}{100} \cdot I_0 + y \cdot k_p \quad [K\cdot s \cdot m^{-2} \cdot rok^{-1}], \quad (3.28)$$

ked'

$$R_{ek} = \frac{1}{k_{ek}} - 0,166 \quad [m^2 \cdot K \cdot W^{-1}], \quad (3.29)$$

$$k_p = \frac{m}{100} \cdot k_{ek} + \frac{o}{100} \cdot k_0 \quad [W \cdot m^{-2} \cdot K^{-1}], \quad (3.30)$$

Pre **viacvrstvovú** konštrukciu **bez okna**

$$E_{min} = x \cdot R_i + \frac{z'_{sk}}{100} \cdot I'_{sk} + y \cdot k_{ek} \quad [K\cdot s \cdot m^{-2} \cdot rok^{-1}], \quad (3.31)$$

ked'

$$R_i = \frac{1}{k_{ek}} - 0,166 - R'_{sk} \quad [m^2 \cdot K \cdot W^{-1}], \quad (3.32)$$

$$x = \frac{z_i}{100} \cdot A_i \cdot \lambda_i, \quad (3.33)$$

Konečne pre viacvrstvovú stavebnú konštrukciu s oknom

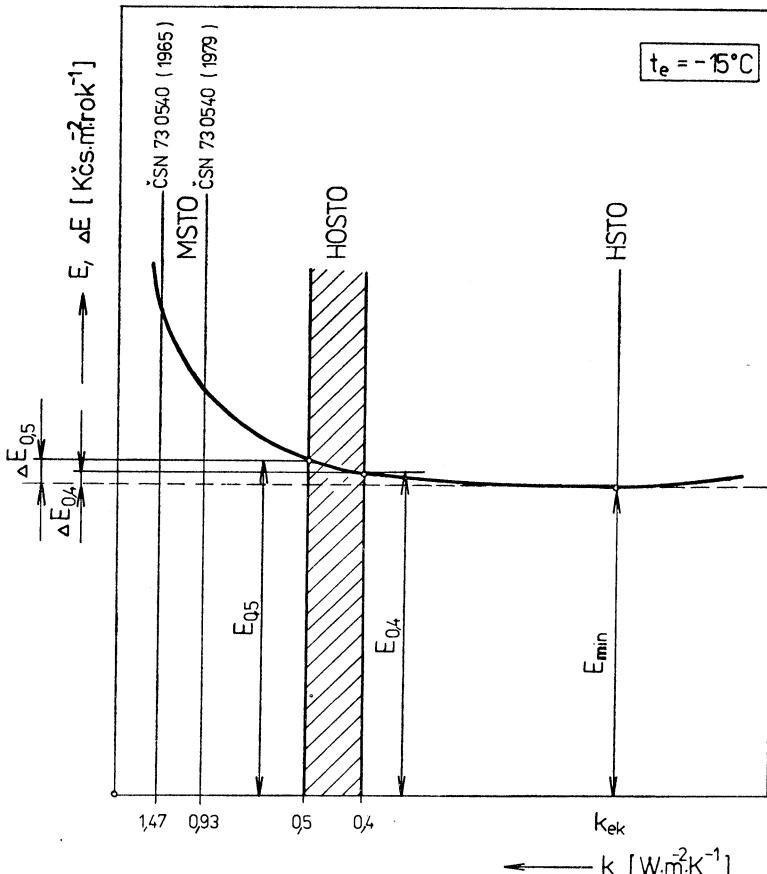
$$E_{\min} = \frac{m}{100} \left(x \cdot R_i + \frac{z'_{\text{sk}}}{100} \cdot I'_{\text{sk}} \right) + \frac{o}{100} \cdot \frac{z_0}{100} \cdot I_0 + y \cdot k_p \quad [\text{K}\cdot\text{s} \cdot \text{m}^{-2} \cdot \text{rok}^{-1}], \quad (3.34)$$

3.4 Stanovenie HOSTO a jej prislúchajúce merné ročné náklady

Určíme E_{\min} pre vypočítané k_{ek} podla (3.27) alebo (3.31) ako i celkové merné ročné náklady $E_{0,4}$ a $E_{0,5}$ pre $k = 0,4$ a $k = 0,5 \text{ W} \cdot \text{m}^{-2} \cdot \text{K}^{-1}$ podla týchž rovníc.

Na základe vývodov v odseku 2: ak platí pre teplovymennú konštrukciu

$$\frac{E_{0,4} - E_{\min}}{E_{\min}} \cdot 100 = \Delta E_{0,4} \leq 3 \text{ až } 5 \%, \quad (3.35)$$



Obr. 2. Funkčná závislosť $E = f(k)$, alebo HOSTO ako kompromis medzi MSTO a HSTO pre bytové objekty

alebo

$$\frac{E_{0,5} - E_{\min}}{E_{\min}} 100 = \Delta E_{0,5} \leq 5 \text{ až } 7 \%$$

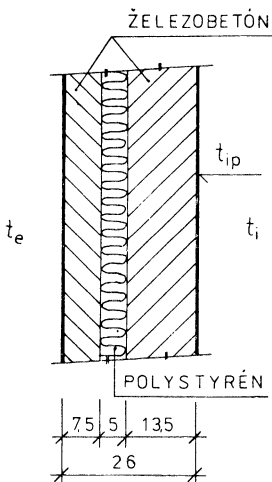
má stavebná konštrukcia pre interiér charakter HOSTO, obr. 2.

V opačnom prípade treba vykonať konštrukčný zásah na stavebnej konštrukcii s príslušne zodpovedajúcimi cenovými údajmi, eventuálne pristúpiť k návrhu celkom inej teplovýmennej stavebnej tepelnej ochrany interiéru.

Z obr. 2 je vidno, že HOSTO je kompromisom medzi MSTO a HSTO a to takým, že vyhovie ako požiadavke IA tak i CH, pričom IA je nadriadený CH — v zmysle definície autora pre HOSTO v odseku 2.

4. ČÍSELNÝ PRÍKLAD — GRAFICKÉ ZOBRAZENIE

Analyzujme hlbšie bytový interiér, keď tento je vytvorený z viacerstvovej vonkajšej teplovýmennej stavebnej konštrukcie podľa obr. 3. — používaný v bytovej výstavbe NKS — pomocou algoritmu v odseku 3 a pre prehľadnosť zobrazíme súvislosti i graficky.



Obr. 3. Materiál a rozmerы trojvrstvového obvodového panela bytových objektov NKS

Preberieme postupne:

- 4.1 Určenie HSTO, resp. stanovenie hrúbky tepelnoizolačnej vrstvy z polystyrénu,
- 4.2 Určenie absolútnych minimálnych celkových merných ročných nákladov pri podielu priečinnnej stavebnej konštrukcie $\alpha = 30\%$ (pri najčastejšom bočnom dňom osvetlení bytového interiéru),
- 4.3 Grafické určenie priebehu účelovej rovnice pri tomže podiele $\alpha = 30\%$,
- 4.4 Grafické zobrazenie podielov merných ročných nákladov pre stavebnú konštrukciu, vykurovaciu techniku a tepelnú energiu,

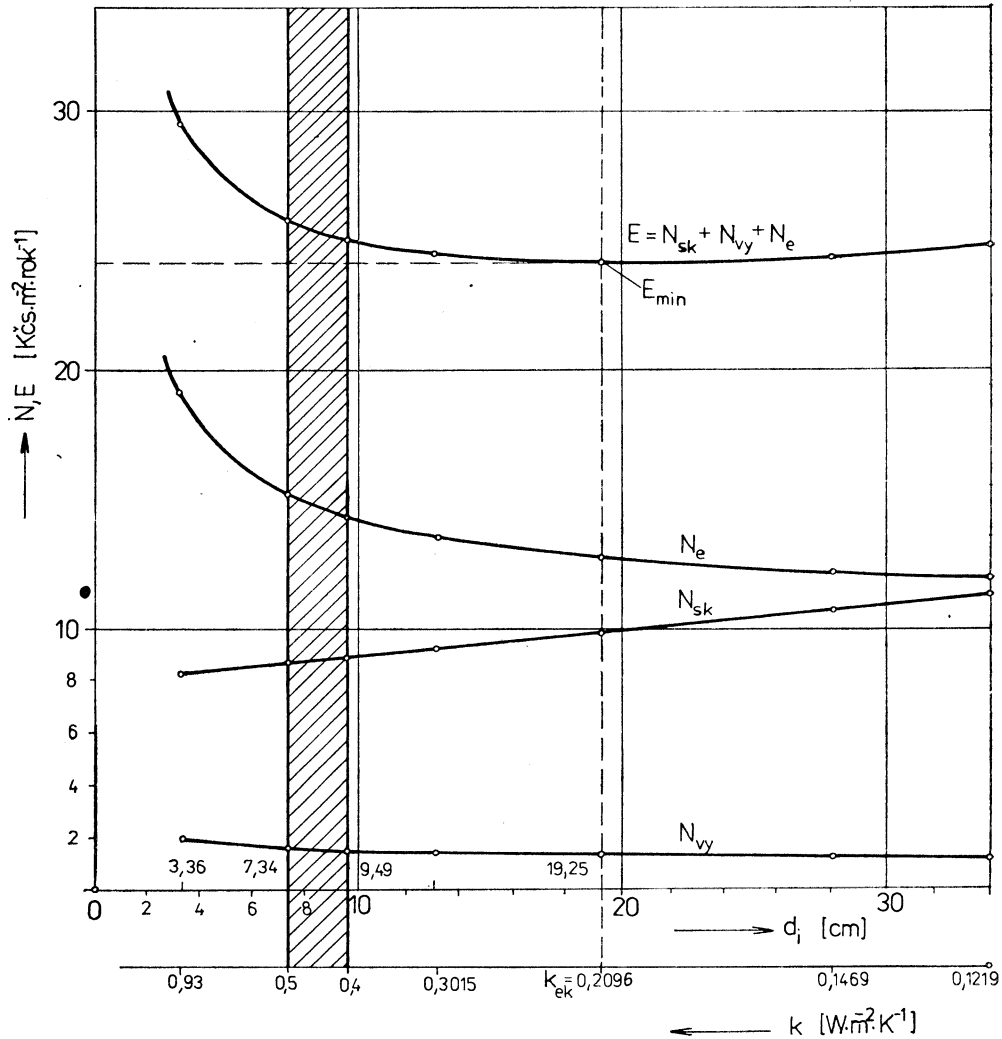
4.5 Zdôvodnite HOTO pre $k = 0,4$ až $0,5 \text{ W} \cdot \text{m}^{-2} \cdot \text{K}^{-1}$,

4.6 Stanovenie vplyvu podielu okna na nárast celkových merných ročných nákladov,

4.7 Určime vplyv inštalovania miestnej regulácie ústredného vykurovania na celkové merné ročné náklady.

Ad 4.1: Podľa rovnice (3.25) je **HOTO** pri

$$k_{ek} = \sqrt{\frac{0,6138}{13,976}} = 0,2096 \text{ W} \cdot \text{m}^{-2} \cdot \text{K}^{-1} \text{ (vynesené v obr. 4),}$$



Obr. 4. Celkové merné ročné náklady E , merné ročné náklady na tepelnú energiu N_e , na stavebné konštrukcie N_{sk} a na vykurovaciu techniku N_{vy} v závislosti na tepelnou izolačnej hrúbke polystyrénu d_i , resp. k teplovýmennej plochy, pri podiele priečinnnej plochy okna $\alpha = 30 \%$

ked pre x podľa (3.22) a pre y podľa (3.23) avšak bez miestnej regulácie vykurovacieho telesa v interiéri — ako je dôsledkom — t. j. pre rovniciu (3.14) $N_{re} = 0$ ako i pre rovnicu (3.16) $\varepsilon = 1$.

$$x = \frac{2,34}{100} \cdot 610 \cdot 0,043 = 0,6138$$

$$z_{sk} = p_1 + 0,8 \cdot p_1 = 1,3 + 0,8 \cdot 1,3 = 2,34 \%,$$

$$A = 610, - K\text{čs} \cdot m^{-2} \cdot m^{-1} (\text{tab. 1}),$$

$$\lambda_{sk} = 0,043 W \cdot m^{-1} \cdot K^{-1} (\text{ČSN 73 0542}),$$

$$y = \frac{5,28}{100} \cdot 0,75 \cdot 35 + \frac{24 \cdot 3750 \cdot 3,6 \cdot 37,50 \cdot 1}{0,965 \cdot 10^6} = 13,976$$

$$z_{vy} = p_1 + 0,6 \cdot p_1 = 3,3 + 0,6 \cdot 3,3 = 5,28 \%,$$

$$B_1 = 0,75 K\text{čs} \cdot W^{-1},$$

$$\Delta t = 20 - (-15) = 35 ^\circ C,$$

$$D_{20} = 3750 K \cdot \text{deň} \cdot \text{ro} k^{-1} (\text{pre strednú klimatickú oblasť s } t_e = -15 ^\circ C),$$

$$C_e = 37,50 K\text{čs} \cdot GJ^{-1}, \varepsilon = 1, \eta_r \cdot \eta_0 = 0,965 \cdot 1 = 0,965.$$

Tepelný odpor polystyrénu pre k_{ek} bude podľa (3.32)

$$R_{1,ek} = \frac{1}{0,2096} = 0,166 = 0,128 = 4,4768 m^2 \cdot K \cdot W^{-1}$$

a príslušná hrúbka p odľa (3.26)

$$d_{1,ek} = 4,4768 \cdot 0,043 = 0,1925 = 19,25 \text{ cm} (\text{vynesené v obr. 4}).$$

Ad 4.2: E_{min} s podielom okna $o = 30 \%$ je z rovnice (3.34)

$$E_{min} = \frac{70}{100} \cdot \left(0,6138 \cdot 4,4768 + \frac{2,34}{100} \cdot 338 \right) + \frac{30}{100} \cdot \frac{2,34}{100} \cdot 350 + \\ + 13,9767 \cdot 1,067 = 24,12 K\text{čs} \cdot m^{-2} \cdot \text{rok}^{-1}$$

(vynesené na obr. 4),

ked $m = 70 \%$, $o = 30 \%$, $k_0 = 2,9 W \cdot m^{-2} \cdot K^{-1}$, $I_0 = 350 K\text{čs} \cdot m^{-2}$ (tab. 1), investičné náklady ostatných vrstiev konštrukcie v obr. 3 mimo tepelnoizolačnej podľa (3.6) $I'_{sk} = 1960 \cdot 0,2 = 338 K\text{čs} \cdot m^{-2}$, ($A = 1960 K\text{čs} \cdot m^{-2} \cdot m^{-1}$ z tab. 1),

$$z_0 = z'_{sk} = 2,34 \%, \text{ podľa (3.20) pre } k_s = k_{ek}$$

je

$$k_p = \frac{70}{100} \cdot 0,2096 + \frac{30}{100} \cdot 2,9 = 1,067 W \cdot m^{-2} \cdot K^{-1}.$$

Ad 4.3: Opakoványm riešením rovnice (3.34) pri $o = 30 \%$ dostávame hodnoty vynesené do grafu na obr. 4.

Ad 4.4: Opakoványm riešením rovnice (3.10) pre $o = 30 \%$, dalej rovnice (3.12) a rovnice (3.16) pre $\varepsilon = 1$, $\eta_0 \cdot \eta_r = 0,965$ dostávame hodnoty, ktoré sú vynesené do grafu na obr. 4 ako príbeh N_{sk} , N_{vy} a N_e .

Ad 4.5: Šrafovaná plocha v grafe na obr. 4 udáva rozsah k pre stavebnú konštrukciu od 0,4 do 0,5 $W \cdot m^{-2} \cdot K^{-1}$ a zaistuje interiér zdravej pohody, pretože podľa (2.1), alebo podľa diagramu na obr. 1 je

$$t_{ip} = 20 - \frac{0,4}{8,1} (20 + 15) = 18,25 ^\circ C,$$

$$t_{ip} = 20 - \frac{0,5}{8,1} (20 + 15) = 17,84 ^\circ C.$$

Obe t_{ip} oscilujú okolo 18 °C a spôsobia prijateľný odvod tepelného toku sálaním z človeka aj pri $t_e = -15 ^\circ C$.

Zodpovedajúci tepelný odpor izolačnej vrstvy polystyrénu bude podľa (3.32)

$$R_{1;0,5} = \frac{1}{0,5} - 0,166 - 0,128 = 1,706 \text{ m}^2 \cdot \text{K} \cdot \text{W}^{-1},$$

$$R_{1;0,4} = \frac{1}{0,4} - 0,166 - 0,128 = 1,206 \text{ m}^2 \cdot \text{K} \cdot \text{W}^{-1},$$

a príslušná hrúbka polystyrénu podľa (3.26)

$$d_{1;0,5} = 1,706 \cdot 0,043 = 0,0734 = 7 \text{ cm},$$

$$d_{1;0,4} = 1,206 \cdot 0,043 = 0,0949 = 9,5 \text{ cm}.$$

Príslušné celkové merné ročné náklady pre $k = 0,5$ a $0,4$ podľa (3.34) sú:

$$E_{0,5} = \frac{70}{100} \cdot \left(0,6178 \cdot 1,706 + \frac{2,34}{100} \cdot 338 \right) + \frac{30}{100} \cdot \frac{2,34}{100} \cdot 350 + 13,9767 \cdot 1,22 = 25,77 \text{ Kčs} \cdot \text{m}^{-2} \cdot \text{rok}^{-1},$$

ked podľa (3.30) je

$$k_p = \frac{70}{100} \cdot 0,5 + \frac{30}{100} \cdot 2,9 = 1,22 \text{ W} \cdot \text{m}^{-2} \cdot \text{K}^{-1}$$

a pre $E_{0,4} = 25,01 \text{ Kčs} \cdot \text{m}^{-2} \cdot \text{rok}^{-1}$ pri $k_p = 1,15 \text{ W} \cdot \text{m}^{-2} \cdot \text{K}^{-1}$.

Vložením $E_{0,4}$, $E_{0,5}$ do (3.35) zistujeme

$$\Delta E_{0,4} = \frac{25,01 - 24,12}{24,12} \cdot 100 = 3,68 \% < 3 \text{ až } 5 \%,$$

$$\Delta E_{0,5} = \frac{25,77 - 24,12}{24,12} \cdot 100 = 6,84 \% < 5 \text{ až } 7 \%$$

a je teda trojvrstvová konštrukcia so 7 až 9,5 cm polystyrénu aj HOSTO.

Ad 4.6 Opakoványm výpočtom podľa vzťahov (3.34), (3.30) a (3.32) pre $\sigma = 30 \%, 40 \%, 50 \%$ zostrojíme graf na obr. 5, z ktorého sa dá zistiť, že v rozmedzí $\sigma = 30$ až 50% každému cca 10% nástaru zasklenej plochy prisľúcha zväčšenie celkových merných ročných nákladov o cca 12 až 14% .

Ad 4.7: Konečne pojednejme o stále diskutovanom ekonomickom dopade miestnej regulácie termostatickým ventilom na vykurovacom telese, a to pre $k = 0,5 \text{ W} \cdot \text{m}^{-2} \cdot \text{K}^{-1}$, tj. pri $d_1 = 7 \text{ cm}$ polystyrénu a pri $\sigma = 30 \%$.

Podľa autora [12] miestna regulácia ústredného vykurovania je jedna zo základných požiadaviek IA a musí byť preto do interiéru inštalovaná, pritom celospoločenský efekt by mal byť taký, že celkové merné ročné náklady by sa mali pri jej inštalovaní znížiť, prinajmenej však zostať na tej istej úrovni, teda pre $k = 0,5 \text{ W} \cdot \text{m}^{-2} \cdot \text{K}^{-1}$; $E_{0,5} = 25,77 \text{ Kčs} \cdot \text{m}^{-2} \cdot \text{rok}^{-1}$. Pre rovniciu (3.34) treba vypočítať novú hodnotu y danú výrazom (3.23), t. j. započítať merné náklady na miestnu reguláciu N_{re}

$$y = \frac{5,28}{100} \cdot 0,75 \cdot 35 + \frac{14,4}{100} \cdot 0,14 \cdot 35 + \frac{24 \cdot 3750 \cdot 3,6 \cdot 37,50 \cdot 0,9}{0,94 \cdot 10^6} = 13,7246,$$

kde $z_{re} = 8 + 0,8 \cdot 8 = 14,4 \%$,

$$B_2 = 0,14 \text{ Kčs} \cdot \text{W}^{-1},$$

$$\varepsilon = 0,8 \text{ až } 0,9, \text{ uvažujeme zatiaľ } \varepsilon = 0,9$$

$$\eta_r \cdot \eta_0 = 0,94,$$

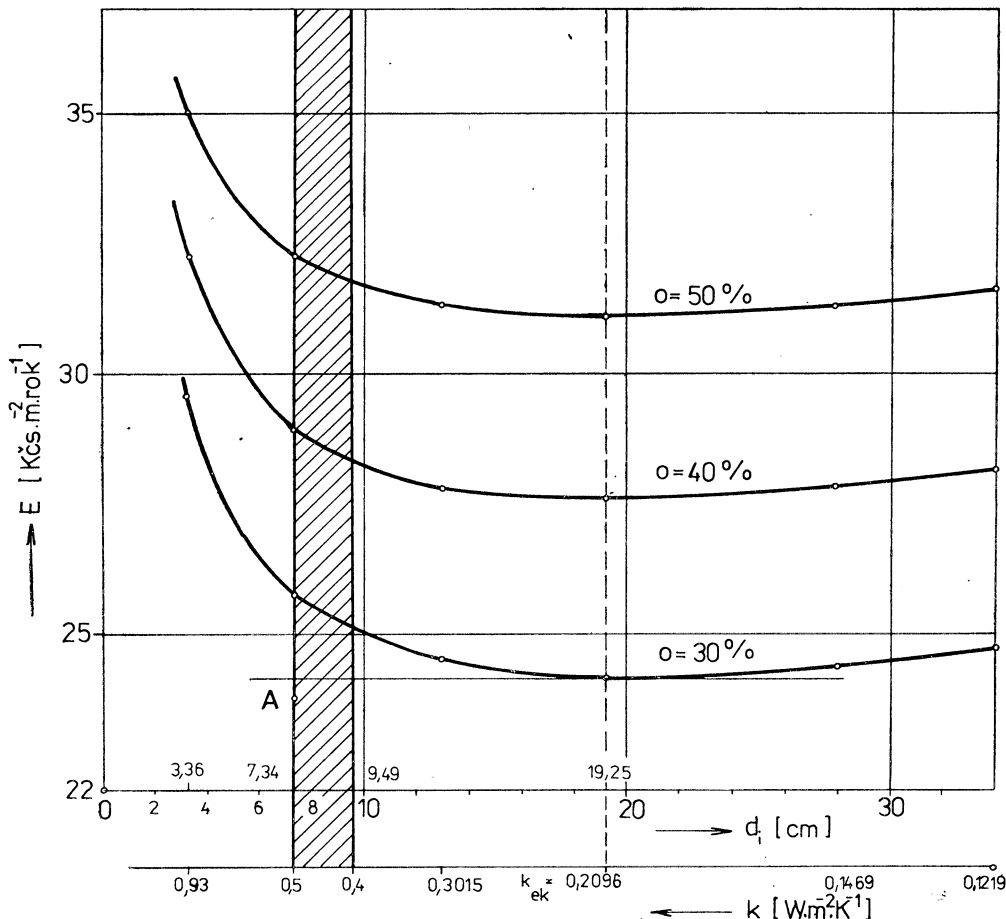
takže

$$E_{0,5,re} = \frac{70}{100} \cdot \left(0,6138 \cdot 1,706 + \frac{2,34}{100} \cdot 338 \right) + \frac{30}{100} \cdot \frac{2,34}{100} \cdot 350 + 13,7246 \cdot 1,22 = 25,47 \text{ Kčs} \cdot \text{m}^{-2} \cdot \text{rok}^{-1},$$

a zistujeme, že ozaj platí — i keď nevýrazne, ale cezto — zníženie, lebo

$$E_{0,5,re} < E_{0,5}$$

$$25,47 \text{ Kčs} \cdot \text{m}^{-2} \cdot \text{rok}^{-1} < 25,77 \text{ Kčs} \cdot \text{m}^{-2} \cdot \text{rok}^{-1}.$$



Obr. 5. Celkové merné ročné náklady E pre bytový interiér v závislosti na tepelnou izolačnej hrúbke polystyrénu d_1 , resp. k teplovýmennej plochy pri rôznom podielu priečinného konštrukcie okna $o = 30\%$, 40% , 50% . ked $k_o = 2,9 \text{ W} \cdot \text{m}^{-2} \text{ K}^{-1}$

Aplikujme pre trojvrstvový panel podla obr. 3, avšak pri HOSTO, tj. pri $k = 0,5 \text{ W} \cdot \text{m}^{-2} \cdot \text{K}^{-1}$ s $d_1 = 7 \text{ cm}$ polystyrénu údaj výrobcu termostatických ventilov, že jeho inštalovaním na vykurovacie teleso sa usporí až 20 % tepelnej energie.

Pre y podla (3.23) pri $\epsilon = 0,8$ bude $y = 12,432$ a podla (3.34) je $E_{0,5,\text{re}} = 23,89 \text{ Kčs} \cdot \text{m}^{-2} \cdot \text{rok}^{-1}$, takže znova platí — už ale výrazne — zniženie, lebo

$$E_{0,5,\text{re}} < E_{0,5},$$

$$23,89 \text{ Kčs} \cdot \text{m}^{-2} \cdot \text{rok}^{-1} < 25,77 \text{ Kčs} \cdot \text{m}^{-2} \cdot \text{rok}^{-1},$$

čo predstavuje úsporu (—) na celkových merných ročných nákladoch

$$\frac{23,89 - 25,77}{25,77} \cdot 100 = -7,33 \text{ \%}.$$

Ak konečne hodnotu $23,89 \text{ Kčs} \cdot \text{m}^{-2} \cdot \text{rok}^{-1}$ vyniesieme do diagramu na obr. 5 a označíme ju písmenom A , zistujeme, že tieto sú nižšie ako absolutne minimálne celkové merné náklady pri HOSTO, tj. pri $k_{ek} = 0,2096 \text{ W} \cdot \text{m}^{-2} \cdot \text{K}^{-1}$, $d_1 = 19,25 \text{ cm}$, $o = 30\%$. A to práve inštalovaním miestnej regulácie na vykurovacie teleso a tak danou možnosťou hospodárenia tepelnou energiou užívateľom interiéru.

5. DISKUSIA A ZÁVER

HSTO alebo jej k_{ek} pre navrhnutú obvodovú stavebnú konštrukciu bytového interiéru získame algoritmom aj bez uvažovania podielu priečladných stavebných konštrukcií, okien. Podiel okien iba zväčšuje celkové merné ročné náklady, avšak nemení hodnotu k_{ek} .

Výsledky predvedeného príkladu potvrdzujú predpoklad vyslovený v algoritme pre výpočet HSTO, že nie je potrebné dimenzovať teplovýmennú stavebnú konštrukciu bytového interiéru až na čisté finančné optimum (HSTO: $d_{ek} = 19,25 \text{ cm}$ pri $k_{ek} = 0,2096 \text{ W} \cdot \text{m}^{-2} \cdot \text{K}^{-1}$), pretože nepomerne menšou hrúbkou tepelnoizolačnej vrstvy (HOSTO: $d_i = 7 \text{ cm}$ pri $k = 0,5 \text{ W} \cdot \text{m}^{-2} \cdot \text{K}^{-1}$) splňa sa požiadavka IA, tj. prostredie zdravej pohody na jednej strane, a to opodstatne hospodárnym spôsobom, tj. iba o 6,8 % zvýšením celkových merných ročných nákladov, na strane druhej. Pritom požiadavka IA je stále nadradená CH.

Aj zahraničné prieskumy a praktická činnosť v tejto oblasti potvrdzujú, že pri zlepšovaní tepelnoizolačných vlastností nepriehľadných obvodových teplovýmených stavebných konštrukcií nejde sa s hodnotou k pod $0,3 \text{ W} \cdot \text{m}^{-2} \cdot \text{K}^{-1}$.

Z grafu na obr. 4 dá sa zovšeobecnenie dôvodíť, že najväčší podiel z celkových merných ročných nákladov pripadá na tepelnú energiu, najmenší na vykurovaciu techniku, pričom stavebné konštrukcie celkové merné ročné náklady doplňujú ako v poradí druhá, najväčšia zložka z celkových merných ročných nákladov.

Z predchádzajúcich čiastkových záverov plynie, že hodnotou k nepriehľadnej časti teplovýmenných stavebných konštrukcií nie je možné podstatne ovplyvniť celkové merné ročné náklady. Zostáva potom možnosť sníženia celkových merných ročných nákladov práve priehľadnou stavebnou konštrukciou, oknom, a to trojako:

- jeho geometriou tvaru,
- jeho konštrukčnou úpravou, zaistujúcou iba požadovanú hygienicky nutnú výmenu vzduchu interiéru infiltráciou,
- jeho tepelnotechnickou hodnotou k_0 .

V prvom prípade — pri uvažovaní geometrie tvaru — dotýkame sa vlastne kvantitatívneho hospodárskeho ukazovateľa daného v ČSSR vyhláškou [18] ako i normami [1], [2], ktorý je autorom doporučovaný pre novelizáciu hodnotou 22 až $23 \text{ GJ} \cdot \text{rok}^{-1}$ na merný byt 200 m^3 (pri $k = 0,5$, $k_0 = 2,9$, $\alpha = 30 \%$).

V druhom prípade pri opodstatnení zvolených okrajových podmienkach teplotovo-vého a veterného rozdielu tlaku vzduchu v interiéri a v exteriéri, prípadne iba opodstatnenie veľkou otvárávou časťou okna.

V treťom prípade eventuálnym vylepšením tepelnotechnickej hodnoty okna k_0 .

Sú teda ešte reálne možnosti ďalšieho zníženia navrhovaného ukazovateľa potreby tepla na vykurovanie pod 22 až $23 \text{ GJ} \cdot \text{rok}^{-1}$ na merný byt 200 m^3 .

Výpočtom i grafom na obr. 5 sa potvrdzuje, že v súčasných cenových reláciach stúpajú merné náklady pri každom náraste okennej plochy o 10 % o cca 12 až 14 % pre rozmedzie $\alpha = 30$ až 50 % zasklenia. Podľa autora [10] — len na porovnanie — v rokoch 1973 až 1975 činil nárast merných ročných nákladov pri ich zväčšení o každých 10 % iba 9 až 10 %, a to vzhľadom na iné cenové pomery, obzvlášť ale na vtedy platné ceny tepelnej energie.

Ak je interiér splňujúci požiadavky IA a CH, tj. navrhnutý ako HOSTO pri aspoň $k = 0,5 \text{ W} \cdot \text{m}^{-2} \cdot \text{K}^{-1}$, $\alpha = 30 \%$, vybavený miestnou, dolaďujúcou reguláciou na vykurovacom telese, tak táto pri svojej len 12-ročnej životnosti (zhruba teda

6-násobnej výmene regulačnej techniky pri príslušne požadovanej údržbe a opravách vzhľadom na životnosť stavebného objektu 77 rokov) a pri len 10 % šetrení na tepelnej energii, nespôsobí žiadne zvýšenie merných ročných nákladov pre bytový interiér.

Pri uvažovaní až 20 % úspory na tepelnej energii — podľa výrobcu termostatických ventilov — dosiahne sa viac ako 7 % sníženia celkových merných ročných nákladov, bod A na obr. 5.

Konečné úspora tepelnej energie spôsobená inštalovaním a využívaním termostatických ventilov na vykurovacích telesách dokonca znižuje celkové merné ročné náklady pri HOSTO s $k = 0,5 \text{ W} \cdot \text{m}^{-2} \cdot \text{K}^{-1}$ (bod A = 23,89 Kčs. m⁻². rok⁻¹ na obr. 5) aj oproti HSTO s $k_{ek} = 0,2096 \text{ W} \cdot \text{m}^{-2} \cdot \text{K}^{-1}$ ($E_{\min} = 24,13 \text{ Kčs. m}^{-2} \cdot \text{rok}^{-1}$, obr. 5), čím je len znova zdôvodnená HOSTO konštrukcie zaistujúcej prostredie zdravej pohody v bytovom interiéri, teda pri $k = 0,4$ až $0,5 \text{ W} \cdot \text{m}^{-2} \cdot \text{K}^{-1}$.

ZOZNAM POUŽITÝCH ZNAČIEK A VELIČIN

a	— súčinitel teplotovej vodivosti [$\text{m}^2 \cdot \text{s}^{-1}$]	λ	— súčinitel tepelnej vodivosti [$\text{W} \cdot \text{m}^{-1} \cdot \text{K}^{-1}$]
A	— merný investičný náklad stavebnej konštrukcie [Kčs. m ⁻² . m ⁻¹]	τ	— čas [s]
B_1	— merný investičný náklad vykurovacej techniky [Kčs. W ⁻¹]	<i>Indexy označujú, že veličina sa vzťahuje na</i>	
B_2	— merný investičný náklad na miestnu reguláciu vykurovacej techniky [Kčs. W ⁻¹]	e	— exteriérový (vonkajší)
C	— jednotková cena tepla [Kčs. GJ ⁻¹]		— energia tepelná
d	— hrúbka stavebnej konštrukcie [m]	ek	— ekonomický (hospodárny)
	— počet dní vykurovania [deň . rok ⁻¹]	es	— exteriérový stredný
D	— denostupeň [K. deň . rok ⁻¹]	i	— interiérový (vnútorný)
E	— celkový merný ročný náklad [Kčs. m ⁻² . rok ⁻¹]	ip	— izolačná vrstva
I	— investičný náklad [Kčs]	ip	— interiérový povrchový
	— merný investičný náklad [Kčs. m ⁻²]	min	— minimálny
k	— súčinitel prechodu tepla [$\text{W} \cdot \text{m}^{-2} \cdot \text{K}^{-1}$]	o	— obsluha
m	— plôšný podiel obvodovej steny [%]		— okno
n	— životnosť základného fondu [rok]	p	— priemerný
N	— ročný náklad [Kčs. rok ⁻¹]	r	— rozvodné potrubie
	— merný ročný náklad [Kčs. m ⁻² . rok ⁻¹]	re	— regulačná technika
o	— plôšný podiel okna z obvodovej steny [%]	s	— stena obvodová
p_1	— odpisová sadzba [%]	sk	— stavebná konštrukcia
p_2	— priemerná sadzba na opravu [%]		— vzťahuje sa na všetky fyzikálne veličiny stavebnej konštrukcie mimo vrstvy teplenoizolačnej
R	— tepelný odpor [$\text{m}^2 \cdot \text{K} \cdot \text{W}^{-1}$]	<i>Skratene označenia</i>	
t	— teplota [K, °C]	CH	— celospoločenská hospodárnosť
U	— úrok [Kčs. rok ⁻¹]	IA	— interiérový antropocentrismus
V	— prevádzkový náklad [Kčs. rok ⁻¹]	$HSTO$	— hospodárska stavebná tepelná ochrana
z	— sadzba odpisov, údržby a opráv [%]	$HOSTO$	— hospodárne opodstatnená stavebná tepelná ochrana
Z	— likvidačná cena základného fondu [Kčs]	$MSTO$	— minimálna stavebná tepelná ochrana
α	— súčinitel prestupu tepla [$\text{W} \cdot \text{m}^{-2} \cdot \text{K}^{-1}$]	NKS	— nová konštrukčná sústava
Δt	— rozdiel výpočtovej interiérovej a exteriérovej teploty [K, °C]	$SCZT$	— systém centralizovaného zásobovania teplom
ΔE	— podiel celkových merných ročných nákladov [%]	STO	— stavebná tepelná ochrana
ε	— opravný súčinitel [-]	$VŽP$	— vnútorné životné prostredie
η	— účinnosť [-]	$ŽP$	— životné prostredie

LITERATURA

- [1] ČSN 73 0540 — Teplenotechnické lastnosti stavebných konštrukcií a budov. Názvoslovie. Požiadavky a kritéria.
- [2] ČSN 73 0549 — Tepelnotechnické vlastnosti stavebných konštrukcií a budov. Výpočtové metódy.
- [3] ČSN 06 0210 — Výpočet tepelných strát budov pri ústrednom vykurovaní
- [4] Eichler, F.: Bauphysikalische Entwurfslehre, Band 1, Berlin 1970
- [5] Eichler, F., Pohnert, I.: Bauphysikalische Entwurfslehre, Band 1, Berlin 1975
- [6] Holý, M., Říha, J.: Problematika komplexní péče o životní prostředí člověka, Vedecká konferencia o ŽP, Praha 1971
- [7] Jokl, M.: Příspěvek k teorii pracovního prostředí, Pracovné lekárstvo 9, Praha 1977
- [8] Kyzling, V., Šrein, Z.: Hodnocení efektivnosti výrobních investic, Praha 1974
- [9] Pekarovič, J. K.: Ekonomická efektívnosť investícii v projektoch vykurovania a vetrania, Zdravotná technika a vzduchotechnika 4, Praha 1964
- [10] Pekarovič, J. K., Kaclík, J., Miša, J.: Progresívne vykurovanie bytov do roku 2000, Záverečná správa VÚ č.: P-16-521-110-03-03/6, Bratislava 1975
- [11] Pekarovič, J. K., Kaclík, J., Miša, J.: Experimentálne určenie spotreby tepla bodového reprezentanta sústavy BA-NKS, Záverečná správa, Bratislava 1977
- [12] Pekarovič, J. K.: Zabezpečenie optimálneho komfortu v interiéroch obytných budov pri hospodárne opodstatnených nákladoch, DDIZ, Bratislava 1978
- [13] Pekarovič, J. K., Kaclík, J., Miša, J.: Vyimedzenie spotreby tepla a jeho meranie za vykurovacie obdobie 1978/79 v bytovom objekte BA-NKS, Záverečná správa, Bratislava 1979
- [14] Pohnert, I.: Bautechnischer Wärmeschutz, Erläuterungen zur TGL 28 706, Berlin 1976
- [15] Smernice č. 3 FMTIR z 15. 10. 1974: O niektorých opatreniach v investičnej výstavbe ku zhospodáreniu spotreby tepla
- [16] Uznesenie vlády ČSSR č. 287 z 9. 12. 1976: Štátny program racionalizácie spotreby palív a energie na obdobie 6. päťročnice
- [17] Uznesenie vlády č. 1104/63 z 10. 12. 1963: O opatreniach ku odstráneniu závad v tepelných izoláciach na panelovej výstavbe a ku komplexnému riešeniu nedostatkov tepelných izolácií
- [18] Vyhláška č. 76/66 Zb.: O odpisovaní základných prostriedkov

ЭКОНОМНО ОБОСНОВАННАЯ СТРОИТЕЛЬНАЯ ТЕПЛОЗАЩИТА ОТАПЛИВАЕМОГО ЖИЛИЩНОГО ИНТЕРЬЕРА

Доц. Инж. Йозеф К. Пекарович, к. т. н.

Для отапливаемого жилищного интерьера определяются различные сорта строительной теплозащиты из точки зрения антропоцентризма интерьера и экономности. Общие отношения для экономно обоснованной теплозащиты жилищного интерьера присоединенного к системе центрального теплоснабжения применяются на практическом примере интерьера, образованного с помощью многослойных панелей ограждающей конструкции, которые применяются в современности.

ECONOMICALLY WELL-FOUNDED BUILDING THERMAL PROTECTION OF HEATED DWELLING INTERIOR

Doc. Ing. Jozef K. Pekarovič, CSc.

Different kinds of building thermal protection of heated dwelling interior from the standpoint of interior antropocentrism and from the economical standpoint are defined in this article. General relations for economically well-founded building thermal protection of dwelling interior jointed to a central heat supply system are applied to a practical example of an interior created from multilayer exterior panels, which are used in contemporaneity.

PROTECTION DE CONSTRUCTION THERMIQUE FONDÉE ÉCONOMIQUEMENT POUR UN INTÉRIEUR DE LOGEMENT CHAUFFÉ

Doc. Ing. Jozef K. Pekarovič, CSc.

Différentes sortes des protections de construction thermiques sont définies pour un intérieur de logement chauffé au point de vue de l'anthropocentrisme d'intérieur et de l'économie

globale. Les relations générales pour la protection thermique fondée économiquement d'un intérieur de logement raccordé au système de la fourniture de chaleur centralisée sont appliquées sur un exemple pratique d'un intérieur de la construction en panneaux multicouches de pourtour utilisée en même temps.

EKONOMISCH BEGRÜNDERTE BAUWÄRMESCHUTZ EINES BEHEIZTEN WOHNUNGSINTERIEURS

Doc. Ing. Jozef K. Pekarovič, CSc.

Verschiedene Sorten des Bauwärmeschutzes werden für ein beheiztes Wohnungsinterieur vom Gesichtspunkt des Interieursanthropozentismus und der ganzen Wirtschaftlichkeit definiert. Allgemeine Beziehungen für den ekonomisch begründeten Wärmeschutz eines an das Zentralwärmeversorgungssystem angeschlossenen Wohnungsinterieurs werden auf einem praktischen Beispiel eines aus den gleichzeitig verwendeten mehrgeschichtigen Umfassungspaneelen gestalteten Interieurs angewendet.

● Revize normy DIN 24 185: Zkoušení vzduchových filtrů

Pracovní skupina pro vzduchové filtry v Německém ústavu pro normalizaci (DIN) ve spolupráci s Normalizačním výborem ve strojírenství připravila v r. 1978 návrh revidované normy DIN 24 185, který se opírá o normu ASHRAE 52—68 vč. dodatku. Návrh byl předložen technické veřejnosti k přezkoušení a připomínkám.

Nový návrh obsahuje jednotné a srovnatelné zkušební metody pro výhodnocování vzduchových filtrů jakostních tříd A, B a C, tj. o účinnosti pro atmosférický prach až do 98 %, pokyny pro jejich testování a uspořádání zkušebního zařízení. Předností předepsaných metod je reproducovatelnost výsledků měření.

Očekává se, že norma v konečném znění nedozná podstatných změn právě pro své mezinárodní použití opírající se o zmíněnou normu ASHRAE. Při testování filtrů, podle návrhu normy se určují tyto parametry:

- účinnost na atmosférický vzduch,
- účinnost na syntetický prach,
- tlaková ztráta,
- jímavost.

Je zřejmé, že testování se provádí se dvěma druhy prachu — s atmosférickým prachem, tj. prachem, který je v atmosféře v místě měření a se syntetickým prachem, který sestává ze 72 hmotnostních % standardního testovacího prachu, ze 23 hmotnostních % uhelného prachu a z 5 hmotnostních % bavlněných linírků.

Vysoko účinné filtry, tj. s účinností přes 98 % pro atmosférický prach se testují podle jiných metod obsažených v normě DIN 24 184.

● Světlo v dentální praxi

Běžná lékařská praxe používá různých rychle tvrdnoucích materiálů — pro fixaci, na otisky a modely i na konstrukce aj. Ten nový, nazvaný FOTOFIL, je citlivý na viditelné záření — světlo (to vyvolává některé strukturální změny, které se výhodně využívají). Intenzivním osvětlením tohoto materiálu se značně urychlí proces tvrdnutí.

K zajištění tohoto procesu bylo v USA zkonstruováno zvláštní ozařovací zařízení, ve kterém je hlavním prvkem výkonné halogenová žárovka s teplotou chromatičnosti 3300 K. Do zařízení patří dále reflektor s interferenčním povrchem (ten vytváří úzký světelný svazek a současně odfiltrovává UV záření), křemíkový světlovod a několik speciálních filtrů. Popsané zařízení vytváří intenzivní světelnou stopu (skvrnu) o malé ploše, kterou lze vhodně směrovat (zavádět) i do nesnadno přístupných míst: světlo proniká do hmoty Fotofilu a ten rychle tvrdne.

Nový materiál nejde široké uplatnění a jeho základní vlastnost — citlivost na světlo umělých (technických) zdrojů (s určitou teplotou chromatičnosti, tj. zatím zdrojů teplotních) je mimorádně cenná. Lze odvodit, že i později bude světlo udržovat materiál v tuhému stavu (vyslovujeme domněnku na základě kusých údajů Lighting Journal 1979/20).

Obecně je toto další příklad vázání našeho žití na světlo (v oblasti tvarování hmot ve specializovaných oborech).

(LCh)

● Halogenidové výbojky do bytu

ELECTRONIC-HARLAC, výrobek General Electric USA (Building Services 1979/12) bude mít žárovkovou baňku, pro Evropu patice se závitem a napětí 220 V nebo patice bajonetovou a napětí 240 V (pramen VEB Narva Berlin uvádí: USA — 120 V, 60 Hz a 220 V, 50 Hz — Evropa). V patici jsou umístěny předřadníky (stabilizátory proudu a další).

Zdroj je určen, aby nahradil žárovky. Ekonomické zhodnocení:

- anglické prameny uvádějí, že se typ 35 W bude prodávat za 5 liber, že bude mít $5 \times$ delší život a $4 \times$ větší měrný výkon. Při ceně el. energie 2 pence za kWh a ceně zdroje 25 peněz se při 5000 hodinách života ušetří vždy celkem 7,75 liber;
- německé prameny uvádějí cenu 10 dolarů za kus a že průměrná domácnost ušetří 75 kWh el. energie ročně. Kdyby v Evropě byl v každé domácnosti (105 mil. domácností) jen jeden tento zdroj, ušetřilo by se za 4 až 5 let 40 mil. kW el. energie.

Typ 35 W bude mít počáteční světelný tok 2300 lm (65 lm/W), typ 30 W 1300 lm — po 5000 hodinách života poklesne světelný tok o 10 %. Později mají být dány do výroby zrcadlené typy (reflektorové) a typy na přepínání 50 W/100 W a 150 W.

Bylo by škoda, kdyby informace měla být zařazena mezi sny. Tato slova pochybnosti vyvolává jiná zpráva (Electrical Review 1979/1) o tom, že fa. Philips nemá v úmyslu zavést výrobu žárovky s životem 2000 hodin, a to pro „obtížnost pronikání na trh“ a neospravedlnitelnost drobení sérií výrobků (= standardních) pro „tak malou část výrobního programu“. Je nasnadě se domnívat, že zavedení výbojky Electronic-Harlac změní technické, výrobní i ekonomické ukazatele na světových trzích zdrojů.

(LCh)

● Trpasličí halogenové žárovky

Nahradí patrně všechny dosud užívané zdroje v optických přístrojích, v počítačích, v návěstní technice a signalizaci a v neposlední řadě také v různých typech displejů.

S nejmenším (dosud) příkonem je známa 10 W halogenová žárovka. Holandský Philips ohlásil (dle Maschinenmarkt 1977/50) halogenovou žárovku 3 W (průměr 7 nebo 9 mm a délky 23 mm) s nožkou takové konstrukce, že umožňuje středění (fokusaci) žárovky v záření (volný pohyb).

Jiný pramen (opět poměrně starý — Elektro-Technik Würzburg 1978/20) uvádí data o jiných subminiaturních halogenových žá-

rovkách — o průměru 6 mm, s výhodnou přírubovou paticí Midget SX 62 a dobrým výkonem. Nová patice umožňuje použití v miniaturních zásuvkách, usnadňuje montáž a zlepšuje kontaktování. Výkon — při napětí 3,5 V mají příkon 2,5 W. Typové označení: se standardní baňkou GE 2700 a s čočkovým vrchlíkem (reflektorovou baňkou) GE 2701.

(LCh)

● Bytové osvětlení — architektonické

Optimismus evropských pramenů vychází převážně z celkem stabilní obchodní konkurenčnosti. Některé nové technické prvky (Electronic-Harlac, halogenová výbojka = žárovka 35 W 2300 lm) tento optimismus dále orientují a tak se lze domnívat, že vývojové trendy podstatně nezmění ani energetická krize.

To znamená, že zdrojů je asi dostatek ve výběru i množství, podobně svítidel. Do centra problematiky se prosazují psychofyziologické otázky světelného mikroklimatu a světelná architektura. Osvětlení v bytech je považováno za konfrontaci člověka se světlem (z noci lze udělat den!). Světlo — obecně součást kultury a již nepopírány estetický prvek — je dáváno ke zpracování architektům. Ti dnes již osvětlují na vysoké estetické úrovni a přitom technicky správně a také ekonomicky. Přesto se jim upírá schopnost navrhovat útulnost v prostředí — celkovou psychickou a fyzickou pohodu.

I když jde o kvalitativně vysoký stupeň u současného stavu, jsou perspektivy dalšího vývoje známé a mají konkrétní program (Licht 1979/9). Je tedy zaznamenán zřetelný posun od kvantity ke kvalitě.

I jiných pramech (např. australských — IES Lighting Review 1979/2) není pro optimismus místo. To proto, že zdrojů je sice asi i tu dostatek (dovozem — ve výběru i množství), ale svítidla nejsou. Nedostatek kvalifikovaných designérů způsobuje kopírování (a rozšířování myšlenek) původních vzorů pouze s menšími obměnami tvarů (svítidel, zahrnutých v katalogích jiných zemí). Výsledkem zpracovaného rozboru situace je volání po organizované přípravě příslušných odborníků a po popularizaci nejnovějších dobrých způsobů bytového osvětlování vydáváním vlastních (tj. australských) katalogů, prospektů a literatury.

Zpráva je poněkud překvapivá a dokumentuje stagnaci: v bytovém osvětlování byla v Austrálii vydána jedna z prvních a tehdy velmi dobrých norem (standardů).

(LCh)

VYUŽITÍ SLUNEČNÍ ENERGIE V PODMÍNKÁCH ČSSR

ING. DR. JOSEF VLACH, DRSc.

Výzkumný ústav energetický, Praha

*Na základě zkušeností a údajů ze zahraničí z let 1976 až 1979 uvádí autor možnosti využití sluneční energie v ČSSR s ohledem na naši výrobní základnu a celostátní palivoenergetickou bilanci.**

Recenzoval: Doc. Ing. Dr. J. Cihelka

Celková energetická i ekologická situace vede k tomu, že využití sluneční energie je středem širokého zájmu a mnohé průmyslově vyspělé státy věnují na výzkum tohoto problému velké prostředky.

Příkladem mohou být:

USA — v r. 1978 vydaly 402 mil. dolarů, v r. 1979 asi 750 mil. dolarů, z toho 547 mil. z vládního rozpočtu; zhruba ze 36 % jde o věejný úvěr.

NSR — v r. 1979 byly náklady na výzkum 76 mil. DM, na investice 100 až 150 mil. DM.

Francie — r. 1979 vynaložila

	Celkem mil. franků	Z toho na výzkum a vývoj mil. franků
termodynamické pochody	87	72
fotovoltaické přeměny	82	45
sluneční domy	69	28
biomasa	15	15
komisiariát pro sluneční energii	15	—
různé	10	5
Celkem	276	165

Využitím sluneční energie se zabývají nejen oficiální ústavy, výrobci aj., ale i různá malá pracoviště i jednotlivci. Nieméně řízení a usměrňování celého procesu se považuje např. ve Francii za tak důležité, že byl zřízen

zvláštní komisariát pro využití sluneční energie. Jsou zde o něco příznivější podmínky než u nás (1400 kWh/m² rok, NSR — 1000 kWh/m² rok).

Z fyzikálních, technických a ekonomických souvislostí je zřejmé, že využití sluneční energie pro tepelné procesy příznivě ovlivňuje tři okolnosti:

1. Co nejnižší požadovaná teplota ohřívaného média.
2. Maximální možná nezávislost mezi průběhem slunečního svitu a potřebou tepelné energie.
3. Co nejsnazší a nejhospodárnější akumulace získaného тепла.

Je patrné, že tyto požadavky nejsou příznivé pro výrobu elektřiny v parním cyklu, lepší jsou pro vytápění a ještě příznivější pro ohřev užitkové vody. Nejlepšího efektu vůbec lze dosáhnout při nízkoteplotních pochodech, jako je např. ohřev vody pro plavecké bazény, pro zemědělské účely a podobně.

Ohřev užitkové vody je velmi významnou položkou v celkové spotřebě energie v domácnostech i jinde. V našich podmínkách se např. u bytů zásobovaných ze SCZT blíží ke 30 % celkové roční spotřeby energie pro vytápění a přípravu TUV.

Využití sluneční energie přichází v úvahu především v řídké zástavbě. Vezmeme-li v úvahu spotřebu budoucí průměrné, vysoce elektrizované domácnosti se čtyřmi členy v takové oblasti, která se podle rakouských úvah odhaduje na 8300 kWh/rok bez vytápění, přičemž 27 % připadá na TUV a 5 % na přítápení elektřinou, je zřejmé, jakých úspor by se dalo dosáhnout jen ohřevem užitkové vody.

Směry, kterými se ubírá snaha o využití sluneční energie v zemích s obdobnými klimatickými podmínkami, jsou dobré patrné z příkladu NSR v programu EHS.

¹⁾ Předneseno na energetickém čtvrtku 18. 10. 1979

V NSR se odhaduje, že jednotlivé kategorie zařízení dosáhly v r. 1979 těchto počtů:

pro lázně a plovárny	2160
pro ohřev TUV	2239
pro vytápění	292
pro vytápění i TUV	611
Celkem	5302

tj. o 79 % více než v r. 1978.

V NSR je 16 domů, resp. objektů, v nichž se proměňuje zařízení na využití sluneční energie. Nejmenší z nich má 6 m² kolektorů a akumulační nádrž 0,4 m³ v rodinném domku; největší pak 900 m² a 20 m³ akumulátor (domov invalidů pro 450 osob), resp. 1600 m² a 210 m³ (sportovní zařízení). Nejsevernější z těchto objektů je ve Wahlsadtu na 54° s. š.

Ze všech tzv. regenerativních zdrojů se sluneční energii přisuzuje největší význam, neboť celkem ze 126 projektů, podporovaných z veřejných prostředků, připadá na ni 68 případů (43 — tj. 64 % — využití pro tepelné účely, 16 — pro výrobu elektřiny, 10 — ostatních).

Vývojový program EHS v oblasti energetiky obsahuje 6 problémů. Tři z nich se týkají zplynování uhlí, jeden výroby kapalných paliv, jeden geotermální energie (zahrnuje však na 13 projektů), jeden racionalizace spotřeby energie (53 projektů) a jeden sluneční energie.

Problém využití sluneční energie zahrnuje 16 projektů:

1. Odsolování mořské vody (Itálie).
2. Teplo pro výrobu alkoholu.
3. Vytápění a TUV v bytovém komplexu (francouzské Alpy).
4. TUV v živočišné výrobě (Holandsko).
5. TUV pro sprchy (městské lázně v Lüembursku).
6. TUV — středisko pro využití volného času (Dánsko).
7. Vytápění 5 rodinných domků (Anglie).
8. Výroba bioplynu (Itálie).
9. Šíření zemědělských produktů.
10. Malá sluneční čerpadla pro zavlažování (Francie).
11. Získávání tepla a chladu ve vinařství (Itálie).
12. Fotovoltaický generátor 30 kW pro vytápění, chlazení a pohon čerpadel v zemědělském závodě (Itálie).
13. Spalování biomasy ve fluidní vrstvě (Francie).
14. Výroba elektřiny z rychle rostoucích dřevin, spalování biomasy (Irsko).
15. 23 solárních domků se sezonní akumulací (Holandsko).
16. Udržování reaktoričtí teploty v zařízení na bioplyn (Holandsko).

Je proto zajímavé porovnat ještě švýcarské stanovisko z r. 1977 k různým cestám vedoucím k úsporu paliv, v nichž je Švýcarsko prakticky odkázáno na dovoz. Instalování 5 miliónů m² kolektorů by sice ušetřilo nejvíce — 520 000 tun topných olejů za rok, avšak

využadovalo by největší investice — asi 3,5 miliardy švýcarských franků; proto je mezi sedmi možnostmi hodnoceno jako poslední.

Pořadí výhodnosti je:

- snížení vnitřní teploty v bytech z 22 na 20 °C (úspora asi 500 000 tun oleje za rok),
- regulace otopných zařízení u zbývající části obyvatelstva,
- zlepšení tepelné izolace u nových 400 000 bytů v příštích 10 letech,
- dodatečné tepelné izolace starých bytů pro 1 milion obyvatel,
- zvětšení rozsahu elektrického vytápění a výstavba dalších jaderných elektráren,
- využití odpadního tepla z jaderných elektráren k vytápění všech obcí větších než 10 000 obyvatel v okruhu do 60 km.

Sedmé místo, které zaujímá využití sluneční energie podle stavu z r. 1977, je zdůvodněno proměnlivostí slunečního svitu, teplotní závislostí účinnosti kolektorů a cenou kolektorů.

Postavení sluneční energie bude postupně zvýhodněno při růstu cen paliv a energie, který je v souvislosti s rychlým čerpáním snadno těžitelných zásob trvalým a zákonitým jevem.

Druhou možností ke zvýhodnění sluneční energie je zlevnění zařízení. Prostředkem ke zlevnění kolektorů je při jejich současném technickém zdokonalování zavedení hromadné výroby.

Snížení pořizovacích nákladů samotných kolektorů však nestačí, protože jsou jen částí celého zařízení k využití sluneční energie. Je proto třeba sledovat cestu optimalizace celého schématu solárních zařízení a zlevnění jednotlivých jeho částí. Je také důležité, aby byly k dispozici všechny prvky, umožňující vytvářet efektivní solární systémy.

Je také třeba sledovat ještě slibnější cestu — alespoň co do podílu sluneční energie na krytí celkové spotřeby tepla daného objektu — jakou skýtá kombinace slunečních a jiných zařízení. Kombinace s tepelným čerpadlem dává např. možnost

- využití sluneční energie v poměrně dlouhém období během roku,
- snazší a levnější akumulace tepla při nižších tepelných ztrátách,
- dosažení topného faktoru až kolem 5.

Jsou však možné, a v zahraničí již použité, i jiné kombinace. Stojíme tedy před celou řadou úloh a při řešení je důležité, aby problém byl chápán systémově.

Prestože v zahraničí bylo již dosaženo vyšší koncepční a technické úrovně, jsou solární zařízení zatím poměrně nákladná. Jejich rychlejší zavádění bývá podporováno dotacemi.

Náklady na zařízení se 60 m² kolektorů se udávají (podle BWK č. 4/79) na 7350 DM/rok a při kombinaci s tepelnými čerpadly dokonce na 8980 DM/rok, což je více než u zařízení konvenčních.

Souhrnem lze říci, že sluneční zařízení šetří drahá fosilní paliva a odpadají u nich škodlivé emise; ekonomicky se však musí teprve prosadit.

Není také bez zajímavosti, že po stránce rizika vycházejí sluneční zařízení horší než jáderné zdroje, jak udávají některé poslední studie.

Příčina tkví v tom, že jde o velký počet většinou drobných zařízení, tudíž v součtu je větší riziko pracovního úrazu. Tato okolnost nemůže být rozhodující — lze na ni zjednodušeně nazírat jako na úrazy v domácnosti.

Z uvedených skutečností vyplývá také názor na možnosti a úlohu sluneční energie u nás, který lze formulovat takto: Ve větším měřítku lze u nás počítat zatím jen s použitím slunečních zařízení pro tepelné účely, resp. dodávku tepla. Praktické aplikace je třeba zaměřovat především na nízkoteplotní procesy a teprve postupně přecházet k případům, kdy se teplo dodává při vyšší teplotě.

Zpráva FMTIR z 21. 8. 1978 pro komisi vlády ČSSR rozvrhuje aplikaci slunečních zařízení takto:

- do r. 1985 hromadné zavádění ohřevu TUV a vody v bazénoch (očekávaná úspora asi 10 000 tmp/rok),
- do r. 1990 hromadné zavádění slunečních zařízení pro otop rodinných domků s bivalentními systémy a pro sušení; realizace experimentu pro otop v občanské a bytové výstavbě (očekávaná úspora asi 50 000 tmp/rok),
- po r. 1990 rozvoj otopu v občanské a bytové výstavbě a příprava složitějších systémů otopu a slunečních systémů pro technologické procesy (odhad úspor r. 1995 asi 800 000 tmp/rok, r. 2000 — 4 mil. tmp/rok).

I když se úspory zdají být spíše nadhodnoceny (počítá se s průměrným ziskem 650 kWh/m² rok a není zatím vyjasněna výroba potřebných zařízení), je přesto podíl uvedených úspor v konečné spotřebě zatím nepatrny a nemůže v dohledné době řešit problémy naší energetické bilance.

V jednotlivých letech je podíl úspor na předpokládané bilanci tento:

rok 1985 — 0,012 %,
1990 — 0,054 %,
1995 — 0,774 %,
2000 — 3,578 %.

Pro porovnání lze uvést, že v NSR se při zavádění solárních zařízení a jejich kombinace s tepelnými čerpadly v rodinných domech (ročně asi 55 000 zařízení) počítá, že do r. 2000 by mohla dosažena úspora činit 4,1 až 10 % celkové spotřeby energie v domácnostech. To dává rádově stejně úspory jako u nás (vztaženo k celkové bilanci spotřeby).

V období do r. 1990 není tedy úspora energie, dosažená solárními systémy, nejdůležitější stránkou celé věci. Zásadní význam má rozvinutí programu využití sluneční energie v tom, že mohou být shrnutý zahraniční i domácí zkušenosti, vypracovány vhodné koncepty řešení celých systémů, jednotlivých zařízení, zpracována zásadní opatření v projekci a výstavbě budov, vyvinuta a vyráběna potřebná zařízení.

Sluneční zařízení se neobjedou bez součinnosti — at již pasivní nebo aktivní — s jinými systémy zásobování, resp. nositeli energie. Ve vzdálenější perspektivě to může být v podstatě jen kombinace sluneční energie — elektřina. Proto nastal již nyní čas k metodickému usměrňování činnosti v oblasti využívání sluneční energie tak, aby se z hlediska dalšího vývoje vytvářely a rozvíjely tendenze odpovídající našim energetickým podmínkám a poměrům naší elektrizační soustavy a soustav centralizovaného zásobování teplem a optimálnímu začlenění solárních zařízení do našeho energetického hospodářství.

Závěr

Využívání sluneční energie je otázkou dlouhodobou, přičemž již dnes jsou na některých úsečích hospodářství u nás velmi vhodné podmínky k jeho zavedení. Potěšující je i skutečnost, že díky iniciativě jednotlivých pracovníků na různých úsečích se u nás rozvinula technická práce. V nastávajícím období bude nutno měřením porovnávat dosažené výsledky a účinnější koordinací zajistit rychlejší postup realizace než dosud.

Использование солнечной энергии в Чехословакии

Инж. Д-р Йозеф Влах, Д-р наук

На основе опыта и иностранных данных с 1976—1979 г. приводятся возможности использования солнечной энергии в Чехословакии принимая во внимание производственную базу и общегосударственный топливо-энергетический баланс Чехословакии.

Utilization of solar energy in Czechoslovakia

Ing. Dr. Josef Vlach, DrSc.

On the basis of experiences and data from foreign countries from the period 1976—1979 the possibilities of solar energy utilization in Czechoslovakia are discussed with regard to production base and fuel-energy balance of Czechoslovakia.

Utilisation de l'énergie solaire dans les conditions de la République Tchécoslovaque Socialiste

Ing. Dr. Josef Vlach, DrSc.

En vertu des expériences et des données étrangères depuis l'année 1976 jusqu'à l'année 1979, l'auteur décrit les possibilités d'une utilisation de l'énergie solaire dans la République Tchécoslovaque Socialiste en considération de la base de production tchécoslovaque et du bilan énergétique et des combustibles.

Ausnutzung der Sonnenenergie in den Verhältnissen der Tschechoslowakischen Sozialistischen Republik

Ing. Dr. Josef Vlach, DrSc.

Auf Grund der Ergebnisse und Auslandsangaben vom Jahre 1976 bis zum Jahre 1979 beschreibt der Autor die Möglichkeiten einer Ausnutzung der Sonnenenergie in der Tschechoslowakischen Sozialistischen Republik mit Rücksicht auf die tschechoslowakische Produktionsbasis und Brennstoff- und Energiebilanz.

● Bezpečnostní osvětlení

Bezpečnostní osvětlení je řešitelné soustavou poněkud komplikovanou (ale má velký společenský význam): je samozřejmě energeticky náročné a přitom přímá užitnost je poměrně malá.

Rada KS států (zvláště Anglie a NSR) věnuje bezpečnostnímu osvětlení velkou pozornost; na základě statistického vyhodnocení se jeho použití plně vyplatí a instalace se zaplatí ve velmi krátké době.

Vedle samostatných soustav se při bezpečnostním osvětlení používá konstrukčně speciálních svítidel a často i zdrojů (těch co možno úsporných). Proto byla také zkonstruována 18 W nízkotlaká sodíková výbojka Mini-SOX (ILR 1978/6). Z řady o příkonech 18, 35, 55, 90, 135 a 180 W první, výkonem nejnižší, 18 W výbojka má světelný tok jako 150 W klasická žárovka, ovšem spektrum monochromatické, tj. světlo žluté nebo žlutooranžové barvy (jak přísluší parám sodíku).

Tato výbojka je považována za ideální zdroj pro bezpečnostní osvětlení menšího rozsahu (tj. např. pro bezpečnostní pás nebo nižší prostory apod., venkovní plochy by si vyžadovaly množství stožárů nebo komplikované závěsy). Zdroj nepřítahuje hmyz (nešpiní se), má velkou účinnost, dlouhý život a po kratším přerušení dodávky el. energie se okamžitě zapálí.

Bezpečnostní osvětlení — v jedné podobě jako prostředek ochrany proti poškozování a zcizování hospodářských hodnot a v druhé (která však zde není míněna) pro orientaci a bezpečný pohyb — bylo dosud převážně na okraji významu mezi osvětlovacími soustavami a bylo zavedeno jen v tom druhém významu. Dnes pronikl do popředí prvý a s ním stoupal zájem o technické provedení. V období energetických úspor nebyla tato soustava významově odsunuta, ale zůstala vpředu společenského a vývojově technického zařazení.

(LCh)

● Stavět biologicky (i svítit)

Soudobé způsoby výstavby (z hlediska využívání stavebních hmot) se značnou měrou podílejí na civilizačních chorobách (Ústav pro stavební biologii, Rosenheim NSR — Architektur und Wohnwelt 1979/2).

Již sama skutečnost, že stavebnictví je největším odběratelem výrobků chemického průmyslu a že zaměření chemikáliemi je pro lidstvo větším nebezpečím než mírové využití jaderné energie (tvrzení vyplývá z materiálu ministerstva vnitra NSR), by mělo stačit k pochopení, proč zasvěcení odborníci již velmi hlasitě hovoří o „časované bombě“ v bytové výstavbě. Poněvadž potrvá ještě 20 nebo i 30 let, než se dlouhodobé působení jedovatých složek barviv, laku, impregnačních látek, lepidel a pojiv, izolačních hmot, obkladů stěn, koberců, nábytku atd. na zdraví lidí projeví plně a zcela prokazatelně, dojde mezi tím již k velkým škodám a postiženy budou předešlím nové generace. Zároveň má dojít k velkým národnohospodářským ztrátám, jejichž přičinky potvrdí nynější jednostranný technicko ekonomický pokrok jako chybny i jako krok zpět (zatím se tak jeví DDT a některá pojiva při prefabrikaci).

Podobně do vývoje zasáhnou i elektrická a magnetická pole, nedostatek přírodní vlhkosti v současných bytech, nedostatečnost větrání, elektrostatické náboje, UV záření (jeho nedostatek v umělém světelném prostředí) a nadbytek konzumace umělého světla se všemi psychologickými důsledky podobně jako u velkých obytných celků (koncentrace lidí) a u bytových jednotek ve vysokých podlažích. Další negativní účinky se postupně objevují.

Světlo je tedy v seznamu nepříznivě působících „hmot“. Současně je v popředí zájmu v energetických úsporách. Nasnadě je pak otázka, zda nepodníknout něco pro vyrovnání obou ve shodě s potřebami přicházejících generací.

(LCh)

● Nový typ těsnící pásky

Firma RAYCHEM, USA nabízí nový druh objímkové těsnící pásky na spoje vzdutcho-technického potrubí pro středotlaké a vysokotlaké systémy. Páska je potažena adhezivní látkou tavitevnou teplem. Po ohřátí pásky se tato současně smrští, čímž se adhezivní povlak zatlačí do všech škvír a nerovností a dokonale spoj zatěsní. Páska je možno použít pro všechny profily potrubí od kruhového po hranaté, popřípadě na jiné součásti, kde je třeba těsnit obvod. Materiál pásky odolává rozpustidlům, chvění a není toxiccký.

ASHRAE J. 5/79

(Ku)

TROJCESTNÁ SMĚSOVACÍ ARMATURA ZJEDNODUŠENÉ KONSTRUKCE

ING. KAREL BROŽ, CSc.

ČVUT, fakulta strojní, Praha

Trojcestné regulační armatury, potřebné pro hydraulické okruhy vodních otopných soustav a klimatizačních zařízení, se používají zpravidla asi ve dvou třetinách případů jako směšovací, a to v provedení jako ventily s poměrně velkými průtočnými odpory. Konstrukce směšovacích armatur, popsaná v článku a postoupená do patentového řízení, je odvozena od směšovacích ejektorů a je energeticky znatelně výhodnější, neboť její průtočné odpory jsou podstatně menší – téměř pouze asi třetinové než u trojcestných ventilů.

Recenzoval: Doc. Ing. Dr. J. Mikula, CSc.

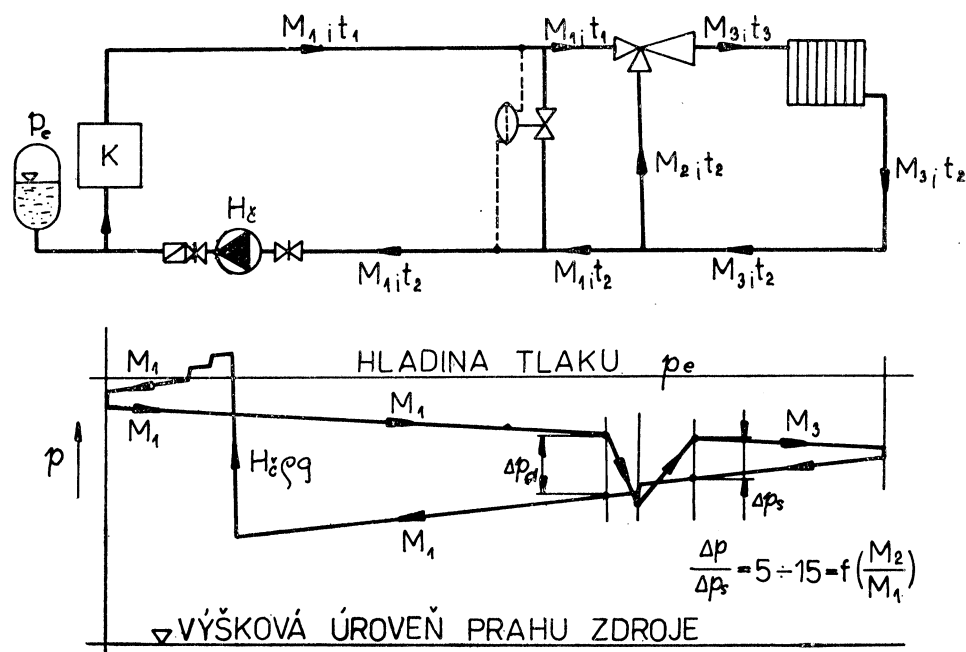
V hydraulických okruzích vytápění a klimatizace se dnes nelze často obejít bez trojcestných regulačních armatur. Velmi žádaným

prvkem jsou trojcestné regulační ventily, které se v ČSSR v současné době nevyrábějí a celkové požadavky na jejich dovoz zdaleka nejsou devizově kryty. Trojcestné regulační armatury mohou mít funkci směšovací nebo rozdělovací. Na žádané funkci armatury záleží její vnitřní uspořádání a průtočné charakteristiky. Vezmeme-li v úvahu všechny požadavky na trojcestné ventily, pak se nejméně ve dvou třetinách případu požaduje funkce směšovací.

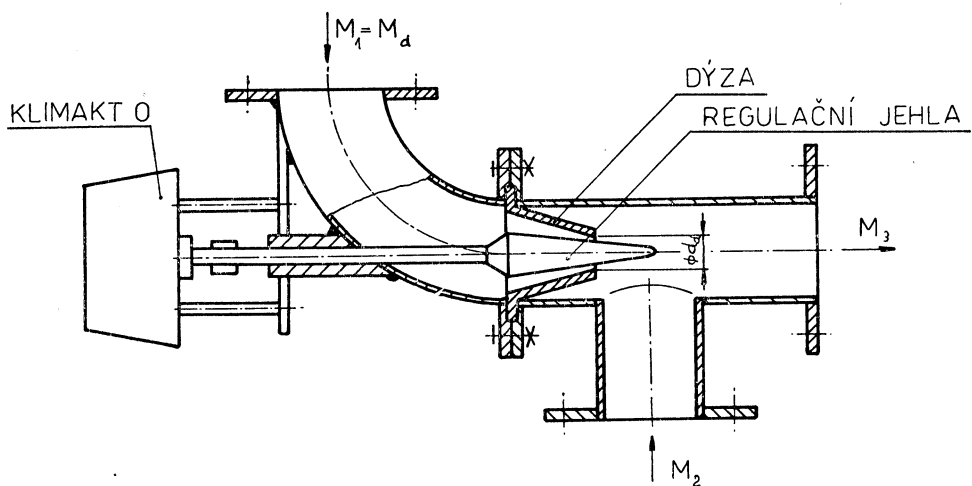
Vývoj regulovatelných ejektorů v ČSSR [1], [2] směřoval k částečné nahradě trojcestných směšovacích ventilů. Regulovatelný ejektor je schopen nahradit tři prvky v topných a v chladicích okruzích (obr. 1), a to:

- výměník tepla,
- trojcestný směšovací ventil,
- oběhové čerpadlo.

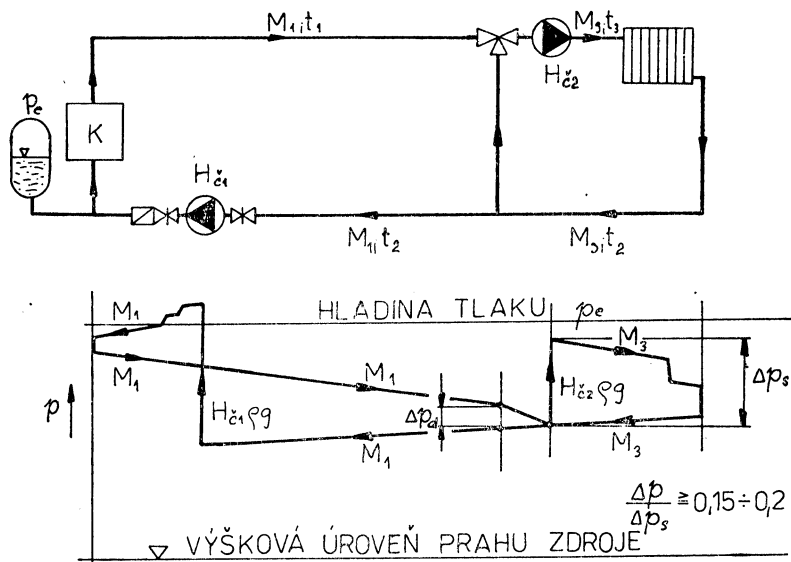
Je zřejmé, že je tato mnohostranná funkce vyvážena jistými omezeními, pro která nelze



Obr. 1. Schéma připojení okruhu pomocí směšovacího ejektoru s přímočinným regulátorem tlakové diference RTD



Obr. 2. Schematický náčrt zjednodušené směšovací armatury



Obr. 3. Schéma připojení okruhu pomocí zjednodušené směšovací armatury a čerpadla

regulovatelné ejektoru použít univerzálně. Především je nutné mít k dispozici dostatečnou rozměrovou paletu dýz a těles ejektorů. Dále je třeba se u otopních soustav vypořádat s účinkem gravitačního vztlaku při změnách průtočného množství [3]. Zkušenosti a poznatky uvedené v [3] přišly až po některých nepříznivých zkušnostech, které byly získány (kromě příznivých) na sídlišti Praha Severní Město. Výroba regulovatelných ejektorů byla zastavena a oborové normy

— ON 13 2876 — Ejektorové předávací stanice tepelných sítí,

— ON 13 2877 — Regulovatelné ejektoru. Technické dodací podmínky,

— ON 13 2878 — Regulovatelné ejektoru Jt 16 byly zrušeny. V příštím roce však n. p. Sigma předpokládá obnovení vývoje regulovatelných ejektorů ve spolupráci s ČVUT.

Protože použití ejektorů je energeticky výhodné hlavně v takových částech rozvodu, kde jsou na přípojkách přebytky tlakové diference, bylo nutné v některých případech (vysoké nebo příliš dlouhé objekty, objekty s malou tlakovou diferencí na přípoje) vřadit za ejektor posilovací oběhové čerpadlo. To zaručilo jednak přibližně konstantní průtok soustavou, jednak v otopních soustavách do jisté míry vyrovnaло vliv gravitačního vztlaku.

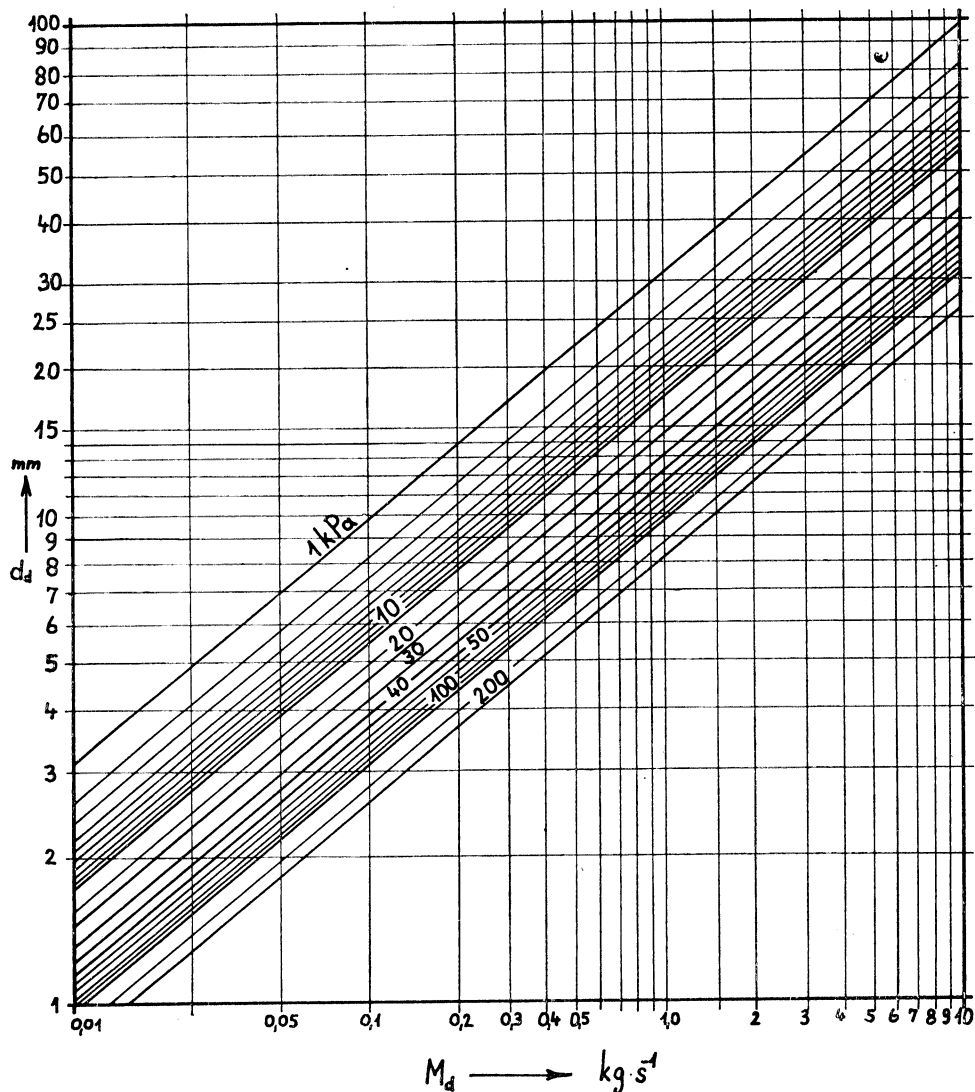
Z těchto okolností vzešel návrh trojcestné

armatury s téměř bezodporovým průtokem smíšeného proudu (obr. 2). Hodí se všude tam, kde by již za směšovací ejektor bylo nutno rádit oběhové čerpadlo, popřípadě nahradí trojcestný směšovací ventil, záda-li se průtok smíšeného proudu konstantní. Výhodou je jednak malý odpor při průtoku cirkulujícího množství M_3 , jednak se vystačí s malým tlakovým rozdílem na připojce, jež může být celý spotřebován v dýze. Jde tedy vlastně o regulovatelnou dýzu převzatou z ejektoru, která je vsazena do T-kusu. Tento jednoduchý návrh byl postoupen do patentového řízení.

Navržená armatura má ve srovnání s trojcestným regulačním ventilem (směšovačím) především energetické výhody, a to

jak jednodušší výrobou a menší spotřebou materiálu (svařované provedení), tak menšími provozními náklady. Zatímco se pro trojcestný směšovací ventil požadoval tlakový rozdíl na ventilu alespoň 40 až 60 % tlakové ztráty Δp_s samotného okruhu bez ventilu, tlakový rozdíl spotřebovaný na dýze Δp_d může být jen 15 až 20 % tlakové ztráty okruhu Δp_s (obr. 3). Při hromadnějším použití lze tedy dosáhnout velkých ročních úspor energie na provozních nákladech.

Návrh této armatury je velmi jednoduchý. Připojovací rozměry jsou dány průměry navazuječích potrubí. Výstupní průměr dýzy d_d se určí z největšího množství vody $M_d = M_1$ protékajícího dýzou při zvoleném nebo poža-



Obr. 4. Závislost výstupního průměru dýzy d_d na tlakové ztrátě dýzy Δp_d a průtočném množství vody $M_d = M_1$ (platí pro $\varphi = 0,95$ a $\rho = 1000 \text{ kg/m}^3$).

dovaném tlakovém rozdílu Δp_d na dýze. Kdyby se celý tento rozdíl přeměnil na kinetickou energii bez ztrát, činila by výstupní rychlosť z dýzy

$$w_t = \sqrt{\frac{2 \Delta p_d}{\rho}} \quad [\text{m/s}] \quad (1)$$

Skutečná rychlosť však bude vlivem vnitřního tření v kapalině nižší

$$w_d = \varphi w_t = \varphi \sqrt{\frac{2 \Delta p_d}{\rho}} \quad [\text{m/s}] \quad (2)$$

kde $\varphi \doteq 0,95$ při plně otevřené dýze pro vodu.

Dosadí-li se do vztahu (2) za rychlosť w_d obecná hodnota z rovnice kontinuity pomocí průtočného množství M_d a průřezu dýzy, lze snadno určit výstupní průměr plně otevřené dýzy:

$$d_d = \sqrt[4]{\frac{8 M_d^2}{\varphi^2 \pi^2 \rho \Delta p_d}} \quad [\text{m}] \quad (3)$$

Ve vztahu (3) je M_d v kg/s, ρ v kg/m³ a Δp_d v Pa.

Pro rychlejší počítání je možné výstupní průměr dýzy d_d (nebo při voleném průměru tlakovou ztrátu na dýze Δp_d) určit z nomogramu na obr. 4.

Budou-li v příštím roce v ČSSR obnoveny práce na novém vypracování norem pro regulovatelné ejektory, bude v této fázi zařazena také norma na směšovací armaturu navrženého typu jednak z důvodu unifikace dílců (společný servopohon a řada průměrů dýz jako u ejektorů), jednak pro úsporu materiálu a pracnosti při výrobě a pro úsporu čerpací práce při provozu proti směšovacím ventilům. Spotřeba čerpací práce je tu asi třikrát nižší než u směšovacích ventilů v přímém směru a desetkrát nižší ve směru obtoku. Uspoří se devizové prostředky a nabízí se možnost zkrátit dodací lhůty.

LITERATURA

- [1] Brož, K.: Regulovatelné ejektory. ZTV č. 3, 1973
- [2] Brož, K.: Vývoj regulovatelných ejektorů v ČSSR. Sborník 9. národní konference o vytápění, Hradec Králové 1978
- [3] Brož, K.: Metody a prostředky regulace dodávky tepla ve vytápění—tlakově závislá připojení. Etapová zpráva výzkumného úkolu P 19-123-218. Praha 1977

Трехходовая смесительная арматура упрощенной конструкции

Инж. Карел Броž, к. т. н.

Трехходовые регулировочные арматуры, необходимые для гидравлических схем систем водяного отопления и оборудования для кондиционирования воздуха, используются обычно приблизительно в двух третях случаев как смесительные арматуры в виде вентилов с относительно высокими проточными сопротивлениями.

Конструкция смесительной арматуры, которая описывается в статье и которая была передана к запатентованию, была выведена из смесительных эжекторов и эта конструкция более выгодна по сравнению с трехходовыми вентилями, потому что проточные сопротивления значительно меньше — это приблизительно одна треть.

Three-way mixing fittings of simplified construction

Ing. Karel Brož, CSc.

Three-way control fittings, necessary for hydraulic circuits of hot water heating systems and air conditioning equipments, are applied as a rule in two of thirds of the cases as mixing ones and like as valves with relatively high flow resistances. Construction of mixing fittings which is described in this article and which is patented, too, is derived from construction of mixing ejectors and concerning energy this construction is apparently preferable to three-way fittings, because flow resistances of mixing fittings are about two thirds lower.

Armature de mélange à trois voies d'une construction simplifiée

Ing. Karel Brož, CSc.

Les armatures de réglage à trois voies nécessaires pour les circuits hydrauliques des systèmes de chauffage à l'eau chaude et des installations de conditionnement d'air sont utilisées comme les armatures de mélange environ dans deux tiers des cas en règle générale et c'est-à-dire dans une formation comme les valves avec les grandes résistances de débit proportionnellement. La construction des armatures de mélange décrite dans l'article présenté et transmise à la procédure du brevet d'invention est déduite des éjecteurs de mélange et est plus avantageuse sensiblement au point de vue énergétique car ses résistances de débit sont plus petites essentiellement; elles obtiennent environ un tiers seulement en comparaison des valves à trois voies.

Vereinfachte Konstruktion der Dreiwegemischarmatur

Ing. Karel Brož, CSc.

Die für hydraulische Kreisläufe der Warmwasserheizsysteme und Klimaanlagen notwendigen Dreiwegeregelarmaturen werden in der Regel in zwei Drittel von Fällen als die Mischarmaturen und nämlich in einer Ausführung als die Ventile mit proportional grossen Durchflusswiderständen verwendet. Die im Artikel beschriebene und zum Patentverfahren abgetretene Konstruktion der Mischarmaturen ist von den Mischejektoren abgeleitet und ist vom energetischen Gesichtspunkt kenntlich günstiger, weil ihre Durchflusswiderstände wesentlich kleiner sind; sie betragen nur etwa ein Drittel im Vergleich mit den Dreiwegeventilen.

PALÁC KULTURY ČSSR V PRAZE — DISPOZIČNÍ A FUNKČNÍ ŘEŠENÍ ENERGOBLOKU

ING. JAROMÍR BOROVEC †,
JINDŘICH SEDLÁČEK, ING. JAROMÍR ŠIŠMA, ING. BŘETISLAV ŠILER
VPÚ, Praha

V článku je stručně popsáno energocentrum v Paláci kultury ČSSR, budované právě v Praze, v němž jsou umístěny zdroje tepla a chladu palivo-vého hospodářství, stanice úpravy vody a náhradní zdroje elektřiny. Popis je doplněn schématy této části a schématem celkového uspořádání energocentra v suterénu budovy.

Recenzoval: Doc. Ing. Dr. J. Mikula, CSc.

Ing. Jaromír Borovec zemřel

Ing. Jaromír Borovec se narodil 20. 5. 1930 v Syrovátcích u Hradce Králové. Po absolvování reálného gymnázia v Hradci navštěvoval abiturienský kurs zdravotní a tepelné techniky a v roce 1959 obhájil diplomovou ptáci na strojní fakultě ČVUT ve specializaci energetika.

Po krátkém zaměstnání u Instalačních závodů Gottwaldov nastoupil do Vojenského projektového ústavu — Praha, kde pracoval až do svého náhlého úmrtí 12. 4. 1980. Byl zakládajícím členem ČSVTS a hlavním specialistou ústavu pro obor vytápění. Podílel se na zpracování celé řady významných projektů a v posledních letech se plně věnoval projektu a realizaci Paláce kultury v Praze jako hlavní koordinátor technického vybavení budovy. Jeho náhlým odchodem ztrácejme odborníka, který se plně věnoval rozvoji oboru vytápění a konkrétními pracemi přispěl k jeho dobré úrovni.

Redakční rada

1. Energoblok a rozvody

Nároky na zdroje energií v objektu Paláce kultury jsou mimořádně velké a navíc všechny energie musí být v objektu vyrobeny. Vyzádalo si to soustředění těchto provozních souborů do jediného centra — energobloku, situovaného v 2. P. P. Jsou zde umístěny:

- Zdroj chladu o výkonu 6,9 MW,
- Zdroj tepla o výkonu 23,3 MW,
- Palivo-vé hospodářství pro kotelnu a náhradní zdroj elektrické energie o kapacitě 200 m³,
- Stanice úpravy vody o výkonu 25 + 6 m³/h,

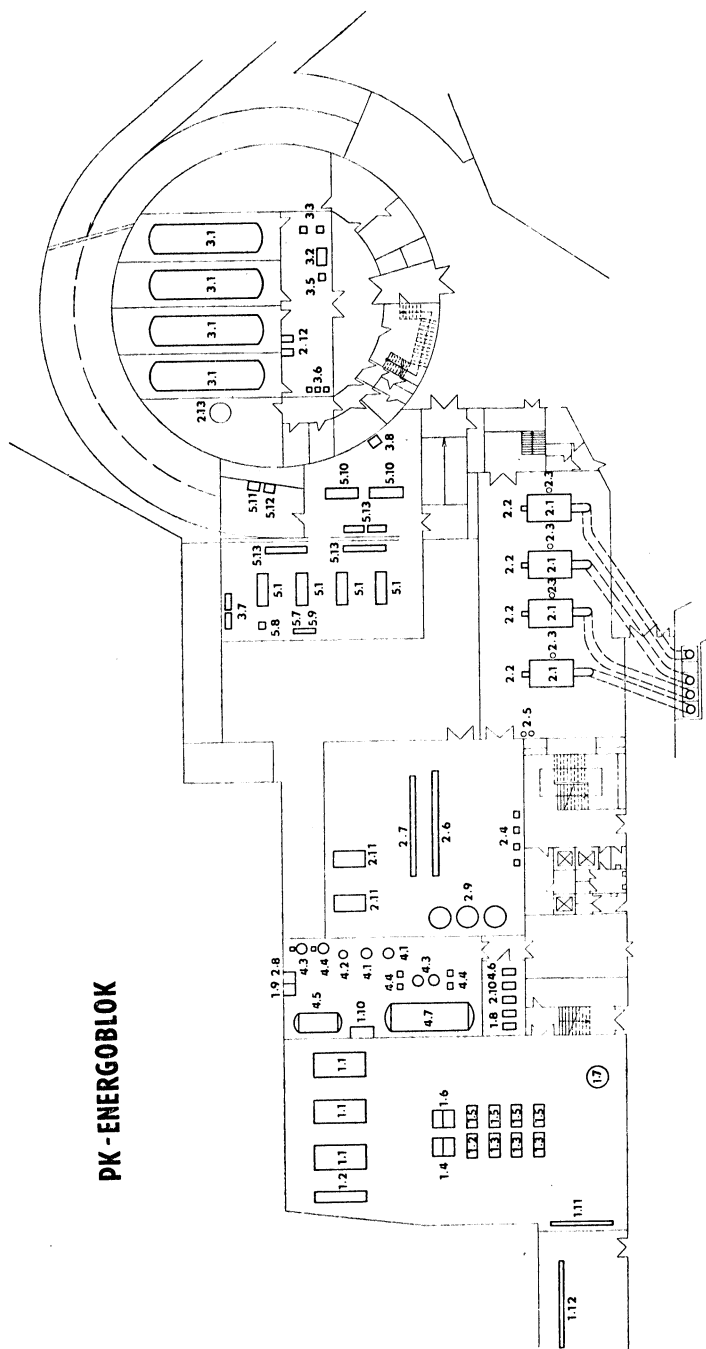
— Náhradní zdroj elektrické energie 1440 + + 200 kVA.

Bezprostředně na energoblok navazuje ještě inženýrský dispečink, spínací stanice elektrické energie a přípojka zemního plynu. Dispoziční řešení je patrné z obr. 1.

Rozvody energií jsou řešeny v průchozích kanálech kolektorového typu v 3. PP. Samostatně jsou vedeny:

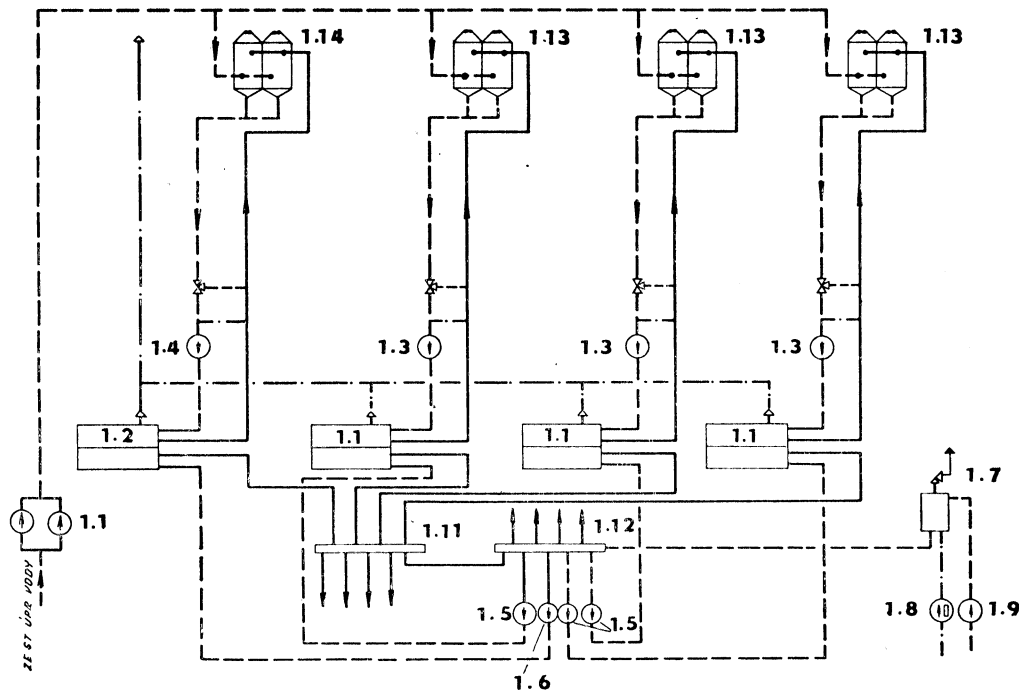
- rozvody silnoproudé,
- rozvody slaboproudé,
- rozvody tepla a chladu pro potřeby vzdutotechniky. Zde jsou umístěny i rozvody pro vytápění a temperování objektu, roz-

PK - ENERGOBIK



Obr. 1. Dispoziční řešení energobloku a legendy

1. ZDROJ CHLADU



Obr. 2. Základní funkční schéma zdroje chladu

vody teplé vody užitkové a další rozvody studené vody.

2. Zdroj chladu

Z počtu a výkonového dimenzování soustav vysokotlaké a nízkotlaké klimatizace v objektu Paláce kultury byl stanoven i potřebný požadavek na dodávku chladu, tj. počet jednotek, jejich výkon a parametry.

Strojovna chlazení je umístěna jako součást energobloku mezi stanicí úpravy vody a strojovnou vzduchotechniky VS 1.

Parametry zdroje chladu

základní jednotky (3 ks)	2,1 MW
jednotka pro přechodné období (1 ks)	0,5 MW
celkový výkon	6,8 MW
teplotní spád vody	12/6 °C
instalovaný elektrický výkon	2043 kW
spotřeba doplňovací vody min.	7 m ³ /h
norm.	15 m ³ /h
max.	25 m ³ /h

chladiční věže (4 ks)
hlučnost v strojovně při 1000 Hz asi 98 dB (A)
hlučnost chl. věže Baltimore asi 77 dB (A)

Distribuce chladu je z rozdělovače vody 6 °C čerpadly na jednotlivé rozdělovače chladu ve strojovnách vzduchotechniky. Potrubí je vedeno průchozím kanálem. Z rozdělovačů

jsou připojeny hlavní spotřebiče — chladiče sestavených ležatých klimatizačních jednotek ve strojovnách vzduchotechniky.

Blokové jednotky jsou chlazeny vodou prostřednictvím chladičích věží, umístěných na střeše objektu. Vodní oběh vlastními čerpadly ve strojovně chlazení, doplňování chlazené i chladič vody ze stanice úpravy vody.

Použité strojní zařízení

Blokové jednotky typ Chrysler C2 LM 669 —
2/555 kW (3 ks)
Chrysler C2 WY 158 —
2/174 kW (1 ks)

Chladič věže typ Baltimore E 430-C (3 ks)
Baltimore E 110-C (1 ks)

Oběhová čerpadla typ Etanorm

Dodává rakouská fa ÖKG.

Výším dodavatelem je n. p. Janka.

Základní funkční schéma uvádí obr. 2.

3. Zdroj tepla

Studijní materiály zpracované k tomuto úkolu požadovaly připojení Paláce kultury na dálkový zdroj tepla a jako topné primární médium požadovaly středotlakovou páru o tlaku min. 0,4 MPa. Tyto požadavky měla krýt po rozšíření a rekonstrukci na kapalná paliva teplárna Michle. Požadavky nemohly být splněny pro nedostatek kapalných paliv a sta-

vobních kapacit, které by si rekonstrukce vyžádala. Nebyla přijata ani další varianta, která předpokládala samostatnou kotelnu postavenou východně v prostoru Jedličkova ústavu, pro narušení historických objektů Vyšehradských hradeb. Nezbylo tedy jiné řešení, než umístit zdroj tepla přímo v objektu Paláce kultury s nízkotlakovou teplovodní soustavou. Byla začleněna do tzv. energobloku v 2. podzemním podlaží objektu. Palivem je zemní plyn, při eventuální havárii na plynovodu v ČSSR nebo mimo hranice našeho státu, se jako havarijního paliva předpokládá užití topné nafty.

Použit byl kotel Buderus OMNIMAT 11 PG 500, jmenovitý výkon 5,8 MW, tlak 0,8 MPa, přetížitelnost krátkodobá 6,4 MW, teplotní spád 110/70 °C. V kotelné jsou osazeny 4 stejné jednotky. Celkový výkon kotelny 23,2 MW, krátkodobě přetížitelný výkon 25,5 MW. Účinnost kotle v závislosti na výkonu je mimorádně příznivá a při 40 až 100 % výkonu kolísá v rozsahu 87 až 88 %.

Kombinace paliva zemní plyn — nafta vedla k užití kombinovaných hořáků s požadavkem na automatické kaskádovací spinání. Vybrán byl monoblokový hořák fy Weishaupt typ UGL 4 — 2/2-B-100, který má plynulou regulaci v rozsahu 20 až 100 % výkonu.

Odvod spalin z každého kotle je samostatný vlastním kouřovodem a komínem Ø 800 mm z keramických vložek a nosných bloků podle licence fy Schiedel vyrobené Poštorenskými keramickými závody. Kouřovod i komín je plynотěsný, odolný vůči vysokým teplotám a chemickým vlivům.

Ohřev teplé užitkové vody se provádí ve dvou rychloohřívacích fy Buderus, řešených ve dvojicích nad sebou, skříňovitě opláštěných. Topná vložka 18,2 m² je chráněna proti korozi tepelnou glazurou a ohříváč je opatřen katodovou ochranou. Má vlastní oběhové čerpadlo s míchací armaturou k řízení výstupní teploty.

Teplovodní soustava má tyto parametry:

teplota vody	110/70 °C
statický tlak	0,435 MPa
max. tlak, otevírací tlak pojisto-vacích ventilů	0,68 MPa

Pojištění soustavy je třemi tlakovými expanzními nádobami, umístěnými ve strojovně s rozdělovači, čerpadly, kompresory atd.

V celkové tepelné bilanci představuje:

klimatizace a vzduchotechnika	90 %
vytápění a temperování	5 %
příprava teplé vody	5 %

Distribuce tepla je prováděna soustavami s čerpadly, umístěnými za sebou z hlavního rozdělovače ve strojovně kotelny, na rozdělovače v jednotlivých strojovnách vzduchotechniky. Z nich jsou pak samostatně napojeny hlavní spotřebiče — ohříváky ležatých sestavných vzduchotechnických jednotek. Základní schéma v kotelné uvádí obr. 3.

Finálním dodavatelem tohoto provozního souboru je Sigma k. d. p.

4. Palivové hospodářství

Provozní soubor palivového hospodářství zajišťuje stáčení a uložitě nafty k dvěma účelům:

- jako palivo pro náhradní zdroj elektrické energie, pro stroje základní i pro soustrojí No-break.
- jako havarijní palivo pro krátkodobý provoz kotelny v případě výpadku zemního plynu, který je základním palivem pro výrobu tepla v objektu.

Vyšším dodavatelem provozního souboru je n. p. Adast, montáž provozního souboru je již dokončena.

Distribuci paliva bude zajišťovat n. p. Benzinia autocisternou s vlekkem, řešení a vybavení stáčecích míst odpovídá běžným technickým podmírkám tohoto podniku. Ve strojovně jsou osazeny vlastní stáčecí čerpadla, filtry a měříce množství stáčené nafty. Nafta se skladuje ve čtyřech ležatých nádržích o obsahu 50 m³, umístěných z požárních důvodů v samostatných dispozičních kójích. Pod nádržemi je prostor havarijní jímky. Strojovna je dále vybavena podávacími čerpadly k dopravě nafty do prostoru náhradního zdroje elektrické energie a k hořákům kotlů.

Dispozičné je zařízení umístěno v 2. podzemním podlaží bezprostředně v návaznosti na strojovnu náhradního zdroje elektrické energie a na kotelnu.

Základní funkční schéma tohoto provozního souboru je na obr. 4.

5. Stanice úpravy vody

Technologické zařízení stanice úpravy vody zajišťuje úpravu vody pro napouštění a doplňování teplovodního systému, doplňování a napouštění chladicí soustavy klimatizace a upravenou vodou doplňuje ztrátu vody, ke které dochází na chladicích věžích.

Potřebný průtok pro teplovodní i chladicí soustavu:

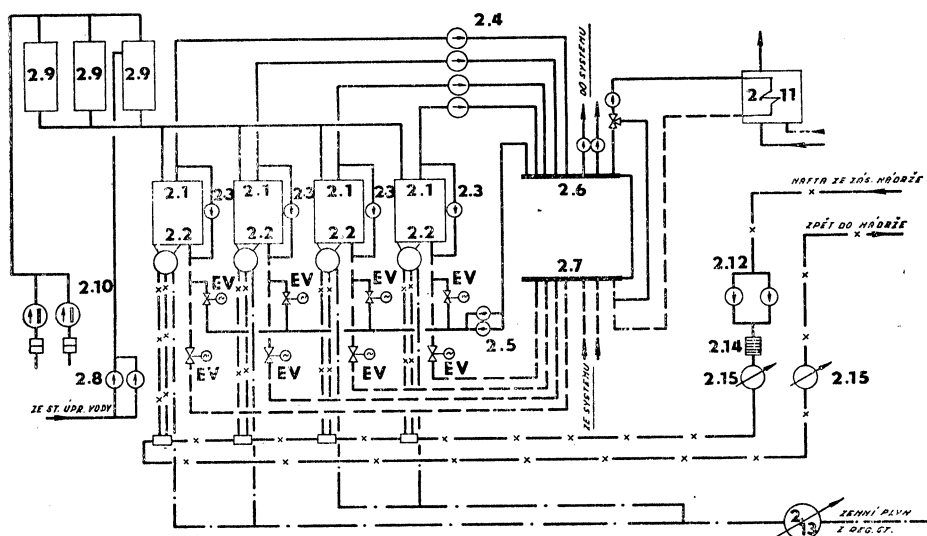
min.	0,5 m ³ /h
norm.	1,5 m ³ /h
max.	3,0 m ³ /h
napouštění	6,0 m ³ /h

Užita je pražská voda, zdrojem surové vody je Želivka. Požadavky na kvalitu vody pro teplovodní a chladicí systém:

pH	9 ± 10
tvrdost max.	0,5 °N
přebytek Na ₂ SO ₃	10—25 mg/l
obsah P ₂ O ₅ max.	10—25 mg/l
zjedvná zásaditost p	0,5—2 mval/l

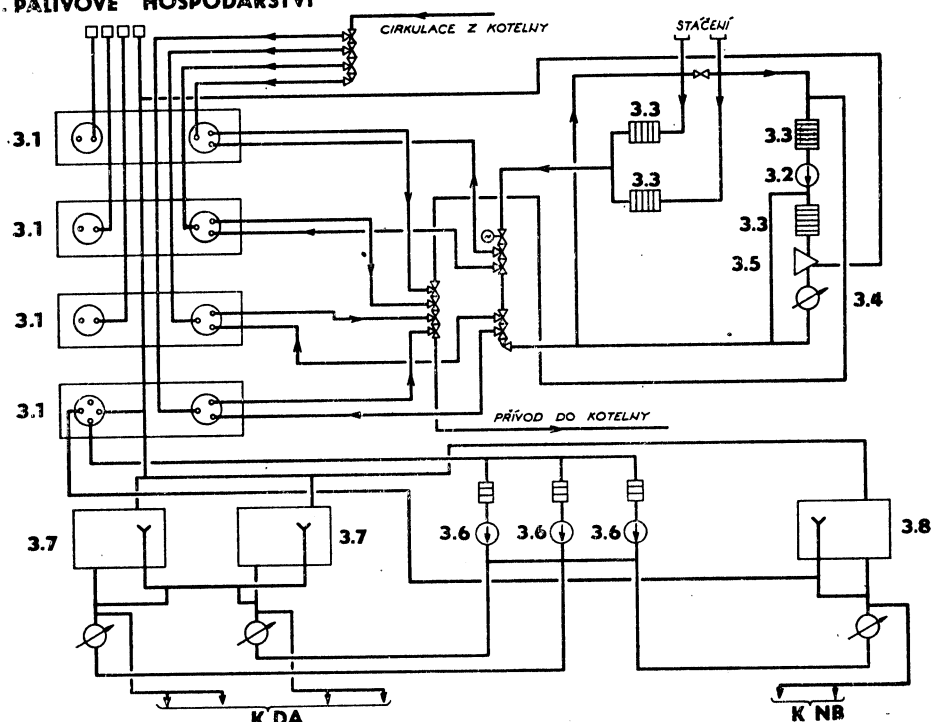
Technologie úpravy vody bude formou změkčování katemex. Do změkčené vody budou dávkovány roztoky NaOH + Na₃PO₄ pro alkalizaci a roztok Na₂SO₃ pro chemické odstranění rozpuštěného kyslíku. Upravená voda se shromažduje v zásobní nádrži.

2. ZÁSOBOVÁNÍ TEPLEM



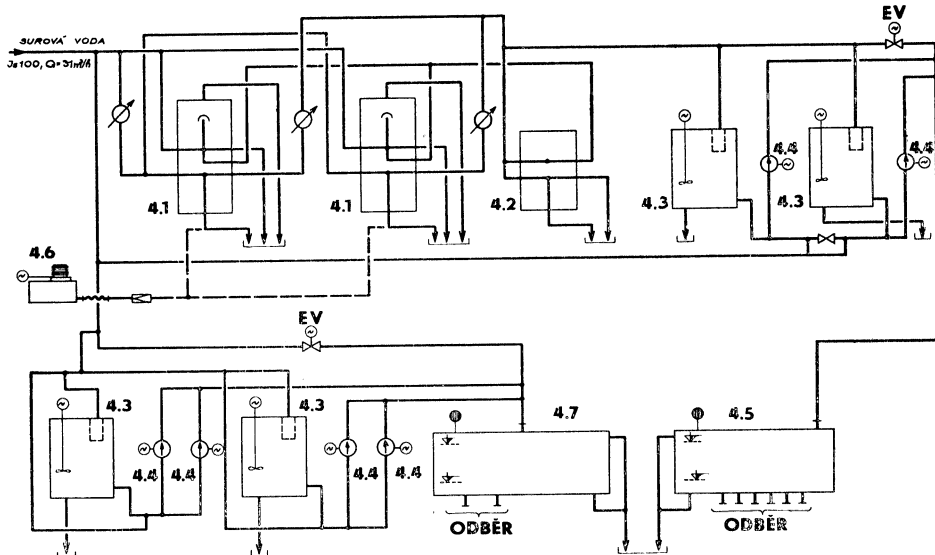
Obr. 3. Základní funkční schéma kotelny

3. PALIVOVÉ HOSPODÁŘSTVÍ



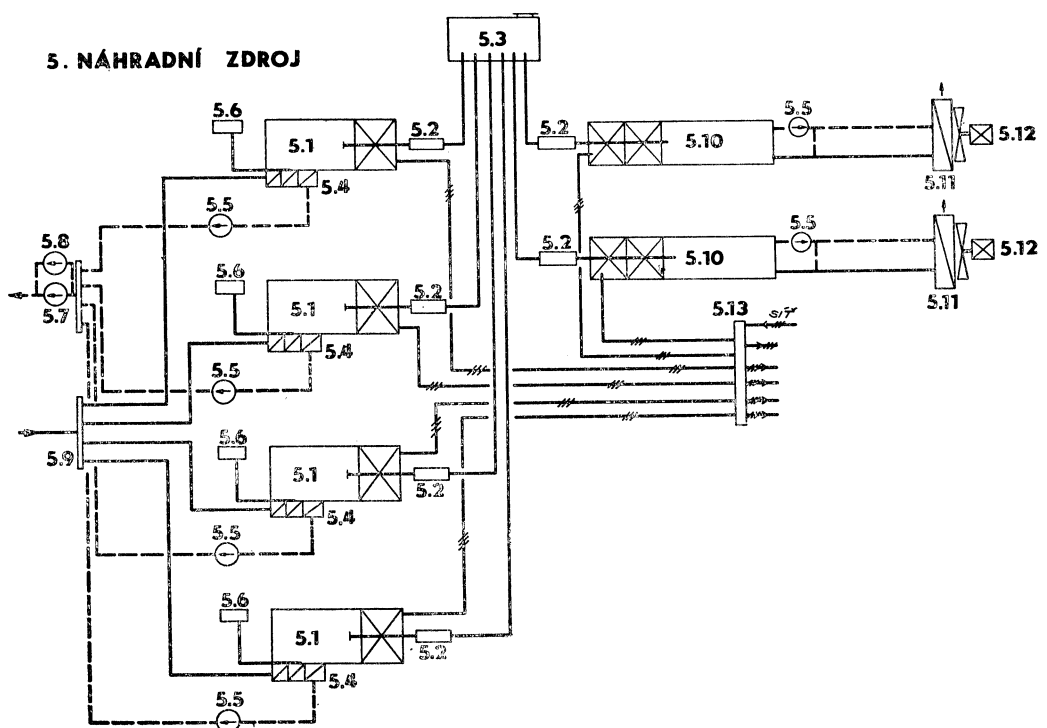
Obr. 4. Základní funkční schéma palivového hospodářství

4. STANICE ÚPRAVY VODY



Obr. 5. Základní funkční schéma úpravy vody

5. NÁHRADNÍ ZDROJ



Obr. 6. Základní funkční schéma NZ elektrické energie

Požadavky na kvalitu vody pro doplňování ztrát na chladicích věžích jsou mírnější, požadavek na průtok vody je však velký.

Potřebný průtok

min.	7 m ³ /h
normál.	15 m ³ /h
max.	25 m ³ /h
pH	7—8
tvrdost	6,2 °N
koloidní látky max.	100 mg KOH/l

Technologie úpravy spočívá v dávkování hexametafosfátu do vody. Proti tvorbě biologických náruštů se bude dávkovat zerazin 50 a upravená voda se bude shromažďovat v zásobní nádrži.

Vyšším dodavatelem provozního souboru stanice úpravy vody je ČKD-Dukla. Dispozičně je stanice umístěna jako součást energobloku mezi kotelnicou a strojovnou chlazení. Základní funkční schéma znázorňuje obr. 5.

6. Náhradní zdroj elektrické energie

Požadavky technologických souborů i části stavební na dodávku elektrické energie pro Palác kultury jsou rovněž mimořádné:

Celkový instalovaný příkon	25 MW
Celkový soudobý příkon max.	11 MW
Největší spotřebiče:	
scénické osvětlení	1 MW
3 chladicí jednotky à	500 kW
vzduchotechnické strojovny	
celkem	3 500 kW

Zajištění těchto hodnot je z hlavního trafo z oblasti Pankrác, záložními trafostanicemi z trasy Podolí s výkony 9 MW a 8 MW.

Přes dostatečně zajistěnou situaci v přivedech elektrické energie je dálé pro objekt vybudován náhradní zdroj jako součást energobloku v 2. podzemním podlaží.

Výkon náhradního zdroje vychází z bilance nezbytných potřeb a je tvořen

- 4 soustrojími základního typu 6S 150 PV s výkonom à 360 kVA
- 2 soustrojími No-break fy AEG s výkonom à 100 kVA

Dieselagregáty 6S 150 PV budou zajišťovat nouzový provoz zařízení, jejichž funkci neovlivní krátkodobé přerušení dodávky elektrického proudu při výpadku (10). Soustrojí bude startováno automaticky pomocí baterií. Dává proud pro provoz výtahů, větracích zařízení, atd.

Automatická dielelektrická centrála No-break sestává ze dvou soustrojí fy AEG o výkonu à 100 kVA, jedno je rezervní. Centrála bude startována do pohotovostního stavu vždy při každé důležité akci v objektu Paláce kultury. Bude sloužit pro provoz spotřebičů, které nepřipouštějí sebekratší přerušení proudu. Návštěvníci estrád a kulturních programů nepostřehnou pak ani mžknutí světel v sále, nebude přerušen provoz telekomunikačních prostředků a regulačních zařízení.

Palivem je nafta, přivedená do vlastních

provozních naftových nádrží z PS Palivové hospodářství. Chlazení motorů je pomocí výměníku voda-voda. Sekundár je zapojen na mikrověž PS Zdroje chladu. Soustrojí No-break je chlazeno vzduchem. Výfuky motorů vedeny přes tlumiče mimo objekt.

Vyšším dodavatelem je ČKD — dodavatelský závod Praha. Základní schéma zařízení uvádí obr. 6.

7. Legenda zařízení

1. Zdroj chladu

- 1.1. Bloková chladicí jednotka Chrysler C2-LM-669-2/555 kW
- 1.2. Bloková chladicí jednotka Chrysler C2-WY-158-2/174 kW
- 1.3. Oběhové čerpadlo chladicí vody (věžové)
- 1.4. Oběhové čerpadlo chladicí vody (věžové)
- 1.5. Oběhové čerpadlo chlazené vody
- 1.6. Oběhové čerpadlo chlazení
- 1.7. Tlaková expazní nádoba $O = 8 \text{ m}^3$
- 1.8. Vzduchový kompresor $Q = 50 \text{ m}^3/\text{h}$
- 1.9. Doplňovací čerpadlo chlazené vody
- 1.10. Doplňovací čerpadlo chladicí vody (věžové)
- 1.11. Hlavní rozdělovač
- 1.12. Hlavní sběrač
- 1.13. Chladicí věž Baltimore E 430 C
- 1.14. Chladicí věž Baltimore E 110 C

2. Zásobování teplem

- 2.1. Teplovodní nízkotlaký kotel Buderus, typ OMNIMAT 11 PG 500 $Q = 5,8 \text{ MW}$
- 2.2. Kombinovaný hořák nafta — plyn, typ UGL 4-2/2-B-100 provedení II. ZMD
- 2.3. Míchací čerpadlo kotle
- 2.4. Čerpadlo kotlového okruhu
- 2.5. Klidové čerpadlo
- 2.6. Hlavní teplovodní rozdělovač
- 2.7. Hlavní teplovodní sběrač
- 2.8. Doplňovací čerpadlo
- 2.9. Tlaková expazní nádoba $O = 10 \text{ m}^3$
- 2.10. Vzduchový kompresor $Q = 50 \text{ m}^3/\text{h}$
- 2.11. Výměník se zásobníkem pro ohřev TVU
- 2.12. Podávací dvojtí olejové čerpadlo
- 2.13. Plynoměr
- 2.14. Olejový filtr
- 2.15. Měříč oleje

3. Palivové hospodářství

- 3.1. Skladovací nádrž ležatá 50 m^3
- 3.2. Čerpací agregát 80-NCU-230, $Q = 650 \text{ l}/\text{min}, H = 0,49 \text{ MPa}$
- 3.3. Filtr síťový
- 3.4. Rotační průtočné měřidlo
- 3.5. Odlučovač vzduchu
- 3.6. Svislé čerpací soustrojí PDV 32, $Q = 50 \text{ l}/\text{min}, H = 0,1 \text{ MPa}$
- 3.7. Provozní nádrž 400 l
- 3.8. Provozní nádrž 250 l

4. Stanice úpravy vody

- 4.1. Filtr NaF $\varnothing 600$
- 4.2. Rozpouštěcí solná nádrž $\varnothing 400$
- 4.3. Rozpouštěcí nádrž $\varnothing 600$ s elektrickým míchadlem

- 4.4. Dávkovací čerpadlo DC-8-CH, $Q = 8 \text{ l/h}$,
 $p = 0,6 \text{ MPa}$
- 4.5. Horizontální zásobovací nádrž 10 m^3
- 4.6. Kompresor se vzdušníkem 1-JSK-75-14-S,
 $Q = 14 \text{ m}^3/\text{h}$, $0,7 \text{ MPa}$
- 4.7. Horizontální zásobovací nádrž 40 m^3 ,
 $p = 0,7 \text{ MPa}$

5. Náhradní zdroj elektrické energie

- 5.1. Dieselagregát 6S 150 PV/360 kVA
- 5.2. Tlumič výfuku
- 5.3. Expanzní jímka
- 5.4. Chladicí vody, oleje
- 5.5. Vodní čerpadlo
- 5.6. Vyrovnávací nádrž
- 5.7. Sběrač
- 5.8. Čerpadlo přívodu vody
- 5.9. Rozdělovač
- 5.10. Soustrojí NO-BREAK AEG/100 kVA
- 5.11. Vzduchový chladicí vody
- 5.12. Ventilátor chladiče
- 5.13. Rozvaděče

Дом культуры, Чехословакия, Прага

*Инж. Й. Боровец, Й. Седлачек,
Инж. Й. Шишма, Инж. Б. Шилер*

В статье описывается кратко энергетический центр Дома культуры, Чехословакия, который строится в Праге. В этом центре помещены источники тепла и холода, водоподготовительная станция и резервный источник энергии. Описание дополнено схемами этих частей и схемой общего распределения энергетического центра на подвальном этаже здания.

The House of Culture, Czechoslovakia, Prague

*Ing. J. Borovec, J. Sedláček, Ing. J. Šišma
Ing. B. Šiler*

A power centre of the House of Culture, Czechoslovakia, raising in Prague, is described

in this article. Heat and cold sources, a water treatment plant and an emergency powersupply are situated in the centre. This description is complemented with schemes of these parts and with a scheme of general arrangement of the power centre in the basement of the building, too.

Palais de la culture de la République Tchécoslovaque Socialiste à Prague

*Ing. J. Borovec, J. Sedláček, Ing. K. Šišma,
Ing. B. Šíler*

Dans l'article présenté, on décrit le centre énergétique dans le Palais de la culture de la République Tchécoslovaque Socialiste à Prague brièvement qui est bâti justement et dans lequel les sources de chaleur et de froid l'économie des combustibles, les stations de traitement des eaux et la source d'électricité supplémentaire sont placées. Les dessins de ces parties et le schéma général de l'arrangement du centre énergétique dans le sous-sol du bâtiment complètent la description.

Kulturpalast der Tschechoslowakischen Sozialistischen Republik in Prag

*Ing. J. Borovec, J. Sedláček Ing. K. Šišma,
Ing. B. Šíler*

Im Artikel beschreibt man kurz das eben im Aufbau Energiezentrum im Kulturpalast der Tschechoslowakischen Sozialistischen Republik in Prag, in dem sich die Wärme- und Kühlquellen der Brennstoffwirtschaft, die Wasseraufbereitungsstationen und die Elektrizitätsersatzquellen befinden. Die Beschreibung ergänzen die Schemas dieser Teile und das Schema der Gesamtanordnung des Energiezentrums im Kellergeschoss des Gebäudes.

PŘÍSTROJE K MĚŘENÍ PRAŠNOSTI A ANALYZÁTORY PLYNU A ŠKODLIVIN V OVZDUŠÍ

Ivan Berka

Veletrh ACHEMA pořádaný ve Frankfurtu n. M. soustředuje každoročně laboratorní, měřicí, řídící, automatizační a jadernou techniku, vystavují přístroje na zkoušení materiálu a poskytuje přehled o výsledcích výzkumu a inovačních trendech, vystavuje odbornou literaturu zaměřenou na výuku a na ochranu životního prostředí. V roce 1979 se veletrhu zúčastnilo 2328 vystavovatelů z 27 zemí s několika tisíci výrobků, z čehož bylo 1130 novinek.

Během veletrhu probíhalo 6 plenárních a 350 informačních přednášek za účasti 620 referentů. Na kolokviu o otázkách bezpečnosti práce v oblasti chemického průmyslu se sešli bezpečnostní technici z celého světa. První díl kolokvia byl věnován toxikologickým poznatkům v chem. průmyslu, druhý díl aktuálním sdělením o úrazech a chorobách z povolání v chemickém průmyslu a jejich zábraně. Program byl doplněn promítáním 35 filmů z průmyslu a výzkumu.

Odborné informace poskytuje „Achema — Jahrbuch“ se sděleními jednotlivých výrobků či vystavovatelů v kapitolách sestavených podle tematických okruhů.

V oblasti sledování průmyslových škodlivin, prašnosti a toxicitých plynů a par byly předváděny převážně již vyzkoušené, samočinné analyzátory.

Analyzátory k měření prašnosti lze rozdělit do dvou hlavních skupin: radiometrické přístroje a přístroje na principu sedimentačním.

U známého přístroje na měření prachu FH 62 12 výrobce Frieseca a Hoepfner z Erlangen byl upraven přívod analyzovaného vzduchu a snížena průtočná rychlosť z 10 na 3 ms^{-1} . Laminární proudění brání usazování prachových částic v trubkách vedení. K prozařování prašné stopy bylo použito silnějšího záříče (dříve 10, nyní 50 mCi). Alternativní čerpadlo s trojnásobným průtokem umožňuje zkrátit čas jedné analýzy.

Krohne vystavoval modifikaci beta měřiče prachu, na kterém probíhá souběžně kontrola nulové hodnoty, měření a detekce prachové stopy. Typ 703 je upraven pro kontrolu prašnosti na pracovišti a měření imisi.

Analysette 20 firmy Fritsch a Co. je fotosedimentograf k automatické analýze prachových částic velikosti od 2 do $100 \mu\text{m}$ — v suspenzi. Během směny lze provést 12 až 16 analýz. Automaticky registrované grafy lze vzájemně porovnat a vyhodnocovat pomocí integračního počítače s numerickým výstupem a tříděním podle velikosti prachových částic. Použitím studeného světla je vyloučen vliv konvekčního tepla.

Úzký kontakt výrobních závodů s výzkumnými ústavy a školstvím je na veletrhu dokumentován řadou přístrojů vyvinutých v laboratorních příslušných ústavů a kateder.

Institut pro mechanizaci provozní techniky university v Karlsruhe předvedl nový foto-sedimentometr. Extinkce se měří ve třech oblastech vlnových délek viditelného světla, odpovídající barvě zelené, červené a modré. Intenzita těchto barev se měří fotonásobičem ve čtyřech různých výškách. Pomocí tří různých frekvencí je možné extinkční koeficienty vyhodnotit bez speciálního cejchování. Přístroj je termostatovaný.

Institut pro měření a regulační techniku university Berlin vystavoval sedimentační manometr ke stanovení rozložení prachových částic podle velikosti. Srovnávají se tlaky ve dvou sloupcích, z nichž jeden obsahuje suspenzi prachových částic, druhý čistou suspensní tekutinu. Zjišťuje se diferenční tlak mezi jednou měrenou hladinou a svrchní hranou sloupce tekutiny. Diference je měřítkem pro koncentraci suspendovaných částic. Z průběhu tlakové křivky v čase lze odvodit rozdělení částic podle velikosti. Provoz přístroje je automatizovaný.

Massometer Model FAM firmy Kratel GmbH a Co. Leonberg slouží k měření vláknitého prachu (asbestu) ve vzduchu. Na přístroji se odečítá přímo koncentrace vláken/ cm^3 i při vysoké koncentraci částic nevláknitého charakteru. Vysokonapěťovou elektrodou se uvede vláknko do rotace, během které se ozáří laserovým paprskem a pod 90° úhlem odečítá na detektoru. Přístrojem se prosává 1,5 až 2,5 litru za minutu. Minimální doba měření jsou čtyři hodiny.

E. Leitz předvádí TM — digitální fotometr pro měření jemného prachu v dolech a u jiných zdrojů prašnosti. Přístroj je vhodný pro měření částic rozměrů 0,5 až $5 \mu\text{m}$ v koncentraci od 0,03 až do 50 mg/m^3 .

Výrobní program techniky k měření prachu převzala od firmy Sartorius firma Ströhlein Labortechnik, která nepřivedla žádné novinky.

Přenosný prašný monitor Simplin II. slouží k měření jemných prachů podle Johannesburgské konvence. Všechny naměřené hodnoty jsou zpracovávány mikroprocesorem a převáděny na koncentrace prachu v mg/m^3 . Kódované hodnoty se zapisují na magnetofonový pásek a lze je opět na dekoderu dešifrovat a zapsat na běžném zapisovači. Vzorkem ovzduší s prachem prochází Laserův paprsek a rozptýl světla se měří v úhlu 12 až 20° . Prach zachycený na filtru lze použít ještě k další analýze.

Firma Royko vyvinula přenosný laserový

přístroj na měření aerosolů, model 226 s rozsahem 0,1 až 6,1 μm s možností třídění do 16 skupin. Má zabudovanou tiskárnu a šestimístný digitální výstup.

Firma C. Zeiss předvedla jako novinku registrační spektrální fotometr DMR 11, který pracuje s podvojným svazkem paprsků ve vlnovém rozsahu 95 až 900 μm .

Přístroje k měření toxických plynů a par

Amek-Verfahrens- und Umweltschutztechnik Bremen předvedla na Achemu veletrhu analyzátor k měření celkových uhlovodíků pro kontrolu pracovního ovzduší. Plyny se chemicky sorubují na polovodičích a měří se jejich vodivost. Hranice důkazu leží při 5 ppm, přesnost analýzy $\pm 5\%$ rozsahu stupnice. Hlavním účelem přístroje je regulovat vzduchotechniku v provozech závodů a zařízení s výskytem plynných uhlovodíků anebo provádět kontrolu čistoty ovzduší.

Speciální plynový chromatograf s vodivostními čidly dodává firma Biotronic, Frankfurt. Vzorek ovzduší se zachycuje ve tridestilované vodě a po analyse se vyhodnocuje mikroprocesorem jednotlivé zachycené látky v iontové koncentraci.

Přístroj pro kapalinovou chromatografií ve formě stavebnice je výrobkem firmy Kipp analyticia Solingen. Stavebnicový princip umožňuje základní přístroj v sestavě kolona, čerpadlo a detektor dále kompletovat a doplňovat. Model 755 GC je mikroprocesorem řízený plynový chromatograf pro měření celkového množství uhlovodíků, na kterém lze dosáhnout vysoké ostrosti dělení. Váží pouze 9 kg, takže se hodí pro práci v terénu a lze jej doplnit integrátorem písků, programovanou teplotou, voličem objemu vzorků a zdvojeným systémem detektorů.

Hartmann a Braun AG Frankfurt vystavoval analyzátor na měření kysličníků dusíku, RADAS 1 G, nový provozní fotometr pracující v UV oblasti. Současně měří SO₂ v koncentracích od 100 ppm.

Selektivní infračervený analyzátor Binos 1, jímž lze současně měřit dvě zvolené komponenty, vystavoval Leybold-Heraeus Hanau. Přístroj má velmi široké použití, slouží k analýze CO, CO₂, H₂O, SO₂, NO, NH₃, CH₄, C₂H₄, n-Hexanu, SF₆, C₂H₅J, CH₂Br₂, COCl₂, C₂H₃C a HCN! Navíc analyzuje páry organických rozpouštědel a Frigen.

Maihag AG Hamburg předváděl nový přístroj Monocolor 1 N, kolorimetrický analyzátor pro analyzu H₂S. Dále nabízel již známé přístroje UNOR, OXIGOR, tepelně-vodivostní Thermor 6 N pro stanovení H₂ a CO₂ v odpylech.

Další přístroj pro měření kysličníků dusíku představila firma Onimat Düsseldorf s chemoluminiscenčními detektory pro plynné, tekuté i pevné vzorky s dobou analyzy pod 1 minutu. Dusík chemicky vázaný se před analyzou pyrolyticky oxiduje na NO.

Fidamat I. firmy Siemens AG Karlsruhe slouží k měření organických aminů, pyridinu či HCN, podle potřeby ke kontrole a dodržování NPK-P.

Konečně Varian MAT Bremen předváděla kombinaci plynového chromatografu s hmotovým spektrometrem ve dvou typech lišících se účelem a náročností obsluhy. Přístroj umožňuje ověřovat skladbu určitých látek, objasnit strukturu a získat sumární vzorec sloučeniny.

Z přehledu je patrné, že na Achemu vystavují přístrojovou techniku v uvedené oblasti téměř výhradně německé firmy, z nichž řada se pravidelně každoročně účastní mezinárodních veletrhů v Brně.

ZÁVĚRY Z CELOSTÁTNÍHO SEMINÁŘE „NORMALIZACE A TYPIZACE V OSVĚTLENÍ“,

pořádaného komitétem pro životní prostředí a Domem techniky ČSVTS Praha ve dnech 3.—4. 10. 1979 v Praze

Na základě referátů, příspěvků a diskusních vystoupení dospělí účastníci semináře k této závěrům:

1. Ve všech druzích stavebních objektů včetně venkovních prostorů je třeba zabezpečit nezbytnou úroveň osvětlení a zrakovou pohodu podle účelu a funkce, a to co nejhospodárněji a s minimální spotřebou energie. Osvětlení všech druhů, tj. denní, umělé i sdružené, je nutno řešit komplexně a respektovat přitom všechny vazby a souvislosti s ostatními obory životního prostředí a technického řešení stavby.

Je třeba mít na paměti nepříznivé důsledky nedostatečného a nekvalitního osvětlení, po případě neuváženého omezování osvětlení, jako je snížená produktivita práce a nižší kvalita

výrobků, z toho plynoucí zvýšená spotřeba energií a materiálů, zvýšená únavu, stoupání počtu úrazů a havárií atd.

2. Dosavadní soustava našich normativních dokumentů v oblasti osvětlení má již řadu závažných nedostatků: nejednotnou koncepci a úrovně požadavků, vyplývající ze živelného vývoje, překonání mnoha ustanovení vývojem vzhledem k dlouhé době od vzniku většiny norem, nedostatečnou koordinací mezi denním a umělým osvětlením, nedostatek ustanovení o sdruženém osvětlení atd.

Proto je naléhavé třeba vytvořit novou soustavu normativních dokumentů, založenou na jednotné struktuře a koncepcí s integrací všech druhů osvětlení, tj. denního, umělého i sdruženého, do společných dokumentů, pokrývajících rovnoměrně celou investiční výstavbu.

3. V nové soustavě normativních dokumentů je třeba klást velký důraz na kvalitu

osvětlení, jeho hospodárnost a komplexnost řešení celé problematiky ve vztahu k souvisejícím faktorům kvality prostředí a technického řešení staveb.

Přitom je třeba respektovat i mezinárodně dohodnuté dokumenty, zejména dokumenty CIE a RVHP a připravovanou strukturu normativních dokumentů v rámci státu RVHP.

4. Pro vytvoření nové soustavy norem je nezbytné v nejbližší době v předstihu začít připravovat soustavně na všech úsecích problematiky osvětlení podklady, zejména týkající se komplexního hodnocení kvality všech druhů osvětlení.

5. Z organizačního hlediska se doporučuje zřídit při Úřadu pro normalizaci a měření stálou normalizační komisi se zastoupením pracovníků všech dotčených institucí a pracovišť, která by měla celou činnost usměrňovat.

6. Jedním z hlavních důvodů malé hospodárnosti a nedostatků v kvalitě osvětlení je neuspokojivý sortiment a kvalita některých druhů výrobků. Například v umělém osvětlení se v řadě druhů objektů stále používá i tam, kde to nemí odůvodněno, zdrojů světla a svítidel s nízkou účinností. Chybí dosud zářivková svítidla pro místní osvětlení v bytech i na pracovištích, chybí zářivková nástěnná i stropní svítidla vhodná pro byty, ačkoliv zářivky mají několikanásobně menší spotřebu elektřiny než zárovky se stejným světelným tokem. Nejsou k dispozici ani zářivky s velmi malým příkonem (8 a 13 W), ani zářivky s vhodným spektrálním složením pro bytovou a občanskou výstavbu. Řada svítidel pro bytové osvětlení má pod zámkou estetického účinku velmi nízkou účinnost.

Tento problém je nutno řešit soustavně a programově ve výrobě, respektive i dovozem, za účasti všech dotčených výrobců.

7. Také na úseku stavebních konstrukcí, ovlivňujících hospodárnost osvětlení, zejména denního, je třeba věnovat daleko větší pozornost jejich vlastnostem z hlediska světelné techniky. Jde hlavně o vyšší odraznost světla povrchů stavebních konstrukcí, tapet, podlahových krytin, povrchových úprav a hmot pro ně, propustnost záclon, propustnost konstrukcí osvětlovacích otvorů a regulačních zářízení.

8. Všechny výrobky, ovlivňující závažným způsobem osvětlení a zrakovou pohodu, by měly procházet před uvedením na trh povinným hodnocením jakosti, při kterém by se kromě jiných posuzovaly jejich vlastnosti z hlediska zrakové pohody a hospodárnosti osvětlení.

9. Je nezbytné zlepšit kvalitu a dostupnost katalogových údajů všech výrobků ovlivňuj-

cích osvětlení. U mnoha výrobků jsou důležité parametry jen obtížné zjistitelné, nebo je výrobce vůbec neuvádí. To se týká například odraznosti světla povrchů a povrchových úprav, účinnosti a rozložení světelného toku některých svítidel, světelného toku a teploty chromatičnosti některých zdrojů světla atd.

10. U svítidel pro osvětlení bytu je potřebné, aby u každého výrobku byly přiloženy údaje o určení svítidla a jeho vlastnostech, srozumitelné a použitelné pro kupující. Zejména má být uvedeno, pro jaký druh a velikost prostoru je svítidlo určeno a jakého osvětlení pro jakou činnost se jím za jakých podmínek docílí.

11. Ukazuje se nezbytným poskytovat soustavně a plánovitě nejširší veřejnosti informace a podklady pro kvalitní a hospodárné osvětlení v bytech, a to jak pro zřizování umělého a sdruženého osvětlení, tak i pro správné využití bytu z hlediska osvětlení denního. K tomu je třeba využívat všech hromadných sdělovacích prostředků.

12. Řešení všech druhů osvětlení, tvorbu zrakové pohody a dobrých dodmínek vidění je třeba pojmat komplexně a se všemi vzájemnými vazbami. Pro to je nutno vytvořit postupně předpoklady; v projektové sféře by měla být vytvořena specializace pro světelnou techniku, na rozdíl od současného stavu, kdy se řeší denní a umělé světlo převážně odděleně a bez dostatečné koordinace.

Tato koncepce by se měla co nejdříve uplatnit i v osnovách pro výuku na odborných školách, respektive v postgraduálním školení. Problematika osvětlení a tvorby zrakové pohody by se měla vyučovat komplexně a v plném rozsahu.

13. Pro měření a hodnocení osvětlení je nezbytné soustavně vytvářet předpoklady zabezpečením potřebných měřicích přístrojů, včetně nástavců pro měření prostorových charakteristik osvětlení, a to z vlastní výroby nebo z dovozu. Bez nich nelze úroveň a kvalitu osvětlení posuzovat a kontrolovat.

14. Je náležavé třeba zřídit urychleně pracoviště pro cejchování měřicích přístrojů pro osvětlení; v současné době tuto funkci u nás nikdo nevykonává. Bez pravidelného cejchování mohou chybě měřicích přístrojů dosahovat takových hodnot, že se měření zcela míjí s účelem.

15. Většímu rozšíření a využívání zdrojů světla a svítidel s velkým výkonem brání i dosavadní cenové relace; doporučujeme uvážit možnost cenového zvýhodnění výbojových zdrojů světla i příslušných svítidel.

J. Matoušek

III. CELOSTÁTNÍ KONFERENCE „SUŠENÍ A SUŠÁRNY V TEXTILNÍM PRŮMYSLU“

Na konferenci, která se konala ve dnech 17. a 18. října 1979 v Liberci, byly projednány otázky související s inovačními snahami pracovníků k. p. Elitex prokázanými technickými parametry vyvíjených sušáren. Byly uvedeny poznatky o nových směrech umožňujících snížení spotřeby energie při sušení využitím odpadního tepla, o nových snahách při řízení nánosů apod. Určitá pozornost byla věnována i novému směru sušení s využitím aerodynamického účinku volných proudů na sušený materiál.

Konference se zúčastnili také delegáti z NDR, RSR a PLR, kteří program doplnili referáty o stavu vývoje sušáren v RSR a o měření a regulaci plošné hmotnosti u sušáren vyráběných ve VEB TEXTIMA. Všichni účastníci konference obdrželi sborník referátů, který vydal DT Liberec.

Korger

ČSN 06 1101 „OTOPNÁ TĚLESA PRO ÚSTŘEDNÍ VYTÁPĚNÍ“

Uvedená norma byla schválena ÚNM v červnu 1979; je nová svým pojetím i obsahem a vychází z dnešního vědecko-technického stavu v ČSSR i zahraničí. Přináší nové pojmy, které jsou výsledkem dlouhodobého výzkumu v tomto obooru a jsou touto formou předkládány k využití.

Návrh normy byl vyvolán chaotickým vývojem výroby otopních těles v letech 1965—1970, nedostatečnou dokumentací výrobků, snahou po úsporách energie i skutečností, že v našich podmínkách není konkurenční výrobků na požadované výši.

Obsah normy je rozdělen do čtyř kapitol, zahrnujících:

názvosloví a značky, kde jsou uvedeny v obooru používané názvy a jejich definice včetně nových pojmu;

všeobecnou část, kde je uvedeno hlavní rozdělení otopních těles podle konstrukčního řešení přestupní plochy, ale i vedlejší rozdělení (podle sdílení tepla, materiálu, způsobu rozšíření přestupní plochy) a předpis pro obsah dvoudílné dokumentace výrobku;

technické požadavky, kde jsou popsány hlavní charakteristiky vyjadřující vztahy mezi geometrickým uspořádáním otopních těles, režimem teplonosné látky i režimem vytápěného prostoru a funkčními vlastnostmi otopného tělesa. Stat o základních veličinách rozděluje hlavní parametry otopních těles do kategorií technických (definovatelnými čísly) a obecných (vyjadřovaných dohodnutými symboly); většinu technických parametrů je třeba určovat experimentálně a proto norma uvádí závazné okrajové podmínky pro měření;

návrh a výpočet otopních těles, kde je uveden postup volby druhu a typu otopného tělesa, možnosti kombinace druhů a postup výpočtu velikosti otopného tělesa.

První znění normy bylo vydáno v roce 1975 s modrým pruhem s termínem zaslání připomínek do 1. 1. 1978; na základě připo-

mímek, týkajících se především zpřesnění znění článků a uplatnění dalších praktických poznatků, byly provedeny úpravy textu článků a ukončeno připomínkové řízení v roce 1978.

Hlavní podíl na zavedení normy bude mít jednák státní zkoušebna č. 202 v Brně, která již od začátku hodnocení otopních těles v roce 1970 používá část článků normy a v současné době bude důsledně uplatňovat články o dokumentaci výrobků, jednak pracoviště projekčních organizací, kde je třeba uplatňovat normu prostřednictvím Studijních a typizačních ústavů.

V normě byl od počátku (rok 1970) zahrnut článek o experimentálním ověřování tepelného výkonu na zkoušebním zařízení s uzavřeným prostorem, jehož kovové stěny byly chlazený vodou (realizace metodiky i zařízení SVÚSS vybudovaném již v roce 1956). V období 1970—1973 bylo vydání normy z důvodu nesouhlasu SZÚ Brno s tímto způsobem měření tepelných výkonů pozastaveno; světový vývoj v oblasti sjednocení měření tepelných výkonů byl v roce 1973 uzavřen návrhy ISO, pracovní skupiny TC 116/SC 4 na zkoušební zařízení s uzavřenými komorami, jejichž stěny jsou chlazený (vodou, vzduchem), tedy potvrzujícími původní návrh v ČSN 06 1101. Přesto byla norma v roce 1975 ještě z tohoto důvodu vydána s modrým pruhem, tj. k odzkoušení.

Vzhledem k rámcovému zpracování normy ISO 3149 bylo podle rozhodnutí komise za účasti ČKD, VÚPS, SZÚ, ÚNM a FCÚ doporučeno zpracovat samostatnou národní normu pro měření tepelných výkonů otopních těles (ČSN 06 1105), které respektuje současný stav u nás (dvě rozměrově odlišná zkoušební zařízení se stěnami chlazenými vodou) i skutečnost, že je žádoucí zpřesnit a doplnit požadavky při měření pro naše podmínky.

V. Berounský

Licht 31 (1979), č. 11

- Innenraumbeleuchtung mit künstlichem Licht (Zu neuen Norm DIN 5035) (Osvětlování vnitřních prostorů umělým světlem — k nové DIN 5035) — *Hentschel H. J.*, 441—442, 444.
- 100 Jahre Glühlampe (100 let žárovky) — 446—447.
- 60 Jahre Osram (60 let fy. Osram) — 448.
- 4. Euroluce, Messe Mailand (Z veletrhu v Miláně) — 449—452.
- Im Zeichen der drei Wellenlinien (Leuchten aus Kopenhagen) (Svitidla v Kodani ve znamení tří vývojových linií) — 453—455.
- Fernmelde-Turm Hamburg (Osvětlení vysílač věže v H.) — 456—457.
- Notbeleuchtung mit verschiedenen Leuchtmitteln (Nouzové osvětlení zajišťované různými způsoby) — *Weiss B.*, 460—463.
- Die optische Übermittelung von Informationen in fensterlosen Hörsälen (Optický přenos informací v bezokenních posluchařnách). — *Appenheimer Ch. F., Römer G.*, 464—468.

Licht 31 (1979), č. 12

- Menschengerechte Wohnsiedlung (Venkovní osvětlení v sídlišti) — 484—485.
- 250 Jahre Münchner Strassenbeleuchtung (250 let uličního osvětlování v Mnichově) — 486.
- Malen mit Licht (Malování světlem — Raak) — 489—493.
- Kerzenlicht in acht Jahrhunderten (V) (Světlo svící během osmi století — díl V.) — *Jarmuth L.*, 504—508 pokrač.
- Energieeinsparung durch automatisch kontinuierliche Beleuchtungsregelung (Úspory energie plynulou regulací osvětlení plně automatizovanou) — 510—511.

RAS — Wirtschaftsjournal für Sanitär und Heizung 34 (1979), č. 11

- In neuen Stadt- und Wohnbezirken kann getrennte Hauswasserversorgung ökonomisch sein (V nových městských a obytných okrscích může být dělená vodovodní síť ekonomická) — 1045—1046.
- DIN 4109 im Mittelpunkt der Normungsdiskussion (DIN 4109 Ochrana proti hluku je středem zájmu diskutujících) — 1049.
- Ein verheissungsvolles Sprungbrett für die 80er Jahre? (Rozloučení s jedním tvořivým desetiletím — vybavení koupelen) — 1072 až 1077.
- Asbestzement ausserhalb der Schusslinie (K zákazu používání osinkocementových výrobků) — 1080.
- Küchentechnik No. 6 (Příloha „Technika v kuchyni“ č. 6) — K 443—K 530.
- Neben Optik vor allem Gebrauchsnotzen

verkaufen (Nejen vizuální, ale užitná hlediska rozhodují při nákupu elektrospotřebičů) — *Feldmann W.*, K 450—K 452 pokrač.

- Der Hausarbeitsraum — Bestandteil moderner Wohnraumplanung (Domácí dílna musí být součástí návrhu kuchyně) — K 460, K 462—K 465.
- Bundespreis „Gute Form 1979“ für Modell 2000 CH weiss (Udělení ceny za nejdokonalejší typ kuchyně) — K 475.
- Modernisierung eines Bauernhauses (Modernizace zemědělské usedlosti) — *Krawinkel L. A.*, K 485, K 486, K 488.
- Zum Thema: Waschen und Trocken (K téma: praní a sušení) — K 496, K 498, K 500.
- Qualität beginnt beim Detail (Interzum 1979 — kvalita začíná se detailem) — K 511—K 512, K 514, K 516—K 518.

RAS — Wirtschaftsjournal für Sanitär und Heizung 34 (1979), č. 12

- Sanitärkeramische Industrie schafft europaweit gemeinsame Basiswerte (25 let FECS — Evropské federace výrobců sanitární keramiky) — 1150—1152.
- Spürbare Senkung des Heizenenergieverbrauchs bis 1990 im Haushaltsbereich? (Cílené snížení spotřeby energie na vytápění do 1990 v domácnostech?) — 1154—1159.
- Bedeutung der Fernwärmeverversorgung erhöht sich (Význam dálkového zásobování teplem se zvyšuje) — 1171—1173.

Sanitär- und Heizungstechnik 44 (1979), č. 11

- Neue VDI-Richtlinie zur Wirtschaftlichkeitsberechnung von Klimaanlagen (Nové směrnice VDI pro výpočet hospodárnosti klimatizačních soustav) — 949.
- Arbeitswissenschaftliche Prinzipien für die Gestaltung von Sanitär-Armaturen (Ergonomické principy pro výrobu a použití sanitárních armatur) — *Bullinger H. J., Solt J. J.*, 959—962, 985.
- Das moderne Bad: Wir stehen immer noch ganz am Anfang (V řešení moderní koupelny jsme stále ještě na počátku) — 963—970.
- Wego und Techniken zur rationalisieren Energiebedarfsdeckung (Cesty a způsoby racionalizace ke krytí spotřeby energie) — *Schaefer H.*, 971—973.
- Untersuchungen an thermostatischen Feinregulierventilen bei Fernheizungen (2) (Výzkum jemných termostatických ventilů u dálkového vytápění — díl 2) — *Winkens H. P.*, 974—978.
- Erfolg für Erfolglose (Úspěch i pro ty, kteří ho postrádají — vzdělávací středisko) — 983—985.
- Stadthausgruppe Emden: 1 bis 2 m² Kollektorfläche pro Person (Ve skupině obytných domů v E. se počítá s 1 až 2 m² plochy

kolektorů na osobu) — *Wilms G.*, 986—988.
— Therapieeinrichtung und Schwimmbad im Rehabilitationazentrum — Erstbehandlung (1) (Terapeutická zařízení a bazén ke koupání v rehabilitačním středisku — základní ošetření — díl 1) — *Philippen D. D.*, 989—994 pokrač.

— Grundlagen der elektrischen Schaltungstechnik für Heizungs- und Lüftungsbauer (11) (Základy elektrické regulace pro konstruktéry vytápění a větrání — díl 11.) — *Schrowang H.*, 995—1002 pokrač.

— Küleg: Kühleinrichtungen für Grossküchen (Chladicí zařízení pro velkokuchyně fy. Küleg GmbH NSR) — 1013 a 1016.

— Leistungsfähige Sonnenkollektoren aus Dänemark (Výkonné sluneční kolektory v havlových lázních v Dánsku) — 1025.

— Cillichemie: Vorbildliche Technik und Hygiene haben sich bezahlt gemacht (Výrobní program fy. Cillichemie E. Vogelmann, Heilbronn NSR, vodní filtry pro domovní instalace) — 1028.

— Küchentechnik No. 6 (Příloha „Technika v kuchyni“ č. 6) — viz RAS 11/1979.

Sanitär- und Heizungstechnik 44 (1979), č. 12

— Wärmepumpen: Im Vordegrund sollte der Substitutionsgedanke stehen (V otázkách tepelných čerpadel musí stát v popředí zastupitelnost) — 1048—1049.

— Brauchwarmwasser aus dem Gefrierschrank (Užitková teplá voda z ledničky) — *Koehn O.*, 1050—1054.

— Luftreinhaltung am Arbeitsplatz im Umluftbetrieb (Udržení čistoty vzduchu na pracovištích s jeho oběhem) — *Ochs H. J.*, 1055—1058.

— Wärmedehnungen und Baudifferenzen in Stahlrohrleitungen (Tepelná roztažitelnost a stavební rozdíly působí na ocelové trubní rozvody) — *Hurter F.*, 1061—1065.

— Wasserschaden durch ein Spezialventil vermeidbar (Speciální ventil zabrání vzniku škod od unikající vody z potrubí) — *Dworski K.*, 1066—1068.

— Hemisse der Solartechnik: Baukonstruktive und gestalterische Aspekte (Překážky v solární technice jsou ve stavebních konstrukcích a aspektech pořizování) — 1073—1074.

— Forschung in der Sanitär-, Heizungs- und Bautechnik (Soupis výzkumných prací z oborů zdravotní technika, vytápění a výstavba) — 1075—1077.

— Therapieeinrichtung und Schwimmbad in Rehabilitationszentrum — Erstbehandlung (2) (Terapeutická zařízení a bazén ke koupání v rehabilitačním středisku — základní ošetření — díl 2) — *Philippen D. D.*, 1078—1082.

— Grundlagen der elektrischen Schaltungstechnik für Heizungs- und Lüftungsbauer (12) (Základy elektrické regulace pro konstruktéry vytápění a větrání — díl 12) — *Schrowang H.*, 1083—1090 pokrač.

— Georg Fischer, Schaffhausen: Sichere Rohrinstallationen mit Dehnungsausgleichsver-

bindung (Firemní sdělení o kompenzačních vložkách na potrubí) — 1100.

— Aqua Butzke: Armaturensteuerung mit Doppler-Effekt (Firemní sdělení o využití Dopplerova principu k ovládání výtokových armatur) — 1101.

— Woeste: Gute Erfahrungen mit Gewindeübergangsfitting aus Kupfer für Kupferrohrleitungen (Firemní sdělení o konstrukci a použití měděných fitinků) — 1104—1105.

— Permanente Produkt- und Leistungsverbesserung sorgen für zielsicheren Ausbau der Unternehmensstellung im Armaturenmarkt (Průběžné zlepšování výrobků a řízení výroby zajišťují cílené umístění závodu na trhu armatur) — *Göhring C.*, 1106—1109.

Stadt- und Gebäudetechnik 33 (1979), č. 11

— Zur Problematik der Durchlüftung und der Lüftungsheizlast von vielgeschossigen Gebäuden und Hochhäusern (K problematice provětrávání a tepelné zátěže při větrání u mnohaposchodových budov a výškových domů) — *Richter W.*, 321—324 pokrač.

— Warmhalten zeitweise nicht genutzter Gebäude (Akumulace tepla u budov jen občas užívaných) — *Pach R.*, 325—327.

— Einige Beispiele zur Nutzung von Sonnenenergie und Abwärme (Několik příkladů k využívání sluneční energie a odpadového tepla) — *Boschnakow I.*, 328—333.

— Ein Beitrag zur Bestimmung optimaler Temperaturen von Heisswasser-Fernwärmesystemen (Příspěvek k určování optimálních teplot v horkovodních systémech dálkového vytápění) — *Gläser G.*, 334—337.

— Druckverlustberechnung von Heizwasser- netzen (Výpočet tlakových ztrát v horkovodních rozvodných sítích) — *Lindner L.*, 338—342.

— Leistungsspitzen der Warmwasserbereitung in Wohngebieten (Výkonové špičky při přípravě teplé vody v obytných okrscích) — *Glück B.*, *Schreiner G.*, 342—343.

— Parallelschaltung von Umlauf-Wasserheizern (Paralelní spínání oběhových ohřívačů vody) — *Weinert W.*, 344—346.

— Informationen zum Katalog- und EDV- System TGA (Informace k materiálům pro projekci TZB) — *Kiese L.*, 346—347.

— Ökonomische Aspekte des Einsatzes von PVC-H-Kanalrohren in der Abwassertechnik (Ekonomická hlediska použití kanalizačních trub z tvrdého PVC v odvodňovací technice) — *Gruner H.*, 348—349.

Stadt- und Gebäudetechnik 33 (1979), č. 12

— Betrachtungen zur Systemgestaltung für den Verbundbetrieb grosser Fernwärmesysteme unter Beachtung des hydraulischen Verhaltens bei instationären Betriebsvorgängen (Poznámky k utváření systému pro spojený provoz dálkových otopných soustav se zohledněním hydraulických poměrů při nasta-

- cionárních provozních podmírkách) — *Schneidbach P.*, 353—356.
- Der Einfluss der Heiznetzausdehnung und der Abnehmerverteilung auf die Auslegung und Betriebsführung von Fernwärmenetzen (Vliv roztažnosti materiálu a odběratelských rozdělovačů na závislostech v dálkových tepelných sítích a jejich chování za provozu) — *Dittmann A., Haziak S.*, 357—361.
- Untersuchungen zu Heisswasser-Fernwärmesystemen mit direkter Entnahme von Gebrauchswarmwasser (Výzkum v horkovodních dálkových otopných systémech s přímým odběrem teplé užitkové vody) — *Glässer G.*, 362—366.
- Das Heiznetzkennfeld — ein Arbeitsmittel für die Auslegung und Betriebsführung von Fernwärme-Verbundnetzen (Pracovním prostředkem pro poznání a provozování spojovacích dálkových otopných sítí) — *Leonhardt K.*, 366—368.
- Automatisierungskonzeption für Fernwärme-Dispatcherzentralen — ein Beitrag zur optimalen Betriebsführung von FernwärmeverSORGungs-Systeme (Koncepcie automatizace řídících středisek na dálkových otopných soustavách je příspěvkem k optimalizaci provozování těchto systémů při zásobování teplem) — *Fitze P., Kranich R.*, 368—372.
- Das Leistungsverhalten einer Wärmeübertragerstation Typ WÜST D/WW (Výkonové poměry ve výměníkových stanicích daného typu) — *Bode W., Herntrich F.*, 372—374.
- Die direkte Regelung der Raumtemperatur — eine entscheidende Massnahme zur Sicherung der rationellen Energieanwendung im Abnehmerbereich der Fernwärme-Versorgung (Přímé řízení vnitřní teploty je rozhodujícím prostředkem k zajištění racionální spotřeby energie u odběratelů na dálkových teplovodních sítích) — *Hänsel J., Haziak S.*, 375—378.
- Anwendungsmöglichkeiten und Probleme der Zonen- und Thermostat-Regelung zur Einhaltung der Raumlufttemperatur (Možnosti použití a problémy pásmové a termostatické regulace při udržování teploty vzduchu uvnitř budovy) — *Meyer J.*, 378—381.
- Zur Problematik der Durchlüftung und der Lüftungsheizlast von vielgeschossigen Gebäuden und Hochhäusern (K problematice provětrávání a tepelné zátěže při větrání u mnohaposchodových budov a výškových domů) — *Richter W.*, 381—384.
- ### Staub Reinhaltung der Luft 39 (1979), č. 10
- Modellrechnungen über den Einfluss des Windes auf die Einsaugungskoeffizienten von Staubteilchen für zwei verschiedene Probenahmeköpfe (Modelové výpočty vlivu větru na součinitele nasávání prachových částic pro dvě rozdílné hlavice k odběru vzorků) — *Zebel G.*, 349—356.
- Untersuchungen zur Auslegung von Nassabscheidern (Šetření ke stanovení rozměru mokrých odlučovačů) — *Schuch G., Löffler F.*, 357—362.
- Analyse der hochsiedenden Emissionsanteile von Schwelungen und Bränden bei der Gewinnung von Braunkohle (Analyza vysokovroucích podílů emise z nízkotepelné karbonizace uhlí a požárů při těžbě hnědého uhlí) — *Kusý V., Hrubý V.*, 363—367.
- Filternde Abscheider für Kohlekraftwerke, Teil II. Einsatz von Schlauchfilteranlagen bei der Schwefeldioxidentfernung (Filtrační odlučovače pro elektrárny na uhlí. Dil II. Použití hadicových filtračních zařízení při odstraňování kysličníku sířičitého) — *Cleve U.*, 367—373.
- Zur Ermittlung der I₂-Kenngroßesse nach TA Luft 1974 am Beispiel von Fluorwasserstoff-Immissionen (Ke zjištování charakteristické hodnoty I₂ podle technických pokynů „TA Luft 1974“ na příkladu imisí fluorovodíku) — *Kettner H.*, 373—374.
- Phänomene der Fluoranreicherungen und F⁺-Bewegungen in Pflanzen, besonders an extremen Standorten (Jevy obohacování fluóru a pohyby F⁺ v rostlinách, především na extrémních místech) — *Koeller G. K.*, 375 až 378.
- Messebericht ACHEMA '79 (Zpráva z výstavy ACHEMA '79 — Přístroje a zařízení na udržování čistoty ovzduší) — *Grefen K., Jüstel K.*, 379—386.
- Identifizierung und krebserzeugende Wirkung von faserförmigem Aktinolith aus einem Steinbruch (Identifikace a karcinogenní účinek vláknitého aktinolitu z lomu) — *Spurný K., Pott F., Huth F., Weiss G., Opiela H.*, 386 až 389.
- Zur Polarität Fein/Grobstaub bei der Beurteilung partikelförmiger Verunreinigungen der Außenluft (K polaritě jemného a hrubého prachu při hodnocení znečištění vnějšího vzduchu tuhými příměsmi) — *Köhler A.*, 389—392.
- ### Staub Reinhaltung der Luft 39 (1979), č. 11
- Grundlagen der biologischen Abluftreinigung, Teil V. Abgasreinigung durch Mikroorganismen mit Hilfe von Biofiltern (Základy biologického čištění odpadního vzduchu. Dil V. Odstraňování mikroorganismů z odpadních plynů za použití biofiltrů) — *Gust M., Grochowski H., Schirz S.*, 397—402.
- Kohlenstaubbrenner mit niedriger NO_x Emission (Hořák na uhlíkový prášek s malou emisí NO_x) — *Michelfelder S., Leikert K.*, 403—404.
- Zur Auswertung von Immissionsmessungen — Ermittlung von Immissionskenngrößen (K vyhodnocování měření imisí — zjištování charakteristik imisí) — *Frohne J. Ch., Reis J.*, 405—408.
- Beurteilung der relativen Pflanzenschädlichkeit organischer Luftverunreinigungen im LIS-Kurzzeittest (Posouzení relativní rostlinné škodlivosti organických atmosférických znečištění krátkodobou zkouškou) — *Haut H., Prinz B.*, 408—414.
- Air Pollution and Human Mortality (Znečištění atmosféry a úmrtnost) — *Lave L. B., Seskin E. P.*, 414—416.

— Asbestemissionen aus Asbestzement und Fussbodenbelägen (Asbestové emise z asbesto-cementu a podlahových vrstev) — *Lohrer W., Heide H., König R.*, 417—422.

— Zur Emission von Asbestfasern aus Asbestzementplatten (Emise asbestových vláken z asbestocementových desek) — *Spurný K., Weiss G., Opiela H.*, 422—427.

— The actual air pollution situation in Mexico City (Současný stav atmosférického znečištění v Mexico City) — *Bravo H., Magaña R.*, 427—428.

— Erste Fachtagung über diffuse Quellen am 30. und 31. Mai 1979 in Nürnberg (První odborné zasedání o difúzních zdrojích, 30. a 31. května 1979 v Norimberku) — *Reinisch D.*, 428—432.

Svetotehnika 48 (1979), č. 11

— Opredelenje slepjaščega dejstvia osvetiteljnih ustanovok v proizvodstvennykh pomeščenijach (Určení oslepjujících účinků oslnění u osvětlovacích zařízení ve výrobních prostorách) — *Krol C. I., Mamsurova Je. J.*, 1—6.

— Ocenka slepjaščega dejstvia osvetiteljnih ustanovok obščestvennykh zdanij po diskomfortu (Hodnocení oslepjujících účinků oslnění u osvětlovacích soustav jako měřítka diskomfortu ve společenských objektech) — *Perova N. S., Undasynov G. N., Fedjukina G. V.*, 6—8.

— Uproščennaja rasčetnaja proverka jestestvennogo osveščenija proizvodstvennykh pomeščenij (Zjednodušená výpočtová kontrola denního osvětlení ve výrobních prostorách) — *Kirejev N. N.*, 9—11.

— O klassifikaci i terminologii svetovych priborov (Klasifikace a terminologie osvětlovacich zařízení) — *Ajzenberg J. B.*, 14—16.

— Parametry mechanizirovannogo instrumenta dlja očistki stekol (Parametry mechanického zařízení na čištění skel) — *Jerivanec I. N.*, 18—19.

— Programma avtomatizirovannogo projektirovaniya osveščenija otkrytych sportivnykh sooruzjenij (Program automatizovaného projektování osvětlení nezastřešených sportovních zařízení) — *Mitin A. I.*, 20.

— O važnych zadačach svetotehničeskogo obrazovanija (Závažné úkoly vzdělávání ve světelné technice) — 20—21.

— O neobchodomosti energetičeskoj ocenki dejstvia izlučenija na rasstanjanija (Nutnost energetického hodnocení účinků záření na rostliny) — *Kločkova M. P., Moškov B. S.*, 21—22.

— Ocenka fotosinteznoj effektivnosti izlučenija i razrabotka vysokoekonomičnykh istočnikov dlja oblučenija rastenij (Hodnocení fotosyntetické efektivnosti záření a vývoj vysokoekonomických zdrojů záření pro rostlinky) — *Georgijev G. D.*, 22—24.

— Ob osnovnykh principach svetografičeskogo rešenija Leningrada (Základní principy řešení světelné grafiky v L.) — *Sedov Je. M.*, 25.

Svetotehnika 48 (1979), č. 12

— Metody ocenki kačestva cvetoperedači istočnikov sveta (Metody hodnocení kvality barevného podání světelných zdrojů) — *Ioffe R. S.*, 5—8.

Vodosnabženie i sanitarnaja technika (1979), č. 5

— Opredelenie raschoda vody v dejstvujujčich truboprovodach s povyšennoj šerchovatost'ju vnutrennej poverchnosti (Stanovení průtoku vody v potrubích se zvýšenou drsností vnitřního povrchu) — *Šepelev F. A., Arutjunjan K. G.*, 6—7.

— Experimental'noe opredelenie pogrešnosti izmerenija raschoda židkosti po skorosti v odnoj točke sečenija truby (Experimentální určení chyby měření průtoku tekutiny podle rychlosti v jednom bodě průřezu potrubí) — *Lastochkin A. A., Lobačev O. V.*, 7—8.

— Vichrevoj apparat dlja teplovlažnostnoj obrabotki i obespylivaniya vozducha (Vírové zařízení pro tepelnou úpravu a odprašování vzduchu) — *Drozdov V. F., Makrušin V. I.*, 10—11.

— Metodika rasčeta aktivirovannyh otsosov (Metodika výpočtu aktivovaných odsavačů) — *Posochin V. N., Brojda V. A.*, 12—13.

— Gidrodinamika suščestvujujčich čugunnych kotlov (Hydrodynamika litinových kotlů) — *Aver'janov V. K., Čitčjan S. A., Boršov D. Ja.*, 14—16.

— Avtomatizacija kotel'noj s kotljami TVG-8 (Automatizace kotelny s kotly typu TVG-8) — *Vdovcov R. A., Jakimov V. Ja., Mette N. I.*, 18—20.

— Issledovanie novogo reguliruemogo elevatornogo uza (Výzkum nového regulačního elevátorového uzlu) — *Cistovič S. A., Dračnev V. G., Kyjov T. A. A.*, 20—22.

— Komfortnyj dinamičeskij mikroklimat v pomeščenijach (Komfortní dynamické mikroklima místnosti) — *Chomuteckij Ju. N., Kuksinskaja T. V.*, 22—24.

— Optyk ekspluataciji fil'trov, zagržených droblenoj goreloj porodoj na Berdskom vodoprovode (Zkušenosti s provozem filtrů a náplní z drcené přehořelé horniny na Berdském vodovodu) — *Samsonov I. N., Fominyh A. M.*, 25—26.

— Osobennosti otopeni'no-ventilacionnoj techniky v SSSR (Zvláštnosti vytápěcích a větracích technik v USA) — *Cistovič S. A., Verstov V. V., Vasili'kov O. S., Perel' R. E.*, 27—29.

Vodosnabženie i sanitarnaja technika (1979), č. 6

— Sel'skochozjajstvennoe značenie utilizacii osadkov stočnych vod kak udobrenija (Hospodářský význam využití kalů odpadních vod jako hnojiva) — *Korenova T. S., Gol'dfarb L. L., Turovskij I. S.*, 4—6.

— Effektivnost' vosstanovlenija proizvoditel'

nosti skvažin ob'ektov sel'skochozjajstvennogo vodosnabženija (Efektivita obnovení vrtů pro zásobování vodou zemědělských objektů) — *Grebennikov V. T., Chlistunov V. V.*, 7—9.

— Sel'skochozjajstvennoe ispol'zovanie i obezvrezivanie stočnych vod v uslovijach severozapada RSFSR (Zemědělský využití a zneškodňování odpadních vod na severozápadě RSFSR) — *Sevel'ev La. Z.*, 9—11.

— Sniženie raschoda tepla na ventilaciju pomešenij krupnogo rogatogo skota (Snižení spotreby tepla pro vytápění budov pro chov skotu) — *Rajak M. B., Šidt V. A.*, 11—13.

— Dinamika teplovogo režima nasypi kartofela pri aktivnoj ventilaciji (Dynamika teplotního režimu navázky brambor při aktivním provětrávání) — *Bodrov V. I.*, 13 až 15.

— Utilizacija tepla vytjažnogo vozducha v teploozběrnících s promězutočnoj cirkulacijí antifriза (Využití tepla odpadního vzduchu v tepelných výměnicích s cirkulující nemrzoucí směsí) — *Kokorin O. Ja., Kašeov V. A., Nosal' A. V.*, 15—17.

— Vybor racionál'nogo metoda ustrojstva zaglublennych vodozaborov i nasosnyh stancij (Výběr racionální metody zřizování hloubených zařízení na jímání vody a čerpacích stanic) — *Bejeckij B. F.*, 20—22.

— Razrabotka i promyšlenyye ispytaniya gradirni (Konstrukce a průmyslové zkoušky injektorové chladicí věže) — *Basargin B. N., Gorlovskij D. M., Kučerjavij V. I., Želudev V. Sergejev Ju. A.*, 22—25.

— Primenenie plastmassovych trub dlja sistem otoplenija (Použití potrubí z plastických hmot pro vytápěcí systémy) — *Alesker Ja. B., Gol'cman Š. L.*, 25—27.

Vodosnabženie i sanitarnaja technika (1979), č. 7

— Opresnenie vysokomineralizirovannych prirodnych vod v promyšlennych i otopitel'nyh kotel'nyh (Deminerálizace minerálních vod v průmyslových kotelnách a kotelnách pro vytápění) — *Koškoš V. I., Gevjandov I. A.*, 3—4.

— Avtomatizacija nasosnoj stancii protivopozarnogo vodosnabženija (Automatizace čerpací stanice požární vodní sítě) — *Volovik A. Ja.*, 4—5.

— Sovremennoe sostojanie osnovnyh vodoochrannych meroprijatij na predprijatiyah cellulozno-bumažnoj promyšlennosti (Současný stav opatření k ochraně vody v průmyslu celulózy a papíru) — *Šraga M. Ch., Zaporožec L. D.*, 6—7.

— Peredvižnaya ustanovka s plavajuščim fil'trujuščim sloem dlja grubokoj očistki vody (Mobilní zařízení s plovoucí filtrovou vrstvou, určené pro intenzivní čištění vody) — *Žurba M. G.*, 7—9.

— Izmerenie skorostej potrebljenija kisloroda v sisteme aktivnyj il — stočnaja voda koževennogo proizvodstva (Měření rychlosti spotreby kyslíku v systému aktivní jíl—odpadní

voda ze zpracování kůže) — *Tkáč E., Chrmek E., Kupec J., Mládek M.*, 10—12.

— Grafičeskij metod opredelenija plotnosti vlažnogo vozducha (Grafická metoda určení hustoty vlhkého vzduchu) — *Barannikov N. M.* 13—14.

— Povyšenie effektivnosti ispol'zovaniya vodogrevatelej gorjačego vodosnabženija v CTP (Zvýšení účinnosti použití ohříváčů vody v zásobování teplou vodou z dálkových tepláren) — *Livčák V. I.*, 14—16.

— Vybor rasčetnyh parametrov dlja vozduchogrevatelej sistem ventilaciji i kondicionirovaniya vozducha (Volba výpočetních parametrů pro ohříváče vzduchu větracích a klimatizačních systémů) — *Rozkin M. Ja., Ruslanov G. V.*, 17—18.

— Racional'naja schema teplofikacii promyšlennych predprijatij (Racionální schéma teplofikace průmyslových podniků) — *Dzerškovič V. A.*, 18—20.

— Avtomatizacija elevatoriych uzlov sistem otoplenija (Automatizace elevátorových uzlů vytápěcích systémů) — *Grislis V. Ja., Čakš S. A., Stujič I. A.*, 22—23.

— Koefficienty obespečennosti dlja rasčeta sistem kondicionirovaniya vozducha vyčislitel'nyh centrov (Zabezpečovací koeficienty pro výpočet klimatizačních systémů výpočetních středisek) — *Ajrapaetjan R. S. Melikjan Z. A.*, 24—25.

— Ocenka effektivnosti sistem ventilaci mašin dlja proizvodstva chimičeskikh volokon (Hodnocení účinnosti větracích systémů pro stroje na výrobu chemických vláken) — *Gasjuk L. A., Nonezov R. G.*, 26—28.

Vodosnabženie i sanitarnaja technika (1979), č. 8

— Opredelenie uslovij vynosa vozducha iz truboprovodov potokom vody (Stanovení podmínek úniku vzduchu z potrubí proudem vody) — *Dikarevskij V. S.*, 4—7.

— Gigieničeskaja effektivnost' obezzaraživanija bytovyh stočnych vod (Hygienická účinnost dezinfekce odpadních vod z domácností) — *Čerkinskij S. N., Kulikov A. V., Jakovleva G. P., Petranovskaja M. R.*, 7—8.

— Soglasovanie proektnoj dokumentacii s organami po regulirovaniyu ispol'zovaniya i ochrane vod (Koordinace projektové dokumentace s orgány využití a ochrany vod) — *Beličenko Ju. P., Ageev O. V., Ladyženskij V. N., Lučin Ju. P.*, 9—10.

— Zaščita okružujuščej sredy ot zagrjaznenij (Ochrana životního prostředí před znečištěním) — *Koptev D. V., Lestrovoy A. P.*, 10—12.

— Metodika rasčeta kol'cevych otsosov (Metodika výpočtu kohlového odsávání) — *Kunicova V. I.*, 12—14.

— Povyšenie nadežnosti sekcij čugunných kotlov (Zvýšení spolehlivosti částí litinových kotlů) — *Potapov E. S., Borščov D. Ja., Dymkov V. E.*, 15—16.

— Ekonomija tepla pri primenenii upravljemych processov adiabatičeskogo uvlážnenija vozducha (Úspory tepla při použití řídících

procesu adiabatického zvlhčování vzduchu) — *Zusmanovič L. M., Bruk M. I.*, 18—21.

— O primenennii šnekovych nasosov (Použití šnekových čerpadel) — *Čumokin N. N.*, 21—22.

— O vynose vlagi iz malogabaritnoj ventiljatornoj gradirni (Únik vlhkosti z ventilátorové chladicí věže s malými rozměry) — *Mandrykin G. P.*, 23—25.

Vodosnabženie i sanitarnaja technika (1979), č. 9

— Pribory dlja opredelenija elektroforetickyj podvijnosti častic v dispersnyx sistemach (Přístroje k určení elektroforéznej pohyblivosti častic v disperzných systémach) — *Lobačev P. V., Krivov M. N.*, 4—6.

— Puti povyšenija effektivnosti primenjenija čugunných železobetonnych napornych trub (Cesty zvýšení účinnosti použití litinových a železobetonových tlakových trubek) — *Gotovcev V. I., Perešivkin A. K., Aleksandrov A. A.*, 6—8.

— Osnovnye napravlenija utilizacii otchodov pri chimičeskoj obrabotke metalloprokata (Základní směry využití odpadů při chemickém zpracování kovového válcovaného materiálu) — *Nesterenko L. V., Bardina T. V., Frisman I. A., Seržantov V. A.*, 9—11.

— Razrabortka i vnedrenie ASU dlja montażnych organizacij ventilacjonogo profilja (Vznik a zavedení ASR pro montáže větracích zařízení) — *Mazus I. A.*, 11—13.

— Ekonomičeskaja effektivnost' specializacii zavodov montażnych zagotovok (Ekonomická účinnost specializace montażních závodů) — *Alejuskij L. Ju., Savina A. V., Boguslavskij L. D.*, 13—14.

— Novoe oborudovanie dlja izgotovlenija i montaža ventilacjonnych vozduchovodov (Nové přípravky pro výrobu a montáž vzduchovodů) — *Akimov A. A., Bljumenkranc B. A., Černov B. S.*, 15—17.

— Peredvižnye posty — sredstvo povyšenija ekonomičeskoj effektivnosti montażnych rabot (Mobilní pracovní plošiny — prostředek ke zvýšení ekonomickej účinnosti montażních prací) — *Derkač I. A.*, 17—19.

— Tablicy dlja uproščennych rasčetov sekcionnyx uzlov sistem vodosnabženia (Tabulky pro zpřesněné výpočty sekčních uzlů systémů zásobování vodou) — *Čistjakov N. N., Pokrovskaja I. B., Oleneva T. I.*, 23—24.

— Primernenie akkumulatorov tepla v sistemach gorjačego vodosnabženia (Použití akumulátorů tepla v systémech zásobování teplou vodou) — *Šopenskij L. A., Gejnc V. G., Obel'čenko I. O.*, 24—26.

— Proekt i effektivnost' montaža (Projekt a efektivnost montáže) — *Ufimcev G. N.*, 26—30.

Vodosnabženie i sanitarnaja technika (1979), č. 10

— Opredelenie rasčetnyx veličin vlažnosti osadka vodoprovodnych očistnych sooruzenij

pri ego obezvoživanii (Určení výpočetních hodnot vlhkosti kalu z čistíren pitné vody během jeho dehydratace) — *Lysov V. A., Michajlov V. A., Kurgaev E. F., Nečaeva L. I.*, 6—7.

— Primernenie stancij fil'tracii s vysokimi skorostjami dlja očistki prirodných i stočných vod v SSSR i z rubežom (Použití vysokorychlostních filtračních stanic pro přírodní a odpadní vody v SSSR a v zahraničí) — *Kiseleva E. K.*, 8—10.

— Esče raz o primernenii kontaktnych osvetilej dlja očistki vody (Ještě jednou o použití koagulačních filtrů pro čištění vody) — *Mičačenko A. G.*, 11—12.

— Očistka podzemnoj vody ot železa i mangana (Čištění podzemní vody od železa a manganu) — *Ass G. Ju.*, 13—14.

— Optimizacija sistem kondicionirovaniya vozducha (Optimalizace klimatizačních systémů) — *Teterevnikov V. N., Pavluchin L. V.*, 15—17.

— Sistemy gorjačego vodosnabženija s kontaktno-poverchnostnymi kotljami KPGV-1 (Systémy zásobování horkou vodou, vybavené kotli KPGV-1 s kontaktním povrchem) — *Semenjuk L. G.*, 19—20.

— Aerodinamickie issledovanija novogo ventilátora — separatoria (Aerodynamické výzkumy nového ventilátorového separátoru) — *Artykov N. A.*, 21—22.

— Vizualizacija vozdušnyx potokov (Vizualizace vzdušných proudů) — *Ščadrov V. S., Konyšev I. I., Ščadrova S. N., Česnokov A. G.*, 23—24.

— Analitičeskij kontrol' stočnych vod zavoda sintetickogo spirta v processe mechanickoj i biologičeskoj očistok (Analytická kontrola odpadních vod ze závodu na výrobu syntetického lihu v procesu mechanického a biologického čištění) — *Kostenko L. I., Puzanov V. N.*, 25—28.

— Ispolzovanie vodoroda v otoplenii (Využití vodíku ve vytápění) — *Basin G. L.*, 28—30.

Vodosnabženie i sanitarnaja technika (1979), č. 11

— Optimalnye predely rezervirovaniya nasosnogo oborudovaniya (Optimální meze rezervování čerpacího zařízení) — *Itin Ju. A.*, 4—6.

— Effektivnost' biochimičeskogo okislenija prízvodstvennyx stočnych vod pri raznyx temperaturnyx režimach i periodach aeracii (Účinnost biochemického oxysličení průmyslových odpadních vod při různých tepelných režimech a době aerace) — *Škitute I. A., Kuz'mina L. F., Pimenova L. I., Bolochovec V. G.*, 6—8.

— Opredelenie stroncija-90 v rečnoj i pitevoj vode (Určení stroncia 90 v říční a pitné vodě) — *Autonova O. Ja., Bačurin A. V., Krotkova B. K., Fedorovskij Ju. P., Christianova L. A.*, 9—10.

— Klimatičeskij pasport goroda i ego primernenie v rasčetach sistem kondicionirovaniya vozducha i ventilacij (Klimatické údaje o městě

- a jejich použití při výpočtu klimatizačních a větracích systémů) — *Sotnikov A. G.*, 10—12.
 — Programují otpusk tepla na abonentských vvodach (Programový výdej tepla na účastnických přípojkách) — *Sipovskikh I. A., Safonov A. P.*, 12—14.
 — Metodiku optimizaci urovna teplozaščity zdanij neobchdimou utočnit (Metodiku optimizace tepelné ochrany budov je třeba zpřesnit) — *Boguslavskij L. D., Bystrov A. S., Nargizjan E. A.*, 15—16.
 — V treste Latsantechmontaž (V kombináte Latsantechmontaž) — *Kuznecov M. I.*, 18.
 — Posledovatelnaja ustanovka chozajstvennych nasosov v CTP i ich avtomatizacija (Postupná montáž čerpadel v teplárnách a jehich automatizace) — *Čistjakov N. N., Grudzinskij M. M.*, 19—21.
 — V treste Centrospecstroj (V kombináte Centrospecstroj) — 22—23.
 — Issledovanie termosifonnogo utilizatora tepla vytjažnogo vozducha (Výzkum termosifonového výměníku tepla pro odváděný vzduch) — *Kreslin' A. Ja., Fert A. R., Čebovskaja N. I.*, 23—24.
 — Ustanovki dlja nepreryvnogo ionnogo obmena (Zařízení pro stálou výměnu iontů) — *Vologkov F. P.*, 24—26.
 — Zilye zdaniya v arktičeskikh rajonach (Obytné budovy v arktické oblasti) — *Smuchnin P. N.*, 26—27.

❶ Míšené světlo

Míšené světlo dodávaly původně jen směsové výbojky (nyní nejčastěji využívané při pěstování rostlin a v zemědělské výrobě, méně často v běžném osvětlování). Ostatní světelné zdroje, izolovaně používané, nikdy vlastní směsových výbojek nedosahují.

Přednosti míšeného světla je výhodné využití předností jak teplotních, tak výbojových zdrojů: spektrální složení získaného světla se velmi podobá spektrálnímu složení přímého slunečního světla (záření) — lze ho jím věrně napodobit nebo se kvalitativně přiblížit. Tak mohou být příznivě ovlivňovány zrakové podmínky v osvětlovaných prostorách (barevnost) a snížovány meze únavy.

Náhradou za směsové výbojky jsou svítidla západoněmecké firmy Waldman (Industrie Anzeiger 1978/86) — využívají však dvou světelných zdrojů v jediném svítidle (stínidlu, reflektoru): kruhové zářivky 22 W a žárovky 100 W. Světelné toky obou zdrojů se smísí ve svítidle; jedná se o svítidla pro osvětlení místní pracovní. Na pracovní plochu dopadá kompaktní směs, složená ze dvou světel, jednotného charakteru. Složení směsi lze ovlivnit změnou parametrů jednotlivých složek.

Svítidlo se dvěma zdroji zajišťuje světelný tok určitého (a určeného) spektrálního složení — vhodného pro specializované pracovní nebo jiné činnosti (např. rozeznávání barev aj.). Toto svítidlo je stejně specializované jako svítidlo s nástavcem s vláknovou optikou a směrovaným světelným tokem na místo pozorování (má i analogické využití). Svítidlo je důkazem pro tvrzení, že pro různé světelné podmínky a požadavky zrakové práce lze vytvořit jakékoli svítidlo — i pro to, že žádné použití není stejně a možnosti konstrukce nevyčerpateľné.

(LCh)

❷ Náhradní díly (svítidel)

Inovace výrobního programu doprovází pravidelně ten negativní jev, že pro výrobky (inovované) nejsou náhradní díly, ač jsou dosud schopné sloužit nebo — a to je častým jevem — je nechceme odložit z citových důvodů.

Také svítidla prodělávají různé vývojové fáze a každá zanechá po sobě výrobky, které slouží a — stárnou: přitom se ledacos poškodí i zníčí. Potom obvykle nezbývá, než se s výrobkem rozloučit a nahradit ho novým (málokdy se podaří úspěšně ho zadapovat). Ale takové řešení není vždy to nejštastnější: nejčastěji dochází (vedle citového rozkladu) k narušení stylu, ve kterém byl interiér vyveden a zaveden. Jen málokdy pomohou starožitnosti nebo obchod použitým zbožím — a tak vzniká rozladění a dokonce i určité škody (hmotné).

Verein der Glasindustrie v Mnichově (podle Schöner Wohnen 1979/7) zprostředkovává u českých firem, specializovaných na výrobu dílů k nahražování cenných předmětů ze skla výrobu jednotlivých skleněných předmětů podle dodané předlohy, kresby nebo fotografie. Služba je myšlena pro ty zájemce o nahrazení chybějících kusů, které výrobce již nedoplňuje (a může jít o každý skleněný výrobek — kusy z nápojových souprav a ze starých sbírek, výrobky pro osvětlování: stínidla nebo jiné části lustrů apod.)

Taková služba není marná (tím méně zbytečná): zachraňuje hodnoty, někdy celospolečenské, někdy úzce individuální — anebo pouhou spokojenosť či pohodu v bytě. To všechno stojí za to.

(LCh)

● Světelné kabely — světlovody

Využívání skleněných vláken k přenosu světla na určitou (menší) vzdálenost a zavádění tohoto světla na místo potřeby (ohýbáním kabelu) jsou — jako výsledky aplikace poznatků vláknové optiky — známé v celém posledním desetiletí (např. přisvětlování operačního pole — Zeiss-Ikon anebo stolní pracovní svítidla se světlovodem k místu zrakové práce aj.).

Japonským výzkumníkům NTTC (podle Silikattechniki NDR 1979/4) se nyní zdářilo přenést světelné signály pulsním kódem modulované na vzdálenost 53,3 km bez meziresilovačů. Tento jedinečný výkon je na začátku ohlášeného vývoje: s vlnami 1,4 a 1,7 · 10³ nm dlouhými budou přenášet signály na velké vzdálenosti, přičemž zesilovače budou rozmištěny ve vzdálenostech až 70 km. Vlákna, která k přenosu budou použita, nemají index lomu přesně odstupňovaný, ale kontinuálně se mění. Takto se ve vláknech získávají nové cesty průchodu světla (toku) téměř bez překážek.

Informace postupuje kabelem rychlostí 32 · 10⁶ bitů/s. Jako světelného zdroje se používá laseru z indium-galium-arsenidfosfidu a indium-fosfidu, jako přijímače germaniové lavinové fotodiody. Přenos se děje bez šumu, brumu, poruch a oteplení.

Světelná technika využívá vláknovou optiku zatím spoře, ale účelně (viz uvedené příklady použití a navíc ještě světlo jako materiál umění) a pro další využití chystá i nové oblasti.

(LCh)

● Cena pro vynálezce nových slunečních kolktorů

Velká cena výstavy vynálezů v NSR za r. 1978 byla udělena francouzskému inženýru P. Baudemu. Jeho vynález nové konstrukce slunečních článků umožňuje snížení nákladů na elektrickou energii získanou ze slunečního světla nebo jiného světelného zdroje údajně na cca 10 %.

CCI 2/79

(Ku)

● Ventilátory do potrubí

Firma KANALFLÄKT AB. patří mezi nejdůležitější výrobce ventilátorů ve Švédsku. Byla založena teprve v r. 1975 a v krátké době se velmi rozšířila. Sesterské podniky a zařízení má v ostatních skandinávských zemích, NSR, Švýcarsku a Rakousku. Výrobní program firmy se soustředuje na kompaktní radiální ventilátory pro vestavbu do potrubí, at již kruhového nebo čtyřhranného, čímž se šetří místo. Řada ventilátorů pokrývá rozsah objemových průtoků od 0,03 až do 2,5 m³/s a maximální celkový tlak je 850 Pa. Poháněcí elektromotory jsou regulovatelné v rozsahu od 0 do 100 % otáček.

kkt 1/79

(Ku)

Ztv
4

Zdravotní technika a vzduchotechnika. Ročník 23, číslo 4, 1980. Vydává Česká vědeckotechnická společnost, komitét pro techniku prostředí, v Akademii, nakladatelství Československé akademie věd, Vodičkova 40, 112 29 Praha 1. Adresa redakce: Dvorecká 3, 147 00 Praha 4. — Tiskne Tisk, knižní výroba, n. p., 656 01 Brno, závod 1, — Vychází šestkrát ročně. Objednávky a předplatné přijímá PNS, admin. odbor, tisku, Jindřišská 14, 125 05 Praha 1. Lze také objednat u každého poštovního úřadu nebo doručovatele. Cena jednoho čísla Kčs 8,—, roční předplatné 47,—. (Tyto ceny jsou platné pouze pro Československo.)
Sole agents for all western countries with the exception of the German Federal Republic and West Berlin JOHN BENJAMINS B. V., Amsteldijk 44, Amsterdam (Z.), Holland. Orders from the G.F.R. and West Berlin should be sent to Kubon & Sanger, P O. Box 68, 8000 München 34 or to any other subscription agency in the G.F.R.

Annual subscription: Vol. 23, 1980 (6 issues) Dutch Gld 70,—
Toto číslo vyšlo v červenci 1980.

© Academia, Praha 1980.